

CLASIFICADO

ELABORACIÓN DE ESTUDIOS BÁSICOS DE ZONIFICACIÓN DE AMENAZA POR MOVIMIENTOS EN MASA, A ESCALA 1:5.000 ACORDE CON LOS REQUISITOS DEL DECRETO 1077 DE 2015, PARA 8 NODOS DE EQUIPAMIENTOS RURALES DE LA LOCALIDAD DE SUMAPAZ

**Instituto Distrital De Gestión De Riesgos Y Cambio Climático
IDIGER**
Diagonal 47 No. 77 B – 09 Interior 11
PBX. (57 1) 4292800
idiger@idiger.gov.co
Bogotá D.C. - Colombia.

Representante de la consultoría: Ing. Mauricio Hernán Camargo
Supervisor: Torres Ing. S.A.S.

ESTUDIO BÁSICO POR MOVIMIENTOS EN MASA DEL NODO DE EQUIPAMIENTOS VEGAS

GEODINÁMICA INGENIERÍA S.A



CONTRATO 278 DE 2022

ORIGINAL INFORME FINAL

MAYO DE 2023

Nota Especial: “De acuerdo con el Artículo 20 de la Ley 23 de 1982, modificado por el Artículo 28 de la Ley 1450 de 2011, los Derechos de Autor pertenecen al IDIGER. La solicitud para reproducir este documento parcial o totalmente se debe dirigir por escrito al director del IDIGER.

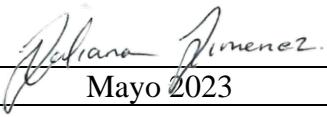
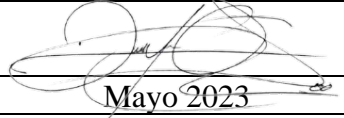

HOJA DE CONTROL


ENTIDAD	RESPONSABLE	EJEMPLARES
IDIGER	SUPERVISOR	
INTERVENTORÍA	DIRECTOR	

ÍNDICE DE MODIFICACIONES

VERSIÓN	SECCIÓN MODIFICADA	FECHA DE MODIFICACIÓN	OBSERVACIONES
Entrega 1	Entrega 1	30 diciembre 2022	Se realiza entrega
Entrega 2	Entrega 2	27 enero 2023	Se realiza entrega
Entrega 3 - 1	Entrega (3 nodos)	6 de marzo 2023	Se realiza entrega de los 3 nodos acordados.
Entrega 3 - 2	Entrega (5 nodos)	5 de abril 2023	Se realiza entrega de los 5 nodos faltantes.
Entrega 4	Entrega 4 (Ensayos de laboratorio, modelo geológico geotécnico)	18 de abril 2023	Se realiza entrega
Entrega 5	Entrega 5 (Entrega final)	15 de mayo 2023	Se realiza entrega
Entrega Final	Entrega Final	27 de mayo 2023	Se realiza entrega

ESTADO DE REVISIÓN Y APROBACIÓN DE CONSULTORÍA

Elaborado por (Ingeniera de apoyo):	Ing. Emma Juliana Jiménez Lombana.
Firma:	
Fecha:	Mayo 2023
Elaborado por (Especialista en Geotecnia):	Ing. Diego Mauricio Camargo Acosta.
Firma:	
Fecha:	Mayo 2023
Aprobado por (Director de Consultoría):	Ing. Mauricio Hernán Camargo Chávez
Firma:	

Fecha:	Mayo 2023
Elaborado por (Especialista en Geología)	Ing. Luis Guillermo Córdoba
Firma:	
Fecha:	Mayo 2023

ESTADO DE REVISIÓN Y APROBACIÓN DE INTERVENTORÍA

Aprobado por (Ingeniero De Apoyo)	Ing. María Paula Aparicio
Firma:	
Fecha:	Mayo 2023
Aprobado por (Especialista en Geotecnia):	Ing. Julio Cesar Torres Camargo
Firma:	
Fecha:	Mayo 2023
Director Interventoría	José Rubén Torres Camargo
Firma:	
Fecha:	Mayo 2023
Aprobado por (Especialista en Geología):	Ing. Leily Candela
Firma:	
Fecha:	Mayo 2023

TABLA DE CONTENIDO

1	INTRODUCCIÓN	13
2	DESCRIPCIÓN DEL ÁREA DE ESTUDIO Y POLÍGONO DE ANÁLISIS.....	14
3	VERIFICACIÓN DEL POLIGONO	15
4	METODOLOGÍA PARA ZONIFICACIÓN GEOTÉCNICA.....	16
4.1	METODOLOGIA	16
5	RECOPIACIÓN Y ANÁLISIS DE INFORMACIÓN SECUNDARIA	20
5.1	GENERALIDADES LOCALIDAD SUMAPAZ:.....	20
5.1.1	GEOMORFOLOGIA	20
5.2	CUENCA RIO SUMAPAZ:.....	23
5.2.1	Suelos:	24
5.2.2	Pendientes de la localidad Sumapaz, Cuenca Rio Sumapaz:	24
5.2.3	Clima:	25
5.3	DESCRIPCIÓN DE INFORMACIÓN NODO VEGAS:.....	25
5.3.1	Amenaza:	25
5.3.2	Pendientes Polígono las Vegas.....	26
5.3.3	Precipitaciones:.....	28
5.3.4	Hidrogeología.....	28
5.3.5	Estudios previos.....	30
5.3.6	Información Secundaria.....	31
6	GEOLOGÍA	36
6.1	GEOLOGÍA REGIONAL	36
6.1.1	ESTRATIGRAFÍA.....	36
6.1.2	UNIDADES GEOLOGICAS SUPERFICIALES	37
6.2	GEOLOGÍA ESTRUCTURAL	39
6.3	GEOLOGIA LOCAL	40
6.3.1	Roca Blanda (Rb)	40
6.3.2	Suelo residual arcilloso (Sra).....	42
7	GEOMORFOLOGÍA	43
7.1	ELEMENTOS DE ORIGEN GLACIAR	43
7.1.1	Ladera ondulada glaciario (Glo).....	43

7.2	ELEMENTOS GEOMORFOLOGICOS:.....	45
8	PROCESOS MORFODINAMICOS.....	46
9	SISMOLOGÍA	47
10	COBERTURA Y USOS DEL SUELO.....	48
10.1	COBERTURA DE LA TIERRA.	48
10.2	USO ACTUAL DEL SUELO:	54
10.3	RECOMENDACIÓN PARA COBERTURAS Y USOS FUTUROS DEL SUELO: 56	
11	HIDROLOGÍA Y EVALUACIÓN DEL DRENAJE SUPERFICIAL.....	58
11.1	INFORMACIÓN PLUVIOMÉTRICA.....	58
11.2	INFORMACIÓN CARTOGRÁFICA	59
11.3	ANÁLISIS PLUVIOMÉTRICO.....	59
11.4	PRECIPITACIONES TOTALES MENSUALES.	59
11.5	NÚMERO DE DÍAS DE PRECIPITACIÓN	60
11.6	PRECIPITACIÓN MÁXIMA EN 24 HORAS.	61
11.6.1	ESTIMACIÓN DE CURVAS IDF.	62
11.6.2	IDENTIFICACIÓN CUERPOS DE AGUA	66
11.7	OBRAS DE DRENAJE SUPERFICIAL Y SUB-SUPERFICIAL EXISTENTES: 68	
11.8	CAUDALES DE DISEÑO	76
11.9	EVALUACIÓN HIDRÁULICA	81
11.10	EVALUACIÓN DEL COEFICIENTE DE INFILTRACIÓN.....	83
11.11	BALANCE HÍDRICO	84
12	INVESTIGACIÓN GEOTÉCNICA	87
12.1	PROGRAMA DE EXPLORACIÓN:	87
12.1.1	ANTECEDENTES	87
12.2	DIAGNOSTICO DEL ÁREA DE ESTUDIO	88
12.3	IMPLEMENTACIÓN DE LA EXPLORACIÓN DEL SUBSUELO:	91
12.3.1	Perfiles de campo:	92
12.3.2	Resultados de los ensayos de penetración estándar (SPT)	96
12.4	ENSAYOS DE LABORATORIO	103

12.4.1	HUMEDAD NATURAL.....	103
12.4.2	LIMITES DE ATTERBERG	104
12.4.3	GRANULOMETRÍA	105
12.4.4	PESO UNITARIO:.....	106
12.4.5	GRAVEDAD ESPECÍFICA:	107
12.4.6	CORTE DIRECTO.....	108
12.4.7	CONSOLIDACIÓN RÁPIDA:	108
12.4.8	HIDROMETRÍAS:.....	109
12.5	ANÁLISIS ESTADÍSTICO DETALLADO DE PARÁMETROS GEOTÉCNICOS:.....	112
12.5.1	ÁNGULO DE FRICCIÓN Y COHESIÓN:	112
12.5.2	Ángulo de fricción (ϕ):.....	116
12.5.3	Cohesion (c'):.....	116
12.5.4	PESO UNITARIO:.....	117
12.6	MODELO GEOLÓGICO GEOTÉCNICO.	119
12.6.1	Roca Blanda (Rb)	119
12.6.2	Suelo residual arcilloso (Sra).....	119
12.7	NIVEL FREÁTICO.	122
12.7.1	NIVEL FREÁTICO REPORTADO EN CAMPO	122
12.7.2	ANÁLISIS DEL NIVEL FREÁTICO:	122
12.8	ANÁLISIS DE ESTABILIDAD	126
12.8.1	TALUD INFINITO	126
12.9	EVALUACIÓN Y ZONIFICACIÓN DE AMENAZA POR MOVIMIENTOS EN MASA:.....	130
12.9.1	EVALUACIÓN Y ZONIFICACIÓN DE AMENAZA	132
12.9.2	CONDICIÓN ACTUAL:	133
12.9.3	CONDICIÓN FUTURA:.....	134
12.10	ANÁLISIS DE ZONIFICACIÓN DE AMENAZA:	135
12.10.1	AMENAZA ACTUAL:	136
12.10.2	AMENAZA FUTURA:	137

12.11 DISTANCIA DE VIAJE:..... 137

13 CONCLUSIONES Y RECOMENDACIONES..... 139

14 BIBLIOGRAFÍA..... 143

15 ANEXOS..... 146

TABLA DE FIGURAS

Figura 1 Localización y área Nodo Vegas.....	14
Figura 2 Verificación del polígono.....	15
Figura 3. Zonificación básica de amenaza por movimiento en masa a escala 1:5000	16
Figura 4. Localización área Sumapaz.....	22
Figura 5. Ubicación del Nodo Vegas.....	23
Figura 6. Asociación del suelo Cuenca Rio Sumapaz.....	24
Figura 7. Pendientes de la localidad Sumpaz.	24
Figura 8. Clima de localidad.....	25
Figura 9. Amenaza del polígono Vegas. Escala Base cartográfica 1:5.000, escala de presentación de plano 1:1.000	26
Figura 10. Niveles de detalle.	27
Figura 11. Pendientes del polígono Vegas. Escala Base cartográfica 1:5.000, escala de presentación de plano 1:1.000	27
Figura 12. Precipitaciones del polígono Vegas. Escala Base cartográfica 1:5.000, escala de presentación de plano 1:1.000	28
Figura 13. Zonificación Hidrogeológica-Nodo Vegas	30
Figura 14. Consulta de Histórico de Eventos-Nodo Vegas	31
Figura 15. Programación y Proyectos secretaria Distrital del Hábitat	32
Figura 16. Prestación de Servicios Acueducto Las Vegas	33
Figura 17. Ubicación de la zona para la localización de nodos de equipamiento rurales Las Vegas.	34
Figura 18. Viviendas localizadas para el polígono las Vegas	35
Figura 19. Mapa geológico regional modificado de la plancha 265 Ingeominas,1999.....	37
Figura 20. Mapa de unidades geológicas de superficie, modificado de FOPAE-UNAL 2013.	38
Figura 21. Geología estructural Vegas, modificado de la plancha 265 Ingeominas,1999. ...	39
Figura 22 Unidades geológicas para ingeniería del polígono Las Vegas. Escala 1:5.000 ...	41
Figura 23. Características encontradas en el polígono Las Vegas.	42
Figura 24. Geomorfología del polígono Las Vegas. Escala 1:5.000.....	44
Figura 25. Proceso morfodinámico cerca al polígono Las Vegas.	46
Figura 26. Sismología del polígono Vegas. Escala Base cartográfica 1:5.000, escala de presentación de plano 1:1.000	47
Figura 27. Coberturas Nodo Vegas	52
Figura 28. Tipo de uso del suelo nodo Vegas.....	56
Figura 29. Localización Estaciones Nodo 1 - Vegas.....	58
Figura 30. Distribución Mensual de Precipitación Estación PM San Juan	60
Figura 31. Regiones en Colombia – Parámetros de Regresión	64
Figura 32. Curvas IDF Estación PM San Juan.	65

Figura 33. Descripción Red de Drenaje Nodo 1 - Vegas	67
Figura 34. Cuerpos de Agua Nodo 1 - Vegas.....	68
Figura 35. Alcantarillas existentes en el nodo las Vegas	69
Figura 36. Áreas de Drenaje Obras Existentes	77
Figura 37. Coeficientes de Escorrentía – V. T. Chow	79
Figura 38. Distribución Mensual de Precipitación Estación AG Pascas	86
Figura 39. Consulta de Histórico de Eventos-Nodo Vegas	87
Figura 40- Localización de perforación ejecutada	91
Figura 41. Muestras sondeo # 1	93
Figura 42. Muestra sondeo # 2	94
Figura 43. Muestra apique # 1	95
Figura 44. Muestra apique #2.....	95
Figura 45. Variación de la resistencia a la penetración N en golpes/pie del ensayo de SPT97	
Figura 46. Variación de resistencia al corte no drenado correlacionada a partir de valores de N del ensayo de SPT.....	98
Figura 47. Resultados Angulo de Fricción Vs profundidad S-1.....	100
Figura 48. Resultados Angulo de Fricción Vs profundidad S-1.....	101
Figura 49. Variación del porcentaje de recobro con la profundidad S-1.....	102
Figura 50. Variación del porcentaje de recobro con la profundidad S-2.....	102
Figura 51. % Humedad Vs Profundidad.....	104
Figura 52. % Carta de plasticidad de Casagrande	105
Figura 53. Distribución granulométrica Vs profundidad.....	106
Figura 54. Peso unitario Vs. Profundidad	107
Figura 55. % Gravedad específica Vs Profundidad.....	107
Figura 56. % Curva Hidrometría S2(M2).....	109
Figura 57. % Curva Hidrometría S2(M4).....	110
Figura 58. Tabla resumen de resultados	111
Figura 59 Unidades geológicas para ingeniería del polígono Las Vegas. Escala 1:5.000 .	120
Figura 60. Clasificación de los suelos	122
Figura 61. Valores de numero de curva para diferentes grupos hidrológicos y uso del suelo	123
Figura 62. Planta y perfil de Angulo β	128
Figura 63. Método del Talud Infinito	129
Figura 64. Clasificación de la amenaza de un talud ante deslizamiento	132

TABLA DE TABLAS

Tabla 1. Clasificación del Espesor de Suelo	18
Tabla 2. Caracterización Hidrogeológica	29
Tabla 3. Estado y diagnóstico de la malla vial e inventario de infraestructura	31
Tabla 4. Reserva de CIV para las Vegas	32
Tabla 5. Edificabilidad de las zonas para la localización de nodos de equipamientos y de equipamientos aislados rurales	34
Tabla 6. Volumetrías para los nodos de equipamientos rurales y equipamientos aislados rurales	34
Tabla 7 Descripción pendientes Elementos geomorfológicos Vegas.....	45
Tabla 8 Coberturas de la tierra nodo Vegas	50
Tabla 9. Uso del suelo Nodo Vegas	55
Tabla 10. Estaciones empleadas Nodo 1 – Vegas	58
Tabla 11. Distribución temporal de la precipitación media mensual – Estación PM San Juan.	60
Tabla 12. Distribución temporal núm. de días precipitación mensual – Estación PM San Juan.	60
Tabla 13. Lluvias Máxima en 24 horas - Estación PM San Juan.	61
Tabla 14. Valores Parámetros de Regresión en Colombia	63
Tabla 15. Relaciones IDF – Estación PM San Juan	65
Tabla 16. Elementos de equipamiento de la alcantarilla 1	69
Tabla 17. Elementos de equipamientos de la alcantarilla 2.....	71
Tabla 18. Período de retorno según tipo de obra.....	76
Tabla 19 Coberturas de la tierra por nodo	78
Tabla 20. Evaluación de caudales.....	81
Tabla 21. Evaluación Obras de Drenaje	83
Tabla 22. Coeficientes de permeabilidad de depósitos naturales del suelo.....	83
Tabla 23. Resultados de pruebas de permeabilidad	84
Tabla 24. Balance Hídrico – Estación CO Guaicaramo	85
Tabla 25 – Exploración del Subsuelo.....	91
Tabla 26. Resultados de ϕ y c' S-1	99
Tabla 27. Resultados de ϕ y c' S-2.....	100
Tabla 28 – Cantidades de ensayos realizados para el nodo Vegas	103
Tabla 29 – Resultados de ensayos de corte directo	108
Tabla 30 – Resultados de ensayos de corte directo	108
Tabla 31. Parámetros estimados para cada sondeo.....	112
Tabla 32. Parámetros estimados a partir del ensayo de laboratorio	112
Tabla 33. Análisis estadístico (Ángulo de fricción)	116



ALCALDÍA MAYOR
DE BOGOTÁ D.C.
AMBIENTE
Instituto Distrital de Gestión de Riesgos
y Cambio Climático

ELABORACIÓN DE ESTUDIOS BÁSICOS DE
ZONIFICACIÓN DE AMENAZA POR MOVIMIENTOS EN
MASA, A ESCALA 1:5.000 ACORDE CON LOS
REQUISITOS DEL DECRETO 1077 DE 2015, PARA 8
NODOS DE EQUIPAMIENTOS RURALES DE LA
LOCALIDAD DE SUMAPAZ
CONTRATO No 278 DE 2022



Tabla 34. Análisis estadístico (cohesión)	116
Tabla 35. Análisis estadístico de parámetros	117
Tabla 36. Análisis estadístico (Peso Unitario)	118
Tabla 37. Parámetros Geotécnicos	118
Tabla 38 Características zonas geotécnicas.....	120
Tabla 39 – Resumen de parámetros de resistencia obtenidos a partir de correlación con N de SPT	121
Tabla 40. Tabla resumen de nivel freático	122
Tabla 41. Resultado de nivel freático asociado a una lluvia de 20 años	125

TABLA DE FOTOGRAFÍAS

Fotografía 1. Remoción en Masa encontrada fuera del nodo de estudio.....	15
Fotografía 2. Fondo vivienda rural dispersa (A), adelante pastos limpios (B).....	52
Fotografía 3. Pastos enmalezados.....	53
Fotografía 4. Atrás arbustal abierto (A), adelante pastos enmalezados y pastos limpios (B).	53
Fotografía 5. Infraestructura de Institución educativa (Áreas culturales).	53
Fotografía 6. Vegetación secundaria baja.....	54
Fotografía 7. Red vial.	54
Fotografía 8. Empozamiento de agua por alcantarilla obstruida.	70
Fotografía 9. Se tiene una tubería en concreto con un diámetro de 24"	70
Fotografía 10. Se observa que la alcantarilla se encuentra en mal estado y se presenta empozamiento de agua.	70
Fotografía 11. No se presenta descole, las aguas recogidas por esta alcantarilla se vierten al terreno, re resalta el mal estado de esta alcantarilla	70
Fotografía 12. Se observa que la alcantarilla se encuentra taponada por una placa en concreto, de igual forma se muestra la falta de mantenimiento de esta por lo cual se ocasiona un empozamiento de agua	71
Fotografía 13. No se cuenta con un descole apropiado, por lo cual las aguas recogidas por esta alcantarilla se vierten al terreno natural, así mismo se nota el mal estado y la falta de mantenimiento de esta.	71
Fotografía 14. Aguas de escorrentía superficial y sub superficial vertidas al terreno natural.	72
Fotografía 15. Cañada artificial, nodo las vegas	73
Fotografía 16. Caja de recolección de agua.....	73
Fotografía 17. Caja recolección de aguas, nodo las Vegas	74
Fotografía 18. Canal de concreto, nodo las vegas	74
Fotografía 19. Zanja vial, nodo las Vegas	75
Fotografía 20. Deslizamiento de tierra, Nodo las Vegas	76
Fotografía 21 Remoción en Masa fuera del nodo de estudio.	89
Fotografía 22 Cañada artificial dentro del polígono.....	89
Fotografía 23 Salida de Cañada artificial.	89
Fotografía 24 Edificio de profesores, que presenta problemas de agrietamiento.....	89
Fotografía 25 Grietas presentadas en el costado derecho del edificio de profesores.	90
Fotografía 26 Infraestructura costado derecho edificio profesores.	90
Fotografía 27 Vista trasera edificio de profesores.....	90
Fotografía 28 Remociones en masas que se encuentran fuera del polígono de estudio.....	90
Fotografía 29 Zonas de infiltración presentadas a lo largo de la vía de acceso al colegio...	90
Fotografía 30 Zonas de infiltración.	90

1 INTRODUCCIÓN

En el presente documento se muestra la consolidación de la información suministrada por el IDIGER relacionada con los antecedentes de eventos y estudios realizados en la zona objeto de intervención.

Adicional a esto se muestra el plan de exploración del subsuelo para el Nodo 1 denominado Vegas, el cual está justificado a partir de la visita de reconocimiento realizada el día 19 de enero de 2023, la revisión de información previa, y el anexo técnico de los términos de referencia.

La zona objeto de intervención del presente informe será el nodo las Vegas, este se encuentra ubicado en la localidad de Sumapaz y comprende un área de 10,427344 Ha., a continuación, se observa a detalle la localización del polígono a intervenir.

Teniendo en cuenta la inspección visual de las condiciones actuales del sector se plantea el programa de exploración del subsuelo. Las actividades descritas se desarrollan en el marco del contrato de consultoría No. 278 de 2022 cuyo objeto es la “Elaboración De Estudios Básicos De Zonificación De Amenaza Por Movimientos En Masa, A Escala 1:5.000 Acorde Con Los Requisitos Del Decreto 1077 De 2015, Para 8 Nodos De Equipamientos Rurales De La Localidad De Sumapaz.”

Para el análisis hidrológico como primera actividad se realizó una caracterización del terreno, basada en la cartografía disponible. A partir de la información hidrológica disponible en la zona se determinaron las condiciones pluviométricas generales en el sitio objeto de estudio y con la cartografía disponible, se pudieron identificar los cuerpos de agua existentes en el sitio. Así mismo se obtuvieron las Curvas de Intensidad – Duración – Frecuencia que permiten obtener patrones de conductas pluviométricas que registran sobre un área o región específica

2 DESCRIPCIÓN DEL ÁREA DE ESTUDIO Y POLÍGONO DE ANÁLISIS

En el presente informe, se muestran las condiciones técnicas específicas para el desarrollo de los estudios básicos de zonificación de Amenaza por movimiento en masa en el Nodo Vegas.

El nodo Vegas, se encuentra ubicado en la localidad de Sumapaz y el nodo de estudio comprende un área de 10,427344 Ha.

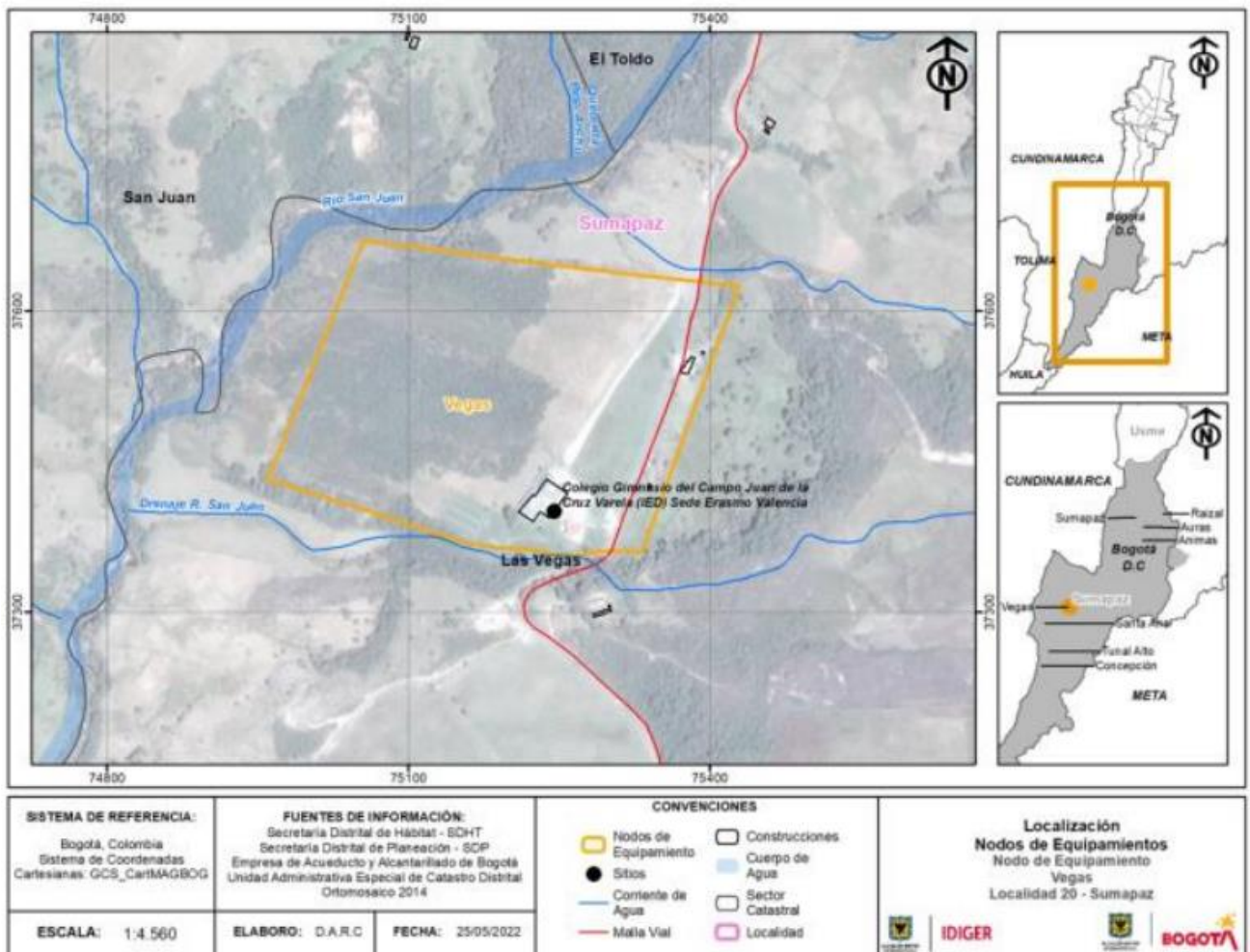


Figura 1 Localización y área Nodo Vegas
Fuente: IDIGER

3 VERIFICACIÓN DEL POLIGONO

Para el polígono Vegas, se propone la adición de un área directa de 6.1 Ha, considerando la problemática observada en la visita de campo realizada el 19 de enero, donde se evidencio que en la zona oriental del polígono se presenta un fenómeno de remoción en masa activo en un área colindante del polígono de estudio.



Figura 2 Verificación del polígono
Fuente: Adaptada Google earth

En la siguiente fotografía, es posible observar la problemática mencionada.



Fotografía 1. Remoción en Masa encontrada fuera del nodo de estudio.

4 METODOLOGÍA PARA ZONIFICACIÓN GEOTÉCNICA

4.1 METODOLOGIA

Para la elaboración de zonificación de amenaza por movimientos en masa, se toma como base la Guía Metodológica del Servicio Geológico Colombiano, a partir del cual se establece que los estudios realizados para escalas 1:5000 serán desarrollados por medio de análisis determinísticos; para esto se utiliza información secundaria existente (cartografía) con el fin de generar, en primera instancia, mapas temáticos para la zona de estudio relacionados a geología, geomorfología, coberturas y uso del suelo.

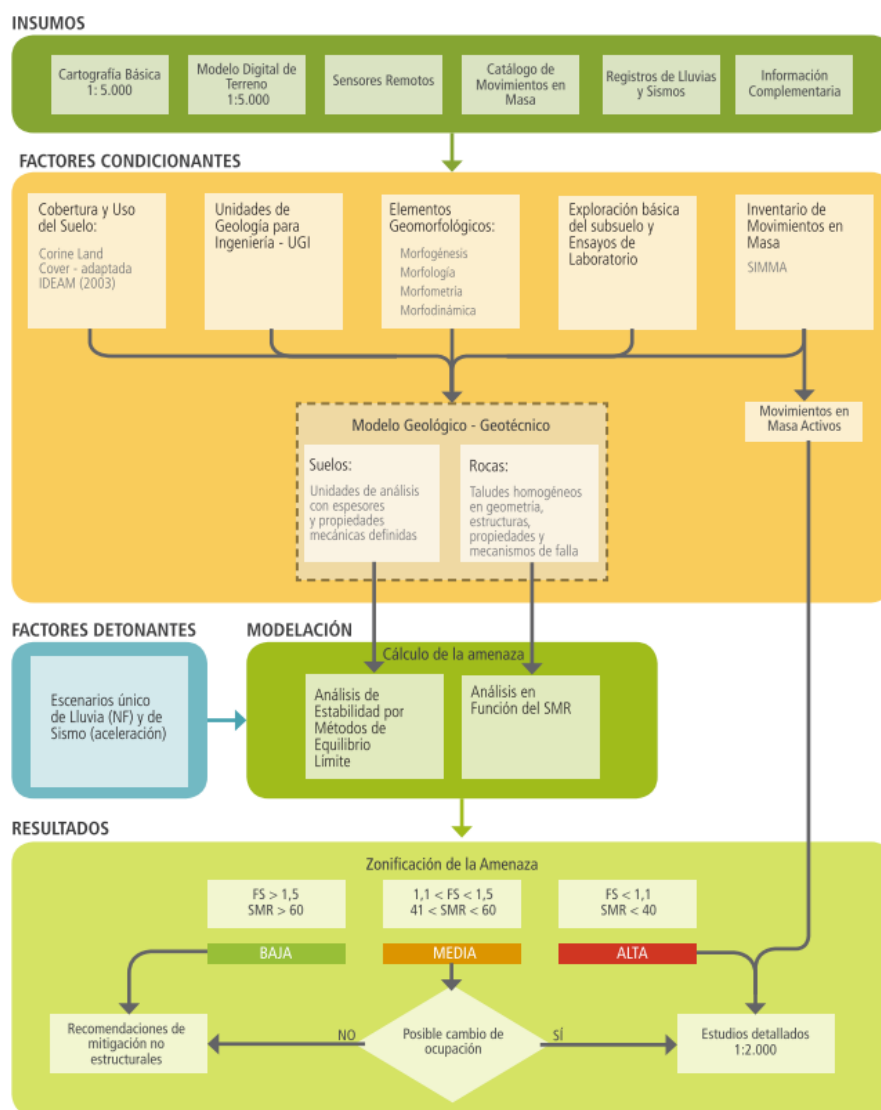


Figura 3. Zonificación básica de amenaza por movimiento en masa a escala 1:5000
Fuente: (SERVICIO GEOLOGICO, 2016)

Así mismo, se deben tener en cuenta los factores condicionantes tales como la UGI, elementos geomorfológicos, la exploración básica del subsuelo, información secundaria relacionada a eventos ocurridos con movimientos en masa en las áreas de estudio y coberturas y usos del suelo. Para el caso del primer ítem (UGI), se debe tener información geológica con la distribución, propiedades físicas y mecánicas de las rocas, suelos, nivel freático, características del relieve, los cuales son importantes en el desarrollo del estudio, además que con dicha información es posible diferenciar materiales aflorantes, definir espesores de suelo y características estructurales y caracterizar los materiales de acuerdo a las propiedades mecánicas.

En el caso de la geomorfología, y teniendo como referencia la escala requerida para el estudio es necesario la generación geomorfológica detallada, enfocándose en la identificación y caracterización de geoformas, a partir de información relacionada con morfogénesis, morfología, morfometría y morfodinámica; esto debe ir acompañado de actividades tales como la recopilación de información y análisis de la misma, así como el respectivo reconocimiento en campo de la zona de estudio.

Respecto al histórico de eventos de movimientos en masa en la zona de estudio, se hace el registro de las condiciones actuales del lugar a través del levantamiento en campo y con fotografías que evidencien el estado de las mismas, así como el uso de sensores remotos que permitan complementar esta información, la cual irá como complemento de la geomorfología. Adicionalmente, con la exploración básica del subsuelo, con la cual se busca realizar la caracterización de las unidades del modelo geológico-geotécnico para el polígono de estudio, se proyectan apiques de 2 metros de profundidad y sondeos de 5 metros. Estas muestras deberán tener sus respectivos ensayos de laboratorio, según sea el caso.

Finalmente, la información asociada a usos y coberturas de suelo está proyectada para desarrollarse conforme a la metodología Corinne Land Cover, adaptada para Colombia por parte del IDEAM; allí se basa en la determinación del número de curva (CN) con el cual se busca encontrar valores de nivel freático y láminas de agua, si se tiene en cuenta la lluvia como un factor importante causante de los movimientos en masa; los factores a evaluar principalmente son de tipo antrópico donde se evidencien cambios en el uso del suelo, cortes de ladera y explanaciones. Así mismo, es posible utilizar información cartográfica y/o secundaria que esté actualizada e incluida en el POT y Pomca de la zona de estudio, incluso en caso de que cumpla también con la escala de trabajo (1:5000) esta información puede ser usada como mapa temático definitivo. De igual manera, se debe tener en cuenta que es de gran importancia la actividad preliminar de reconocimiento en campo y tener una definición inicial de las coberturas en terreno, de acuerdo a la metodología mencionada (Corinne Land Cover), para luego realizar el proceso de digitalización de polígonos de coberturas, los cuales tendrán los respectivos atributos de identificación y definición. Luego se debe realizar la

respectiva caracterización con el fin de poder diferenciar y dar una descripción cualitativa del tipo, densidad, tamaño, entre otros.

Una vez definida la información anterior es posible establecer el modelo geológico-geotécnico, donde se deben identificar unidades geotécnicamente homogéneas y con esto, plantear para cada caso el modelo conceptual, mediante el cual se establezcan las características geológicas y geomorfológicas, así como los parámetros geotécnicos para cálculo de estabilidad en la zona de estudio de manera determinística. En primera instancia, las unidades geotécnicas homogéneas se determinan haciendo el cruce de información de los mapas UGI y geomorfología, los cuales han sido ajustados con la información de la exploración y ensayos de laboratorio, clasificando también las UGI como se muestra a continuación:

Tabla 1. Clasificación del Espesor de Suelo

ESPESOR DE SUELO (m)	DESCRIPCIÓN
>1,5	Muy Profundo
1,0-1,5	Profundo
0,5-1,0	Moderadamente Profundo
0,25-0,5	Superficial
<0,25	Muy Superficial

Con la clasificación aplicada en la zona de estudio, se define una malla con herramientas SIG donde se establezcan los valores de estratificación, profundidad y nivel de agua para las columnas de suelo y/o roca. Cada unidad geotécnica homogénea definida tendrá su respectivo modelo geológico-geotécnico a partir de la información geológica y geomorfológica, donde se definen:

- Pendiente del terreno
- Espesor del suelo y su variación
- Lito estratigrafía hasta el sustrato rocoso
- Posición del nivel freático

Con los insumos definidos en la página 35 de la guía, se delimitan las zonas homogéneas de análisis estableciendo para cada una de ellas su UGI, así como la influencia que tiene en cada una de estas los factores detonantes (Lluvia y sismo). Para el factor detonante lluvia se debe analizar la lluvia para un periodo de retorno de 20 años, se recomienda emplear la ecuación que define el Pf20 (página 52), así mismo para el factor sismo se debe determinar el factor k (coeficiente de aceleración para un periodo de retorno de 100 años) sin embargo esto se analizara a la luz de lo solicitado por el anexo técnico.

Posteriormente se debe definir si la unidad de análisis es una unidad de suelo o roca, en el caso de los suelos se aplicará la ecuación de talud infinito, referenciada en la página 57 de la guía metodológica del servicio geológico, la cual se puede aplicar empleando la función Raster Calculator del aplicativo ArcMap, para lo cual se deben rasterizar previamente la totalidad de variables que se encuentran dentro de la ecuación, los cuales se presentan a continuación:

$$FS = \frac{(c' b \sec \alpha + (ybh \cos \alpha - kybh \sin \alpha - \gamma_w h_w \cos^2 \alpha) \tan \Phi')}{ybh \sin \alpha + kybh \cos \alpha} \quad (3-9)$$

Donde

c' y Φ' son los parámetros de resistencia del suelo en la base de la columna de suelo, en término de esfuerzos efectivos.

y es el peso unitario del suelo.

b es el ancho de la tajada (ancho de la celda).

h es la altura de suelo por encima de la superficie potencial de deslizamiento.

γ_w es el peso unitario del agua.

h_w es la altura de la lámina de agua, determinada a partir del nivel freático correspondiente a una lluvia de 20 años de periodo de retorno.

α es el ángulo de inclinación de la superficie de falla.

k es el coeficiente de aceleración horizontal para un periodo de retorno de 100 años.

Los parámetros c' y $\tan(\Phi')$ deben ser los valores medios obtenidos de ensayos de laboratorio para la unidad geotécnica definida. La profundidad de la superficie de falla se toma como la profundidad del suelo o la profundidad hasta el contacto entre dos unidades de diferente comportamiento mecánico. El ángulo α se puede asumir como el ángulo de la superficie del terreno en la celda. Seguidamente se ilustran los parámetros antes indicados (figura 3-4).

Ahora bien, para la clasificación de amenaza se define a partir de en el factor de seguridad en el caso de los suelos, de esa forma se establecen tres niveles de amenaza ante deslizamiento, los cuales son alto, medio y bajo. Finalmente, con los valores de factor de seguridad y los criterios de clasificación de la tabla 3-11 de la página 60 de la guía del SGC, se tiene la representación del nivel de amenaza en la zona de estudio, donde se incluye la respectiva leyenda y/o convención con las características físicas de cada unidad según la categoría establecida, los procesos predominantes y los daños que pudieran ocasionar.

En caso de no poder aplicar algún aspecto de la metodología anteriormente descrita se concertará con interventoría e IDIGER el aspecto particular.

Cabe mencionar que en caso de requerir la metodología a aplicar en las unidades de roca Para las unidades de roca se empleara la metodología correspondiente al SMR.

5 RECOPIACIÓN Y ANÁLISIS DE INFORMACIÓN SECUNDARIA

5.1 GENERALIDADES LOCALIDAD SUMAPAZ:

La localidad de Sumapaz, se encuentra ubicada sobre la cordillera Oriental, entre la altitud de 2400 y 4100 msnm. Esta localidad representa el 70% del Territorio de la ciudad de Bogotá, dicha localidad limita al Norte con el Alto de los Tunjos, Boca Grande y las localidades de Usme y Ciudad Bolívar. Al sur limita con el Alto de las Oseras y con el Departamento del Huila, al oriente con el Alto de las Oseras y con el Departamento del Meta. Al Occidente con los límites del departamento del Huila y el Alto de Los Juncos.

De acuerdo con el plan local de gestión del riesgo y cambio climático CLGR-CC para la localidad de Sumapaz, publicado en la base de datos del IDIGER, se destaca que Actualmente la Localidad se divide en dos UPR's (Unidades de Planeación Rural) la UPR Rio Blanco y la UPR Rio Sumapaz, tiene cinco centros poblados con vivienda consolidada que son: Betania, Nazareth, San Juan, La Unión y Nueva Granada y pequeñas agrupaciones de viviendas ubicadas en las veredas de Santa Ana, Tunal Bajo, Tunal Alto y la Concepción, cuenta con zonas de uso como áreas para la producción sostenible, clasificadas así: 5 áreas para la producción sostenible de alta capacidad; 20 áreas para la producción sostenible de alta fragilidad y 6 áreas para la producción sostenible de manejo especial. (POT, 2004).

5.1.1 GEOMORFOLOGIA

De acuerdo con el plan local de gestión del riesgo y cambio climático CLGR-CC del año 2019, se describe que "...La Cordillera Oriental ha estado sometida a una intensa erosión que ha afectado durante millones de años sus estructuras mayores. Las glaciaciones del Pleistoceno-Holoceno condujeron al cambio en las condiciones climáticas y ayudaron a configurar las formas actuales del área de estudio. Desde el punto de vista morfológico, las unidades geomorfológicas encontradas en el área pueden clasificarse en tres categorías mayores: unidades de origen glacial/peri glacial, las de origen estructural / denudacional y las de origen fluvial..." (Pág. 10)

5.1.1.1 Unidades de Origen Glaciar – Peri glaciar:

En el plan de Gestión del riesgo y cambio climático CLGR-CC del año 2019, se destaca que los principales rasgos que se encuentran sobre la zona, son los valles en U, los circos glaciares (constituyen a las estructuras que se encuentran formando escarpes con paredes que tienen

forma casi vertical (Rocas duras) o escalonada (Rocas blandas)), las morrenas (que corresponden a los materiales arrastrados por los glaciares y están formados por rocas angulosas) y los depósitos fluvioglaciares (que se forman debido al descongelamiento de los glaciares que fueron transportados y acumulados por el acción del agua). En algunos puntos específicos de la localidad, es posible encontrar procesos de intervención antrópica, los cuales generan que las áreas presenten un alto grado de susceptibilidad a la formación de surcos y a la remisión de masas de la zona.

5.1.1.2 Unidades de Origen Fluvial:

En esta unidad, es posible destacar las terrazas bajas, asociadas a ríos y quebradas, las cuales se desarrollan como causa del descongelamiento de volúmenes de agua, Para la zona de estudio, esta unidad se encuentra escasa debido a su topografía.

5.1.1.3 Unidades de origen estructural-denudacional

Para el nodo las Vegas, esta unidad está representada por largas cuchillas, donde es posible encontrar los escarpes, depresiones sobre los núcleos anticlinales y sinclinales erosionados, planchas estructurales, superficies con pendientes fuertes sobre lutitas, entre otros. En la siguiente figura, se ilustra en color morado la extensión estructural para la localidad de Sumapaz y para el nodo las Vegas.

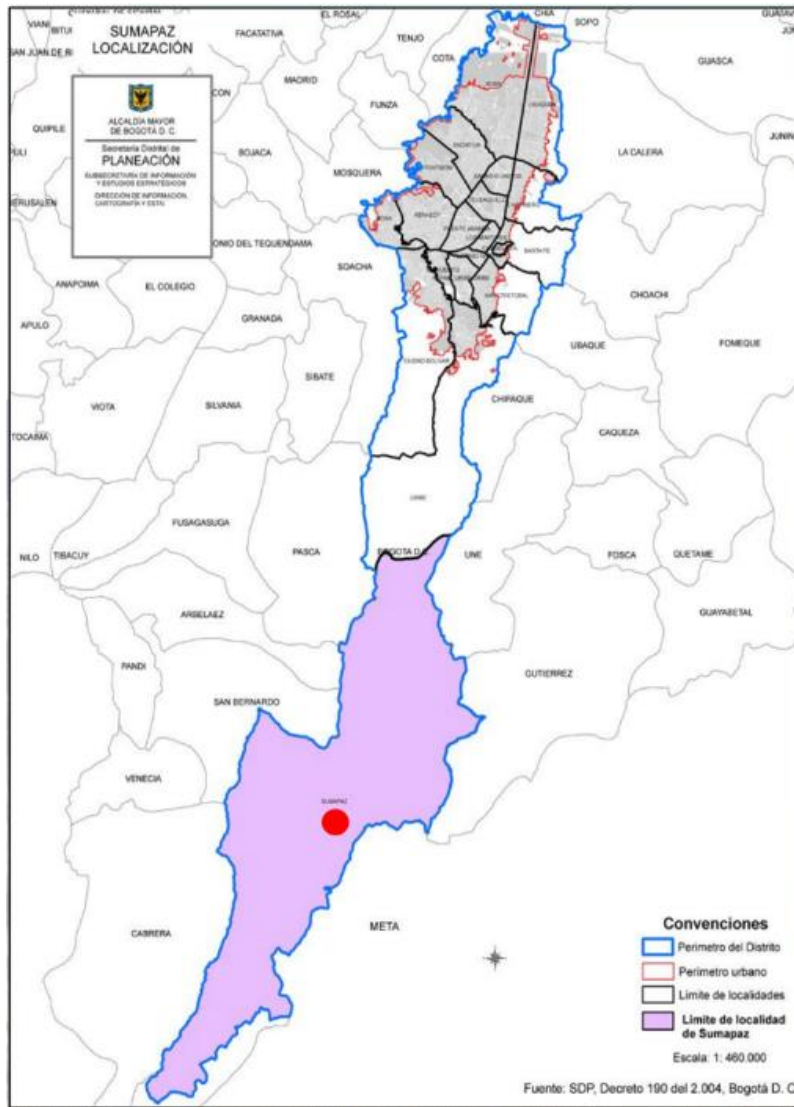


Figura 4. Localización área Sumapaz.
Fuente: IDIGER

De acuerdo con la información suministrada por el IDECA, para el nodo las Vegas la geología encontrada corresponde a Qal (Qal), Sco (Q2c), Rb3 (Pglf), la descripción de esta geología se puede observar en el numeral 3.2.6 del presente informe, de igual forma la geomorfología para este polígono corresponde a Fpi (Planicie Aluvial), Dco (Espinazo Estructural Glaciado), Gle (Cuesta Estructural Glaciada), en el numeral 3.2.7 del presente informe se presenta información más amplia para esta geomorfología.

5.2 CUENCA RIO SUMAPAZ:

Como primer ítem, es necesario destacar que a lo largo de la localidad Sumapaz, es posible encontrar la cuenca del Rio Sumapaz y la Cuenca de Rio Blanco, donde por medio del plan local de gestión del riesgo y cambio climático CLGR-CC del año 2019, el nodo Vegas se encuentra ubicado en la cuenca del rio Sumapaz, tal como se muestra en la siguiente figura, además, es importante mencionar que para la información secundaria se tiene en cuenta dicha Cuenca para realizar los análisis requeridos en el presente informe.

Para el nodo las Vegas no existe la presencia subcuenca, microcuenca o lagunas, se puede evidenciar dicha información mediante el plano anexo y la información desarrollada a lo largo del informe.

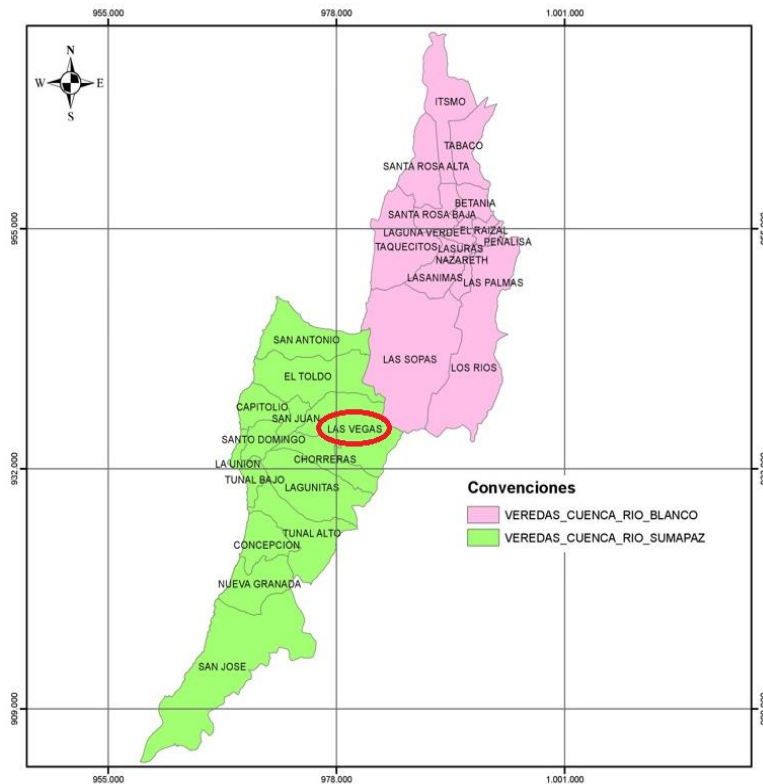


Figura 5. Ubicación del Nodo Vegas.

Fuente: IDIGER

Tal como se menciona anteriormente, el nodo Vegas se ubica a lo largo de la Cuenca del Rio Sumapaz, por lo cual se puede destacar:¹

¹ IDIGER 2019
<https://www.idiger.gov.co/documents/220605/494708/PLAN+LOCAL+DE+GESTI%C3%93N+DEL+RIESGO+COMPI+LADO-SUMAPAZ.pdf/328381c6-8c49-4415-acc0-87335808df07>

5.2.1 Suelos:

Sobre la zona, es posible encontrar amplios valles y sectores fuertemente quebrados, casi formados en su totalidad por glaciares y movimientos de los mismos a lo largo del tiempo. En algunas zonas de la localidad, se presentan problemas de remoción en masas, por medio del plan local de gestión del riesgo y cambio climático CLGR-CC los suelos se encuentran agrupados así:

SUELO	CÓDIGO	ÁREA (HA)	%	GRUPO AGROLÓGICO
Asociación Alban	ALef	40,91	0,10	
Asociación Bolívar (Conjunto Bijoacales)	BLbc, BLcd	6244,2	14,81	VII
Asociación Frailejon	FJef, FJejr, FJep, Fjde	11817,84	28,04	VIII
Asociación Robles	RLde, RLcd	94,84	0,23	IV
Asociación San Juan	SUde, SHCD	5283,62	12,54	VIII
Asociación Santa Rosa	ASde, AScd, ASc	4145,27	9,84	VII
Asociación Soatama	STde, STef, STf, STfr, S	8911,7	21,14	VII
Miscelaneo Rocoso	MR	3044,28	7,22	VIII
Sin Información	No Tiene	2553,78	6,06	
Zona Urbana	No Tiene	10,1	0,02	
TOTAL		42.146,54	100	

Fuente: DAPD. Guía Territorial Localidad de Sumapaz. Bogotá 2001

Figura 6. Asociación del suelo Cuenca Rio Sumapaz.
Fuente: IDIGER

El material de estos suelos está constituido por:

- Lutitas
- Lutitas calcáreas
- Arcillas
- Areniscas
- Cenizas Volcánicas

Cabe destacar que el clima que se presenta en la zona es húmedo y frío, con temperaturas bajas, lo cual trae como consecuencia una pobre mineralización del suelo.

5.2.2 Pendientes de la localidad Sumapaz, Cuenca Rio Sumapaz:

El 81% del territorio de la localidad de Sumapaz, representa pendientes menores al 25%, otras zonas alcanzan una inclinación hasta del 75%, las cuales son susceptibles a deslizamientos.

PENDIENTE	ÁREA	PORCENTAJE
Menor A 25 %	34.138,71 ha	81%
Mayor A 25%	3.739,19 ha	9%
Pendientes Mayores a 25 % Hasta 75 %	4.214,65 ha	10%
TOTAL	42.146,55 ha	100%

Fuente: DAPD, 2001, IGAC, 2003

Figura 7. Pendientes de la localidad Sumpaz.
Fuente: IDIGER

5.2.3 Clima:

Como se mencionaba anteriormente, el clima para la zona es frío, para la zona de las lagunas se encuentra entre un 4.4 °C, los meses con más lluvia son abril, octubre y noviembre y los de verano son enero y diciembre, de acuerdo con la información del IGAC, la precipitación total anual es 757,7 mm y el promedio mensual multianual es 63,1mm y por último el periodo más seco es de diciembre a marzo con 17.6 mm.

Clima	Precipitación	Temperatura	Rango de Precisión	Rango de Temperatura	Rango de Altura	Area (Ha)	%
Frío Seco	Seco	Frío	1001 - 2000 mm	12° - 18°C	1801-2800 msnm	1538,66	2,00
Muy Frío Seco	Seco	Muy Frío	1001 - 2000 mm	6° - 12°C	2801-3700 msnm	43124,05	56,07
Extremadamente Frío Seco	Seco	Extremadamente Frío	1001 - 2000 mm	1.5° - 6°C	3701-4500 msnm	32243,93	41,93

Figura 8. Clima de localidad.
Fuente: IDIGER

5.3 DESCRIPCIÓN DE INFORMACIÓN NODO VEGAS:

5.3.1 Amenaza:

Según información suministrada en el mapa de “Amenazas por movimiento en masa para el área urbana y de expansión de Bogotá, escala 1:25.000” por el IDIGER, la amenaza presentada sobre el polígono de estudio es intermedia en un gran porcentaje del área y en unas partes mínimas es baja, específicamente en 2 de los extremos del polígono, mientras que en el borde inferior izquierdo es posible encontrar una amenaza baja que se puede evidenciar en la siguiente figura. Con la escala 1:25.000 se presentan los productos preliminares. Cabe mencionar que la escala presentada en los planos es una escala de presentación de los mismos, con el fin de que se visualice de manera correcta el polígono de estudio.

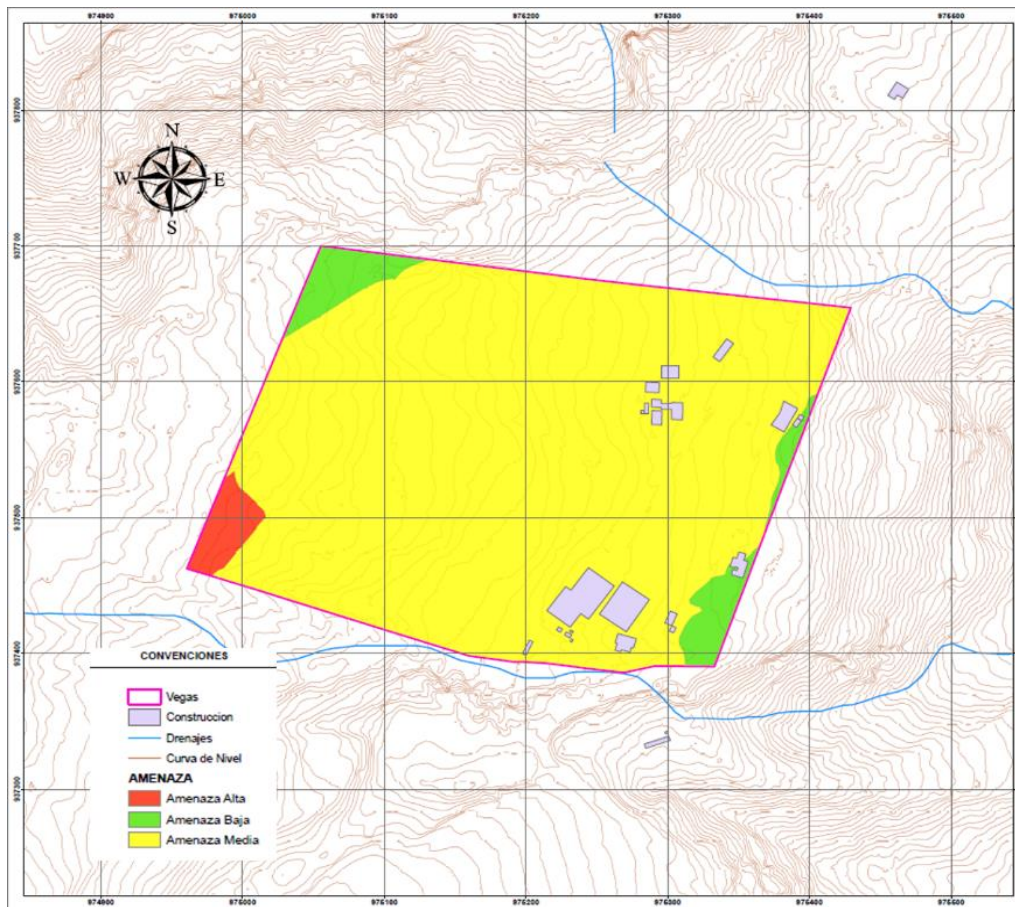


Figura 9. Amenaza del polígono Vegas. Escala Base cartográfica 1:5.000, escala de presentación de plano 1:1.000

Fuente: Adaptado por Geodinámica, Según datos proporcionados por el IDIGER

5.3.2 Pendientes Polígono las Vegas

Las pendientes para el polígono de estudio, se analizan de acuerdo con la información Raster de pixel 0.5x0.5 suministrada por el IDIGER, donde de acuerdo con la resolución 471 de 2020 del IGAC el tamaño de pixel es equivalente a una escala de trabajo 1:5.000. Teniendo en cuenta lo indicado anteriormente, las pendientes se encuentran entre el 3 al 50%, tal como se observar en la siguiente figura.

Tabla 2. Productos y nivel de detalle

Denominación de producto	Base de datos cartográfica (vectorial) Escala	Denominación de producto	Ortoimágenes GSD (cm)	Denominación de producto	Modelos digitales de terreno Grilla/Malla (m)
Carto1000	1:1000	Orto10	10	MDT1	1
Carto2000	1:2000	Orto20	20	MDT2	2
Carto5000	1:5000	Orto50	50	MDT5	5
Carto10000	1:10000	Orto100	100	MDT10	10
Carto25000	1:25000	Orto250	250	MDT25	25

Figura 10. Niveles de detalle.
 Fuente: IGAC

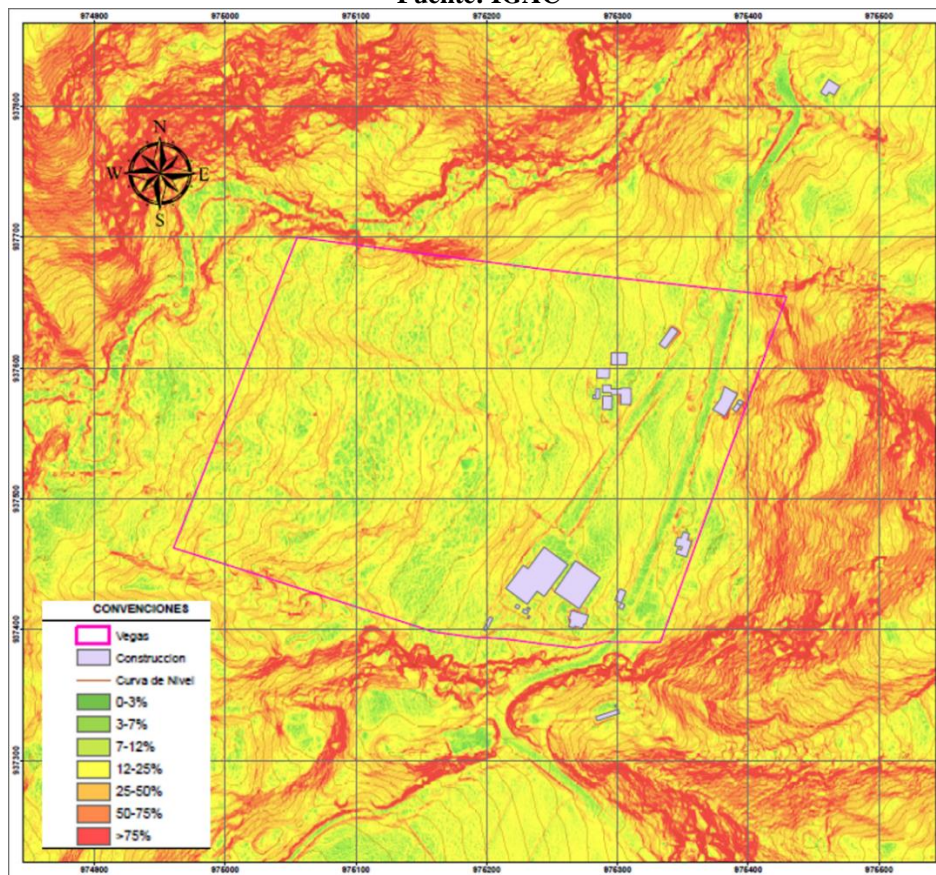


Figura 11. Pendientes del polígono Vegas. Escala Base cartográfica 1:5.000, escala de presentación de plano 1:1.000
 Fuente: Adaptado por Geodinámica, Según datos suministrados por el IDIGER

5.3.3 Precipitaciones:

Teniendo en cuenta la información suministrada por el IDEAM, en el mapa Coberturas del suelo y Precipitaciones anuales para Colombia, escala 1:100.000, las precipitaciones para el polígono de estudio se encuentran en promedio entre 1000 y 1500 mm, estas precipitaciones fueron definidas mediante el uso del SHP de precipitaciones del mapa anteriormente mencionado, ya que para la zona no se encontraron estaciones cercanas impidiendo el uso de estas.

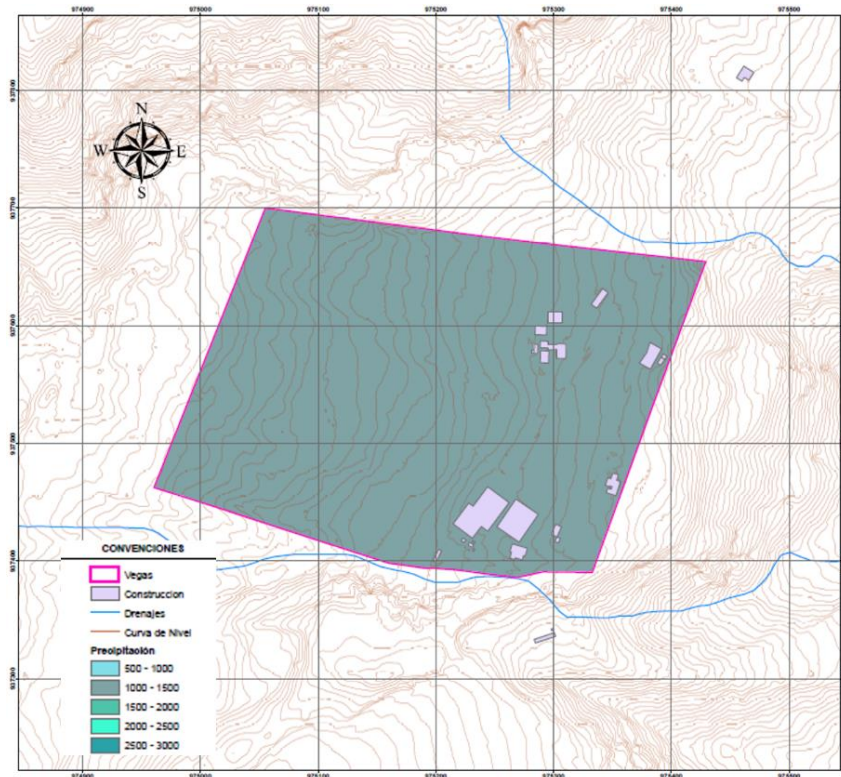


Figura 12. Precipitaciones del polígono Vegas. Escala Base cartográfica 1:5.000, escala de presentación de plano 1:1.000

Fuente: Adaptado por Geodinámica, Según datos suministrados por el IDIGER E IDEAM

5.3.4 Hidrogeología

A partir de la información consultada en diversas fuentes (IDEAM, CAR, SGC, Alcaldía Sumapaz) se hace la respectiva caracterización hidrogeológica para la zona de estudio. En primer lugar, se toma como referencia la zonificación establecida por el IDEAM en el año 2010, basada en las principales cuencas hidrográficas del país; de esta manera, el polígono de estudio está localizado en la cuenca de la cordillera oriental.

Con la identificación de zona hidrogeológica del nodo Raizal, se consultan las características de dicha zona, donde es posible encontrar afloramientos de rocas del Cretáceo y del Terciario, además de depósitos del cuaternario de origen glacial, aluvial y coluvial; las rocas se caracterizan por ser permeables, a excepción de formaciones arcillolita y lodolitas y rocas calcáreas, las cuales a causa de la disolución son elementos importantes en acuíferos. (CAR, 2003)

En términos generales, la zona de estudio presenta las siguientes unidades hidrogeológicas:

- Sedimentos y Rocas con porosidad primaria de interés hidrogeológico están representados por rocas de los Grupos Guadalupe y Guaguaqui, y los niveles de areniscas entre otras formaciones como la formación Fusa. Depósitos de terrazas que ocupan gran extensión de la cuenca y depósitos aluviales en general que conforman acuíferos libres.
- Rocas con porosidad primaria y secundaria de interés hidrogeológico. Asociados a zonas de diversos tipos de roca con afectación tectónica por sistemas de fallas y diaclasas de amplia extensión dentro de la cuenca.

	UNIDAD	LITOLOGÍA	CARACTERÍSTICAS HIDROGEOLÓGICAS
ESTRATIGRAFÍA DEL BLOQUE DE LA SABANA DE BOGOTÁ			
Mesozoico	Formación Une (Kiu)	Areniscas masivas y areniscas deleznales.	Buenas condiciones de permeabilidad dentro de la sabana de Bogotá, conforman unidades de alta importancia hidrogeológica.
	Formación Chipaque (Ksc)	Lodolitas negras con intercalaciones de arcillolitas.	Baja importancia hidrogeológica.
	Gr. Guadalupe (Ksg)	Areniscas masivas y areniscas deleznales.	Buenas condiciones de permeabilidad dentro de la sabana de Bogotá, conforman unidades de alta importancia hidrogeológica.
Terciario	Fm Guaduas (KPgg)	Arcillolitas laminadas a no laminadas, grises claras y abigarradas, con intercalaciones de cuarzoarenitas	Predominio de niveles de arcillositas de baja permeabilidad unidades de baja importancia hidrogeológica.
	Formación Fusa (Pgf)	Sedimentos arcilloarenosos con niveles de limolitas moderadamente fracturadas.	Moderada importancia hidrogeológica.
Cuaternario	Depósitos Aluviales (Qal) Depósitos Fluvioglaciares (Qf)		Moderada a alta importancia hidrogeológica especialmente para los acuíferos libres o in confinados.

Tabla 2. Caracterización Hidrogeológica

Fuente: (CAR, 2003)

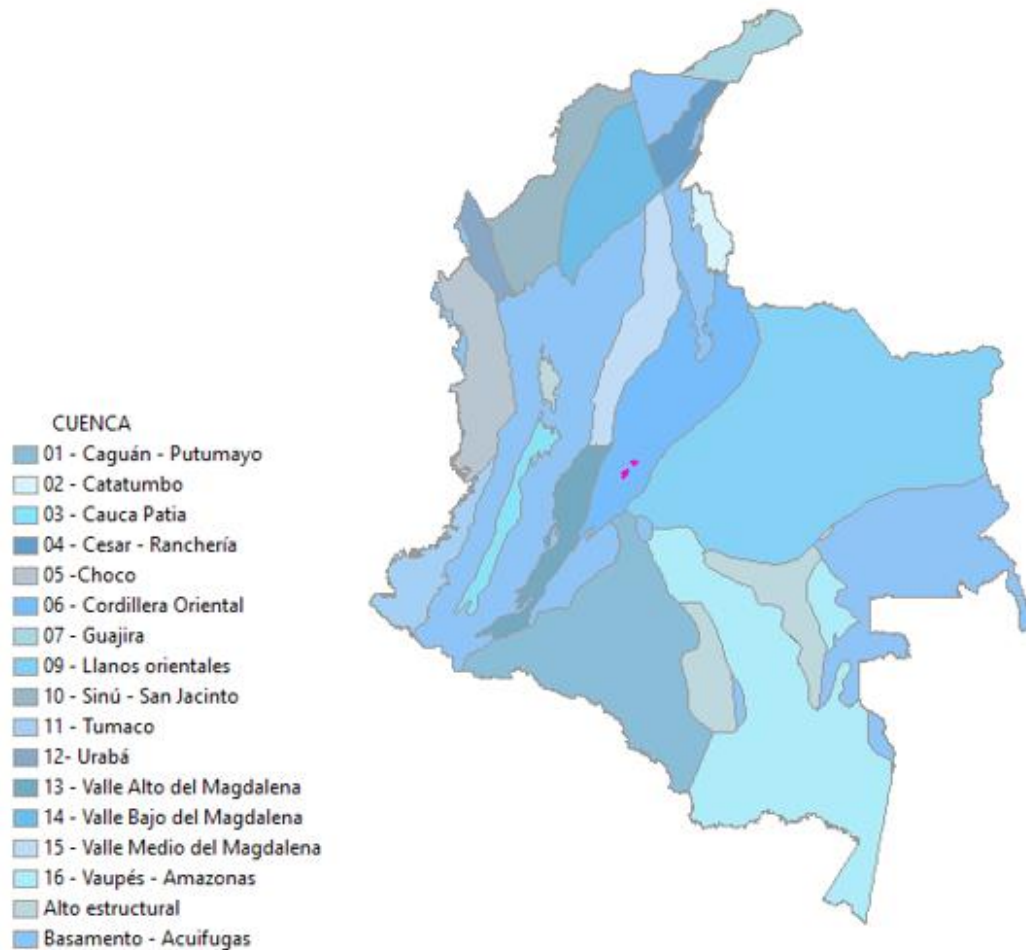


Figura 13. Zonificación Hidrogeológica-Nodo Vegas
Fuente: IDEAM

5.3.5 Estudios previos

Con el fin de obtener información de estudios anteriores e histórico de eventos ocurridos que sirvan como base de consulta para el desarrollo de la caracterización de escenarios de riesgo, y con lo cual, se priorizara y jerarquizara las amenazas por movimiento en masa en el nodo de estudio; por lo tanto, se realiza la respectiva búsqueda de información en diferentes bases de datos asociadas a la gestión de riesgos y prevención de desastres; las bases de datos consultadas fueron DESINVENTAR, SIMMA, Unidad de Nacional para la Gestión del Riesgo de Desastres-UNGRD y reportes generados por la Corporación Autónoma Regional de Cundinamarca-CAR. No obstante, una vez consultadas las diferentes bases de datos se encontró con falta de información en la zona de estudio o cercana a la misma.



Figura 14. Consulta de Histórico de Eventos-Nodo Vegas
Fuente: SIMMA

5.3.6 Información Secundaria

- **IDU:**

De acuerdo con la información suministrada por el IDU, dan respuesta a lo solicitado así:

1. *Estado o diagnóstico de la malla vial, inventario de la infraestructura vial, reservas de CIVS por parte de la entidad para la futura ejecución de proyectos, estudios o intervenciones realizados por la entidad en el polígono de estudio.*

Teniendo en cuenta los parámetros establecidos por la entidad para la evaluación vial, se presenta la siguiente información para la discriminación por cada sector así:

Tabla 3. Estado y diagnóstico de la malla vial e inventario de infraestructura

Loc	Sector	CIV	PK_ID Calzada	Tipo índice	Clasificación	Índice 2022-II	Estado 2022-II
20	VEGAS	20076209	91027714	PCI	Malla Vial Principal Rural	56	JUSTO
20	VEGAS	20076210	91062509	PCI	Malla Vial Principal Rural	54	POBRE

Fuente: (IDU, 2023)

Con respecto a la reserva de CIV, se destaca que el SIGIDU centraliza y dispone la información geográfica para los procesos de planeación, ejecución y seguimiento para los proyectos a cargo del IDU. Teniendo en cuenta el estado de la malla vial se procede a generar la selección de los elementos de la malla vial existente dentro de los polígonos, de lo cual se tiene:

Tabla 4. Reserva de CIV para las Vegas

Loc	Sector	CIV	Elemento	Tipo Elemento	Contrato	Estado	Intervención	Entidad
20	VEGAS	20076209	91027714	Calzada	IDU-1732-2021	Reservado	Conservación	IDU
20	VEGAS	20076210	91062509	Calzada	IDU-1732-2021	Reservado	Conservación	IDU

Fuente: (IDU, 2023)

- **FUTURA EJECUCIÓN DE PROYECTOS DENTRO DEL POLÍGONO:**

Teniendo en cuenta el desarrollo de malla vial arterial, en el numeral 1.2 Programa para descarbonizar la movilidad, el libro V “Programas y Proyectos” del Documento Técnico de Soporte del POT de Bogotá, el Acuerdo 523 de julio 8 de 2013, entre otros proyectos, el IDU presenta un listado de obras de los cuales se realizó la revisión y se determinó que para los polígonos no se detectaron proyectos de malla vial arterial que actualmente interfieran con el desarrollo del contrato.

- **EPM:**

No se presenta ningún activo de EPM que lo cruce o estos contenidos en ellos. (EPM, s.f.)

- **Secretaria del Hábitat**

En atención a las solicitudes realizadas a la secretaria del hábitat, donde se solicita información sobre el estado actual y caracterización de la infraestructura para los polígonos de estudio, uso y coberturas del suelo dentro de los polígonos de estudio, programación y proyectos de la Secretaria Distrital del Hábitat que se estén ejecutando o se planee su ejecución, información sobre el estado de servicios públicos domiciliarios, información sobre reasentamiento de los predios en el polígono de estudio y Shapes y planos con información recopilada por la Secretaria Distrital Del Habitar, se obtiene como respuesta, lo siguiente para el nodo las Vegas.

- 1 Programas y proyectos que la secretaria Distrital del Hábitat haya o este ejecutando al cualmente o planee ejecutar.

SDOperaciones			
Radicado	Polígono	Competencia o no de Proyecto (Si sí aplica, Indicar No. de Proyecto. Si no aplica, poner N.A)	Si sí aplica, poner objetivo del proyecto
1-2022-52373	Vegas	NA	NA

Figura 15. Programación y Proyectos secretaria Distrital del Hábitat

Fuente: secretaria del Hábitat

2 Información sobre el estado de los servicios públicos domiciliarios

- ✓ No se evidencian redes o infraestructura de servicio de Gas Natural de la empresa Vanti S.A - E.S.P.
- ✓ No se presenta superposición con la infraestructura de redes de Media Tensión I de la empresa Enel- Codensa
- ✓ En relación con el servicio de Acueducto, se presenta superposición con áreas de prestación de servicios de acueducto comunitarios tal como se observa en la siguiente figura.

Es importante señalar que la información en formato *.shp de las empresas de servicios públicos, cuenta con restricciones de uso y confidencialidad, por lo que esta información solo es usada para consulta. Sin embargo, se envían algunas imágenes anexas de la consulta realizada a continuación:

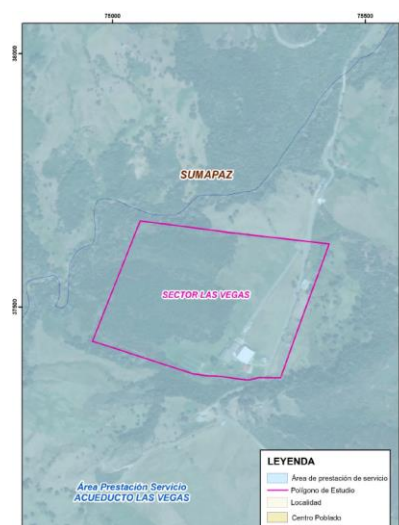


Figura 16. Prestación de Servicios Acueducto Las Vegas
Fuente: secretaria del Hábitat

Secretaría De Planeación

En atención a la solicitud realizada a la secretaria de Planeación, por medio del radicado 1-2022-156028, el área de estudio coincide con el nodo de equipamientos rurales Las Vegas, ubicado en la categoría de desarrollo restringido en suelo rural, subcategoría zonas para la localización de nodos de equipamiento rurales en la localidad del Distrito Capital de Bogotá. Este nodo de equipamiento se encuentra en el corredor de paramo Cruz verde- Sumapaz elemento de la estructura Ecológica Principal de Bogotá, en la siguiente imagen se muestra la ubicación del mismo y los equipamientos rurales presentes.



Figura 17. Ubicación de la zona para la localización de nodos de equipamiento rurales Las Vegas.
Fuente: SDP, Decreto Distrital 555 de 2021, BDGC

Así mismo, aclara mediante el artículo 464 las condiciones de edificabilidad y volumetría que deben tener los nodos de equipamientos rurales y los parámetros requeridos para subdividir predios con áreas mayores a una hectárea (1 ha), se deberá adelantar licencia de parcelación y cumplir con las obligaciones urbanísticas establecidas para la categoría de desarrollo restringido.

Tabla 5. Edificabilidad de las zonas para la localización de nodos de equipamientos y de equipamientos aislados rurales

Nodo de equipamientos	Divisiones Prediales mínimas	IO máximo	IC máximo	Altura máxi-ma	Frente mínimo (m)	Aislamiento Lateral mínimo	Aislamiento Posterior mínimo
Ánimas	500 m ²	0,29	1,3	2 pisos	10	No se exige	Igual o mayor a 3,0 m

Fuente: secretaria de Planeación

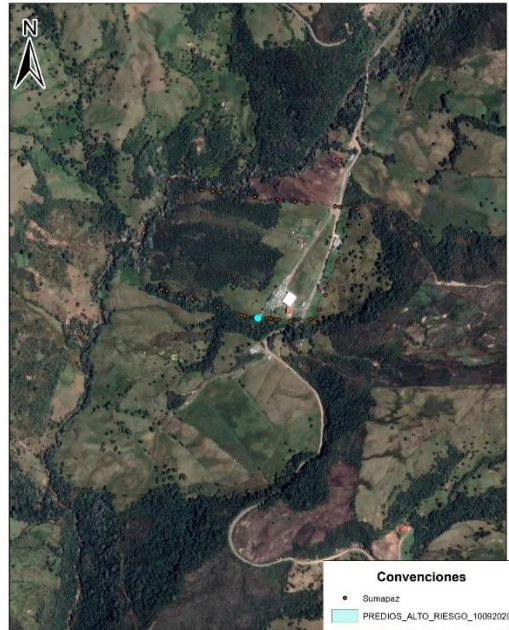
Tabla 6. Volumetrías para los nodos de equipamientos rurales y equipamientos aislados rurales

Altura	La altura máxima permitida es de dos (2) pisos; únicamente se permitirán alturas hasta cuatro (4) pisos en el nodo de equipamientos rurales "Antonio Nariño". En las nuevas edificaciones deben empatarse con el perfil de alturas existentes, con el fin de mantener una continuidad en fachada. La altura mínima del piso habitable es de 2,3 metros. Las edificaciones destinadas a usos dotacionales podrán manejar alturas libres entre pisos.
Antejardín	Se exige mínimo 5 m de antejardín a los predios con frente sobre vía.
Voladizos	Se permiten voladizos de 0,60 m. Aplica también sobre elementos del espacio público rural.
Sótanos	No se permiten.
Cubiertas	Las edificaciones ubicadas con frente a espacio público como andenes y zonas de circulación peatonal, deben contar con aleros en cubiertas, con el fin de brindar protección contra la lluvia a las personas transeúntes.

Fuente: secretaria de Planeación

Caja De La Vivienda Popular

En atención al radicado No 202317000008622, la entidad Caja De La Vivienda Popular se permite informar que, una vez revisado el sistema de información de la entidad, se identificaron los polígonos requeridos y se envía plano donde se identifican las viviendas presentes en el sector y los predios de alto riesgo.



Polígono Vegas

**Figura 18. Viviendas localizadas para el polígono las Vegas
Fuente. Caja De La Vivienda Popular**

6 GEOLOGÍA

6.1 GEOLOGÍA REGIONAL

El área estudiada se localiza al sur de Bogotá en la parte central de La Cordillera Oriental, se identificaron rocas sedimentarias de edad Paleógeno. En la definición del modelo geológico se utilizó como base la información geológica elaborada por INGEOMINAS para la cartografía de la plancha 265 Icononzo (1999) a escala 1:100.000, la cartografía realizada para la elaboración del mapa de remoción en masa del suelo rural de Bogotá, FOPAE-UNAL (2013), a escala 1:25.000 y los levantamientos realizados a lo largo de las visitas de campo, los cuales permitieron detallar las características encontradas dentro del nodo. Ver figuras anexadas en los numerales 6.11 y 6.12.

6.1.1 ESTRATIGRAFÍA

En el polígono Las Vegas en el subsuelo están presentes rocas sedimentarias de edad Paleógeno que hacen parte de la Formación Lodolitas de Fusagasugá, tal como es posible observarlo en la siguiente figura, a continuación, se describirá la unidad:

6.1.1.1 Lodolitas de Fusagasugá (Pglf)

La referencia original proviene Stutzer (1934) al utilizar el nombre de “piso de Fusagasugá” para referirse a una secuencia de lodolitas intercaladas con arenitas cuarzo feldespáticas aflorantes al occidente de la población de Fusagasugá, en el eje de la estructura sinclinal del mismo nombre.

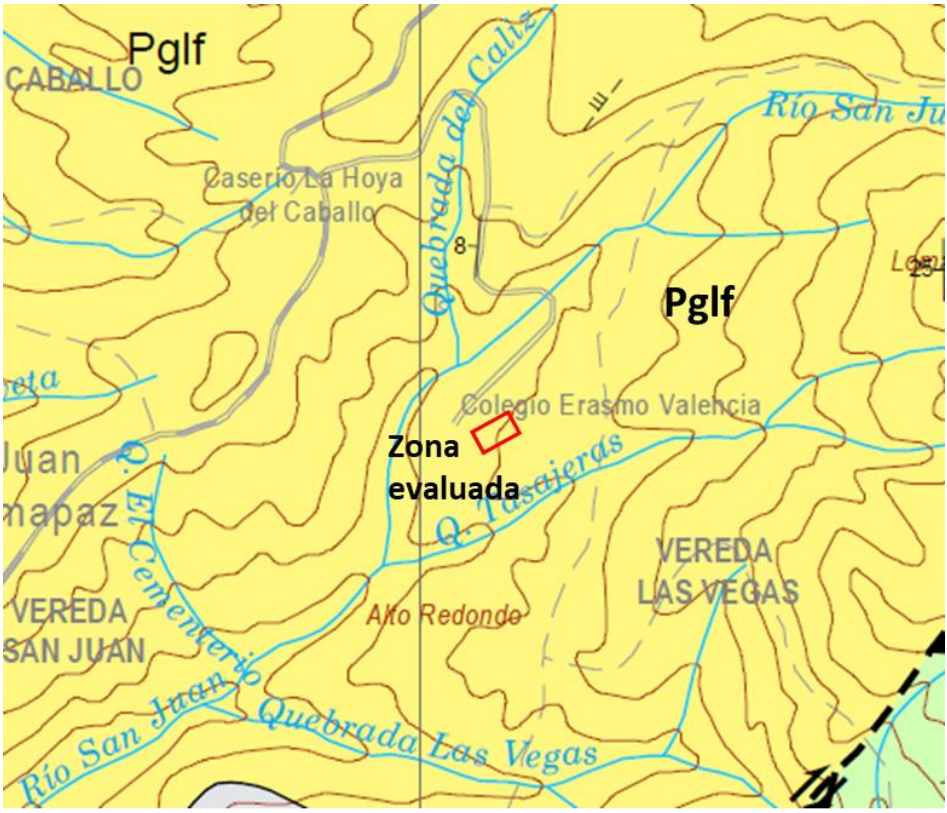
Aflora principalmente en los Sinclinales de Cabrera y San Juan, además de otros sinclinales menores, se extiende al norte formando el Sinclinal de Fusagasugá y hacia el sur occidente formando el Sinclinal de Prado.

La unidad Lodolitas de Fusagasugá está constituida principalmente por lodolitas con niveles de arenitas, en una relación de 3:1 aproximadamente. Para la descripción de la sección de Valencia se dividió la unidad en 3 segmentos. Los niveles blandos poco afloran y son predominantemente lodolitas de color pardo rojizo y gris, algunas veces con arenita muy fina con las cuales presenta contactos erosivos, claramente reconocibles por los valles suaves que generan que contrastan con los escarpes producidos por las arenitas.

Los niveles duros corresponden a arenitas líticas con tamaño de grano que varía entre arena fina a gruesa, predominantemente con mala selección y granos subredondeados a subangulares.

El contacto inferior es discordante con la Formación Guaduas (flanco oeste del Sinclinal de San Juan), la Formación Seca y la Formación La Tabla, mientras que el contacto superior en la Plancha se trata de discordancia infrayaciendo depósitos coluviales del Cuaternario.

Su edad ha sido estimada como Eoceno con base en muestras de polen, su ambiente de depositación es de ríos meandriformes.



Leyenda

- Pglf Fm Lodolitas de Fusagasugá

Figura 19. Mapa geológico regional modificado de la plancha 265 Ingeominas,1999.

6.1.2 UNIDADES GEOLOGICAS SUPERFICIALES

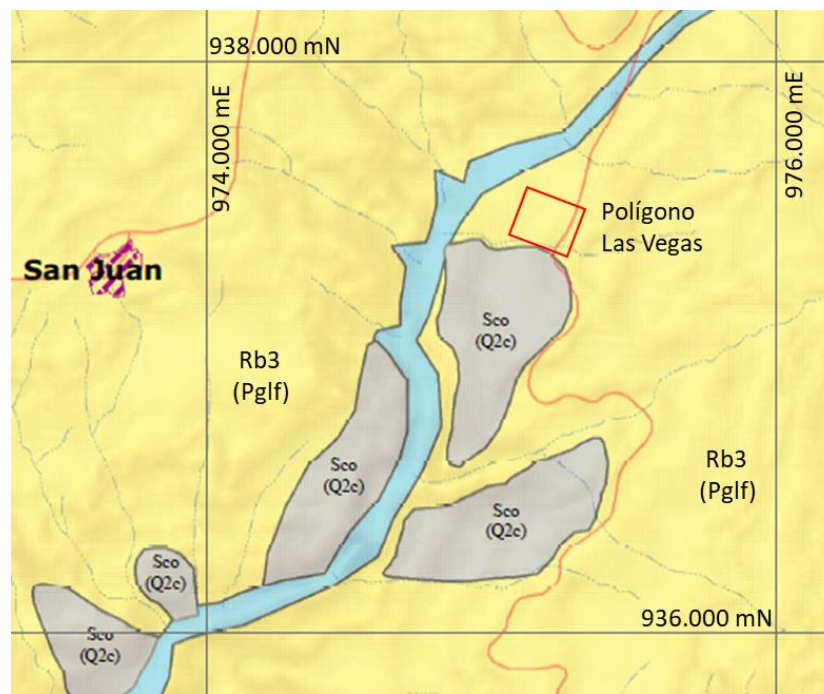
Las unidades geológicas superficiales se tomaron del estudio “Cartografía Geológica Aplicada a la Zonificación Geomecánica de la Sabana de Bogotá”, INGEOMINAS, 2004 y son concordantes con la simbología utilizada en el estudio “Elaboración del mapa de remoción en masa del suelo rural de Bogota” Fopae-Universidad Nacional. (2013), elaborado a escala 1:25.000.

Las unidades geológicas superficiales identificadas para el área de estudio se clasifican como unidad de roca, de acuerdo con sus características litológicas y geotécnicas corresponde a la roca de resistencia blanda (Rb3), tal como se evidencia en el mapa de unidades geológicas de superficie mostrado en la siguiente figura.

6.1.2.1 Roca blanda 3

Corresponde a una secuencia de lodolitas y limolitas, grises rojizas y blancas, intercaladas con arenitas líticas en capas gruesas. Esta unidad aflora cerca de la población de San Juan y hace parte del flanco oriental del sinclinal de San Juan.

Morfológicamente conforma laderas principalmente de naturaleza estructural con pendientes de moderadas a escarpadas; son rocas de resistencia blanda y poco fracturada.



Legenda

Pglf	Fm Lodolitas de Fusagasugá - (Rb3) Roca Blanda 3
Q2c	Depósito Coluvial - (Sco) Depósito de ladera

Figura 20. Mapa de unidades geológicas de superficie, modificado de FOPAE-UNAL 2013.

6.2 GEOLOGÍA ESTRUCTURAL

Esta zona se encuentra ubicada al occidente de la Falla de Tasajeras, corresponde a una zona con rocas sedimentarias plegadas y falladas del Paleógeno, las cuales hacen parte del flanco oriental del Sinclinal de San Juan.

En el polígono evaluado las rocas sedimentarias de la Formación Lodolitas de Fusagasugá presentan un rumbo N 10°E y buzan aproximadamente 10° hacia el NW.

A partir de las imágenes satelitales no se observan fallas ni lineamientos estructurales que afecten los materiales identificados en el área de estudio. En superficie predomina un suelo residual, no se observan afloramientos de las rocas sedimentarias.

A continuación, es posible observar la ubicación del área de estudio con respecto a la falla tasajera y el sinclinal del San Juan, en la figura se referencia el mapa de geología a escala 1:100.000 correspondiente a de la plancha 265 de Ingeominas.

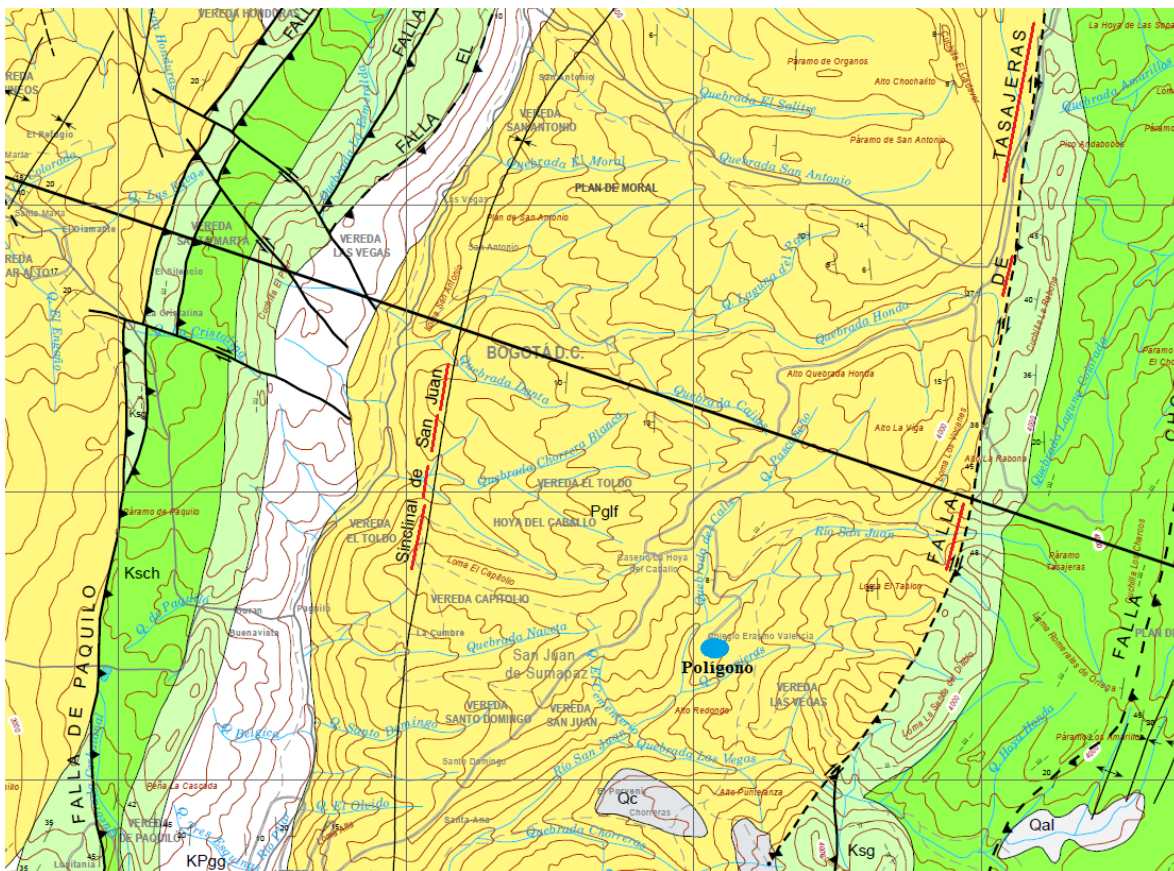


Figura 21. Geología estructural Vegas, modificado de la plancha 265 Ingeominas,1999.

6.3 GEOLOGIA LOCAL

Para la geología local se definieron unidades geológicas para ingeniería UGI, siguiendo las recomendaciones de la publicación “Guía metodológica para estudios de amenaza, vulnerabilidad y riesgo por movimientos en masa” SGC, (2016). Los materiales presentes se clasificaron en UGI de Suelo y de Roca.

El material clasificado como suelo se dividió según su origen en suelo residual. La unidad de roca, de acuerdo con sus características litológicas y de resistencia, se clasificó en la siguiente unidad: Roca de resistencia blanda (Rb). La unidad de roca no se registró en el subsuelo en los sondeos exploratorios, la información regional indica que se encuentra infrayaciendo a la unidad de suelo presente en el polígono.

Las unidades geológicas para ingeniería presentes corresponden:

6.3.1 Roca Blanda (Rb)

Corresponde a una secuencia de lodolitas y limolitas, grises rojizas y blancas, intercaladas con arenitas líticas en capas gruesas, esta unidad se encuentra en el subsuelo del área de estudio, y hace parte del flanco oriental del sinclinal de San Juan.

En el polígono Las Vegas no se registró la presencia de la roca blanda en las perforaciones exploratorias realizadas, la información geológica indica que la unidad está presente en el subsuelo infrayaciendo el suelo residual. En la siguiente figura se muestra la distribución de las Unidades Geológicas para Ingeniería del polígono.

La UGI conocida como roca blanda (Rb), se denomina así, ya que dentro de la exploración geotécnica no fue posible caracterizar a que roca se asocia.

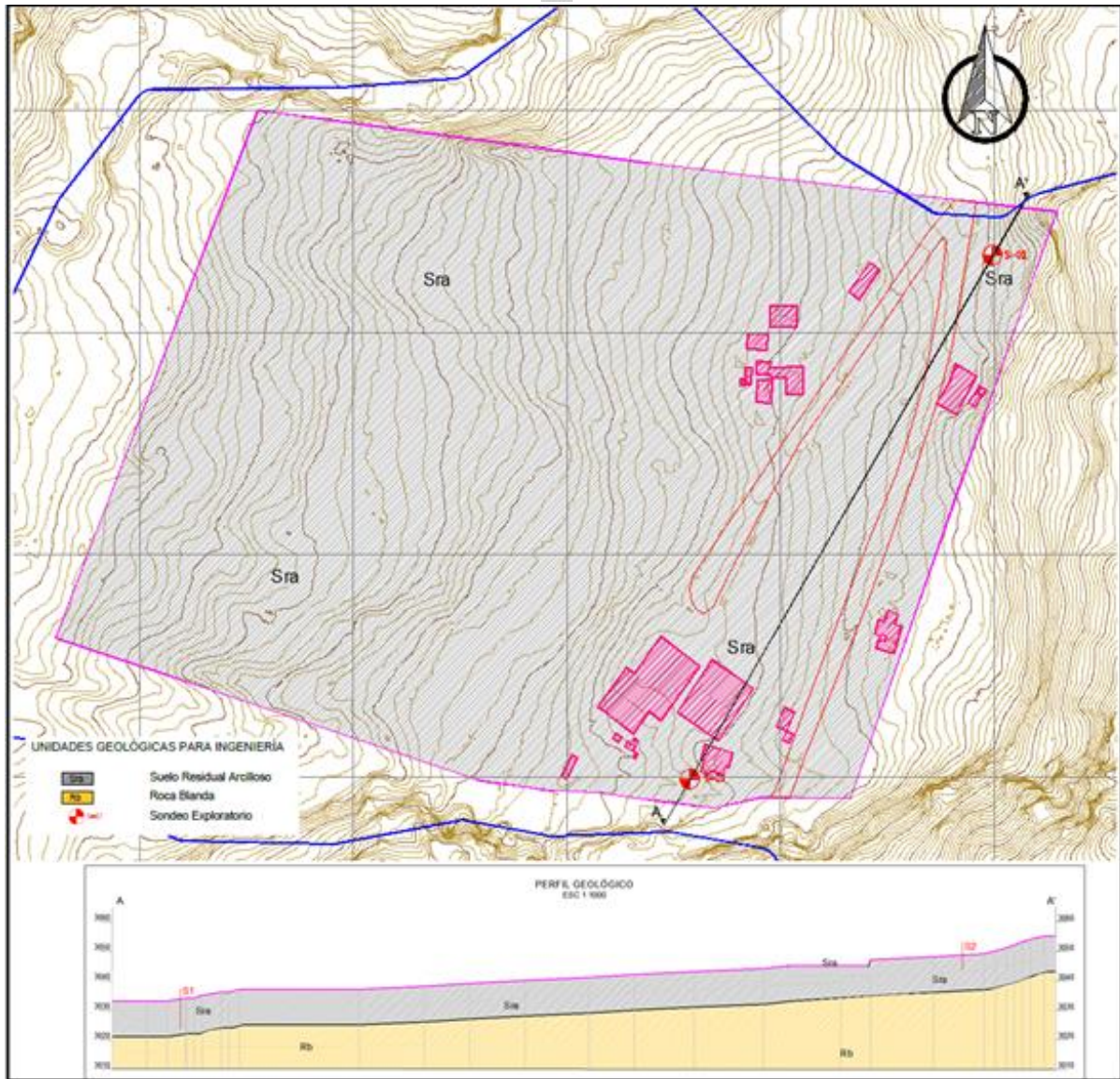


Figura 22 Unidades geológicas para ingeniería del polígono Las Vegas. Escala 1:5.000

En la figura anterior, es posible observar un gráfico de la geología local encontrada, el plano es posible encontrarlo en la carpeta de planos del presente nodo.

6.3.2 Suelo residual arcilloso (Sra).

Unidad generada por la meteorización de la unidad roca blanda, está integrada por arcilla orgánica con raíces, limo arcilloso marrón con arena fina intercalada, arcilla limosa de color marrón con arena fina intercalada, con vetas de color café claro, de consistencia media.

Esta unidad se reconoció mediante los sondeos exploratorios y en los apiques realizados, en los registros exploratorios su espesor alcanzó más de 10 m en el sondeo exploratorio S1, en el sondeo exploratorio S2 no se logró establecer el espesor del suelo residual debido a la poca profundidad perforada, sin embargo, se estima un espesor entre 10 y 15 m.

La siguiente fotografía permite conocer las características que presenta el polígono de estudio.



Figura 23. Características encontradas en el polígono Las Vegas.
Fuente: Geodinámica

7 GEOMORFOLOGÍA

Para la caracterización y representación de Los elementos geomorfológicos se utilizó la “Propuesta metodológica sistemática para la generación de mapas geomorfológicos analíticos aplicados a la zonificación de amenaza por movimientos en masa” SGC (2012).

En el área de estudio se reconocen geoformas de ambiente glacial que conforman laderas de relieve suave a ondulado. El elemento geomorfológico reconocido se muestra en la siguiente figura y se describen a continuación:

7.1 ELEMENTOS DE ORIGEN GLACIAR

Elemento originado por procesos relacionados con la erosión intensa que ocasiona movimiento en las masas de hielo en zonas de alta montaña durante épocas glaciales o en la actualidad. Estos eventos modelaron el sustrato rocoso preexistente, generando así grandes cantidades de sedimentos que posteriormente fueron transportados o acumulados en las laderas adyacentes. El elemento originado en este ambiente se describe a continuación:

7.1.1 Ladera ondulada glacial (Glo)

Ladera con relieve muy bajo, suavemente inclinada, con pendientes entre 4° y 9°; moderadamente larga, de forma convexa, presenta un patrón de drenaje sub-dendrítico, forma parte de un amplio valle en forma de “U” generado por actividad glacial de montaña; el valle glacial fue modificado posteriormente por procesos denudativos.

Este elemento fue modelado por el avance de masas de hielo que modificaron la superficie original generando laderas continuas con una pendiente suave, posteriormente los procesos denudativos conformaron una red de drenaje que modificó el elemento geomorfológico original.

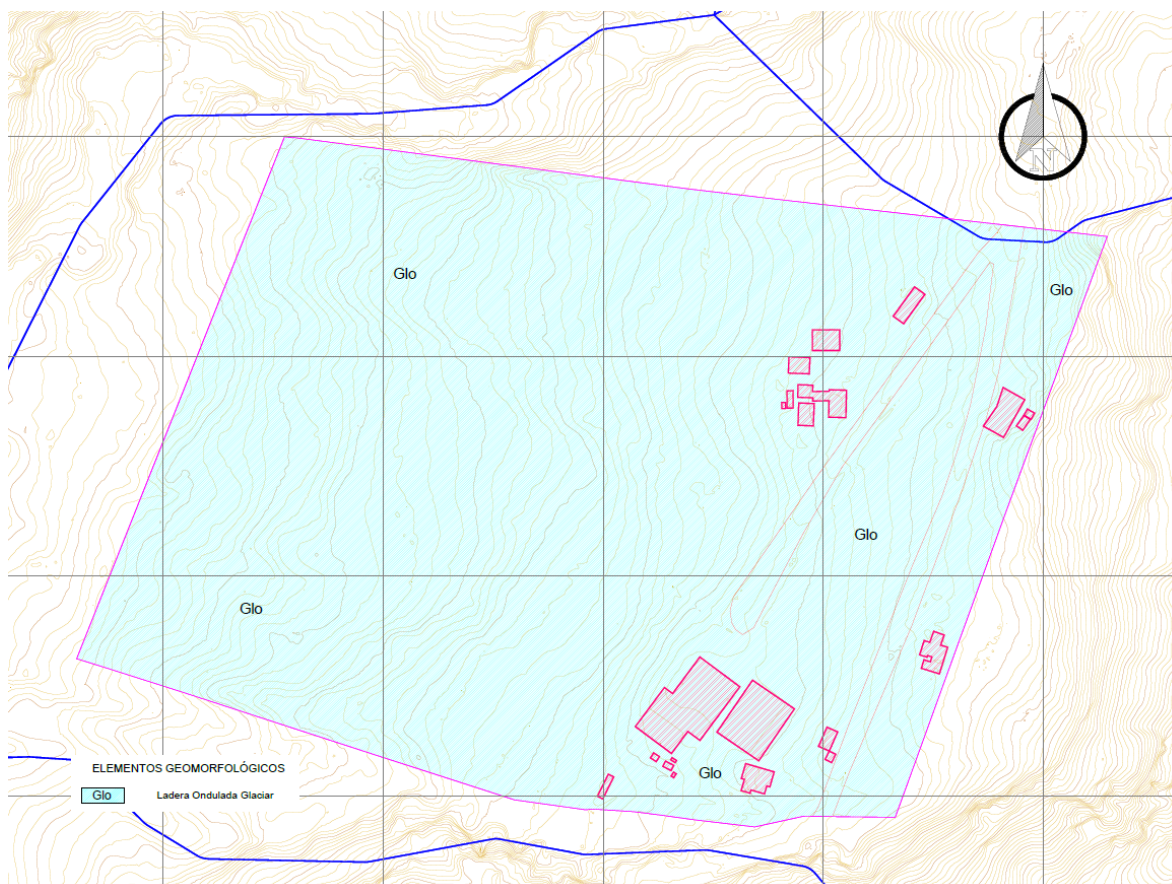


Figura 24. Geomorfología del polígono Las Vegas. Escala 1:5.000

En la figura anterior, es posible observar un gráfico de la geomorfología encontrada, el plano es posible encontrarlo en la carpeta de planos del presente nodo.

7.2 ELEMENTOS GEOMORFOLOGICOS:

Realizando el cruce de la geomorfología y las pendientes del nodo Vegas es posible encontrar en cada elemento geomorfológico, los siguientes rangos de pendientes:

Tabla 7 Descripción pendientes Elementos geomorfológicos Vegas

CUADRO DE ÁREAS-NODO VEGAS			
ELEMENTO	PENDIENTE	ÁREA Ha	PORCENTAJE %
Glo	Inclinado	5.07	48.64
	Moderadamente Abrupto	4.16	39.86
	Abrupto	1.20	11.48
TOTAL		10.43	100

En la tabla mostrada anteriormente, es posible observar los elementos geomorfológicos encontrados dentro del polígono, en el ANEXO Geomorf vs Pendientes-Vegas (PLANOS VEGAS), se observa el plano del cruce realizado, y las geoformas más representativas encontradas para este nodo.

8 PROCESOS MORFODINAMICOS

Fuera del polígono en la colina encontrada aproximadamente a 40 m de la vía se presenta un proceso de remoción en masa, zona por donde pasa una tubería de agua, según información brindada por la comunidad.



Figura 25. Proceso morfodinámico cerca al polígono Las Vegas.
Fuente: Geodinámica

El proceso morfodinámico se encuentra fuera del área de estudio, pero es importante tener en cuenta que, al presentarse un movimiento masivo de material este afectaría la zona oriental, teniendo en cuenta que el movimiento esta aproximadamente a 40 m de la vía, por lo cual las masas de material se depositarían dentro polígono estudiado.

En el sitio del polígono se presenta erosión leve a severa manifestada como erosión en surcos y erosión laminar en algunos sectores desprovistos de vegetación como en una de las vías de acceso a algunas viviendas en la parte Sur del polígono, la poca extensión que presentan estos procesos hace que no sean cartografiables en una escala 1:5.000, adicionalmente, dentro del polígono se encuentran escorrentías superficiales identificada como una zanja manual realizada por la comunidad y un canal en concreto que pasa por la zona sur del nodo de estudio, lo cual por ser focalizados no cumplen criterios de escala 1:5.000. Dentro del polígono no se encuentra localización de trazas de fallas activas e inactivas.

9 SISMOLOGÍA

A partir de la información suministrada por el IDIGER en el estudio de “Elaboración Del Mapa De Remoción En Masa Del Suelo Rural De Bogotá D.C., Para Su Incorporación Al Plan De Ordenamiento Territorial POT, A Escala 1:25000” del año 2013 (Nacional, 2013), se concluye un coeficiente de aceleración A_0 de 0.24 para una tasa de retorno (TR) de 475 años. En la siguiente figura, es posible verificar el coeficiente analizado para el polígono.

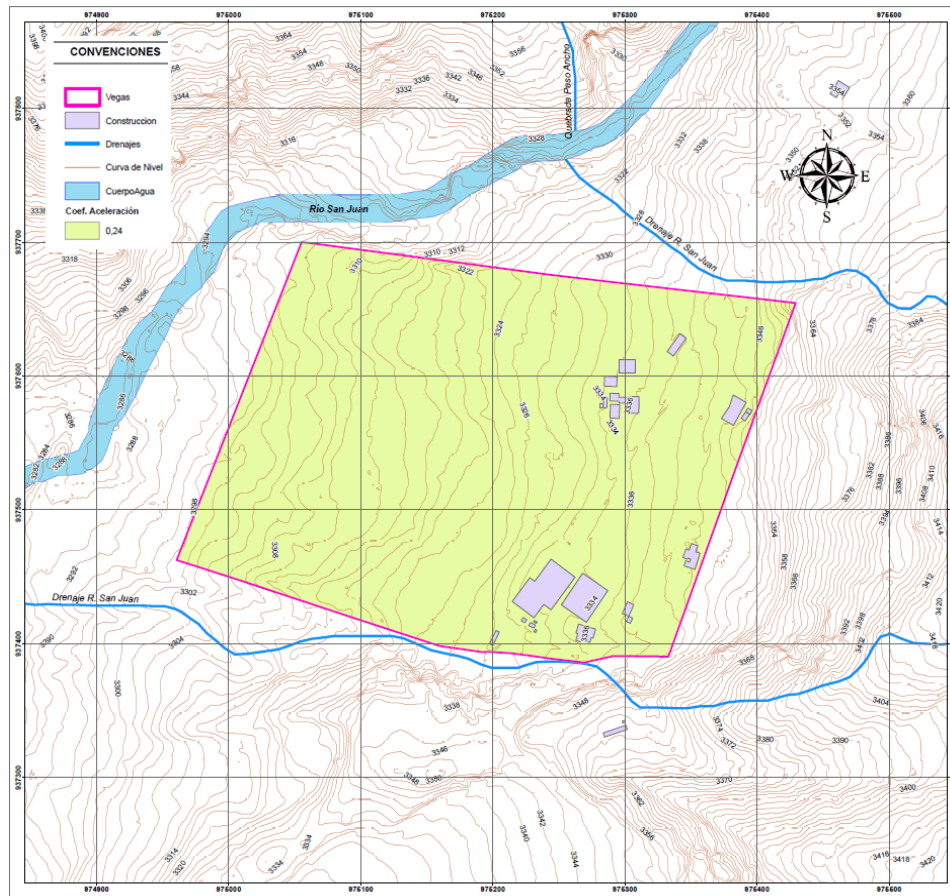


Figura 26. Sismología del polígono Vegas. Escala Base cartográfica 1:5.000, escala de presentación de plano 1:1.000

Fuente: Adaptado por Geodinámica, Según datos proporcionados por el IDIGER

10 COBERTURA Y USOS DEL SUELO

La cobertura vegetal puede ser definida como la capa de vegetación que cubre la superficie terrestre, comprendiendo una amplia gama de biomásas con diferentes características fisionómicas y ambientales que van desde herbazales hasta las áreas cubiertas por bosques naturales; incluye las coberturas vegetales inducidas por la acción humana como las áreas de cultivos o pastos para ganadería.

Para la clasificación de las distintas coberturas vegetales, este estudio utilizó como herramienta la Leyenda Nacional de Coberturas de Tierras - Metodología CORINE Land Cover adaptada para Colombia, del IDEAM (2010), adoptada para la homogenización de las coberturas para Colombia y la elaboración de mapas a escala 1:100.000. Teniendo en cuenta que los términos de referencia establecen que los mapas se deben presentar a escala 1:5.000, donde se evidencie el área del proyecto y su impacto real en las diferentes capas de vegetación y el uso de suelo que se da en éstas; se toma como referencia la leyenda, puntualizando en ciertas categorías el uso real observado en campo y contrastado con la interpretación de fotografías aéreas, tomadas de BaseMap de Arcgis y adaptadas para la aplicación en el desarrollo del análisis de coberturas y uso del suelo.

10.1 COBERTURA DE LA TIERRA.

Para la determinación de la cobertura y usos de la tierra se hizo uso de los criterios de la metodología Corine Land Cover (Coordination of Information on the Environmental por su sigla en inglés) la cual fue concebida en la década de los 90 en Europa debido al auge de las herramientas de teledetección satelital, permitiendo modelar con alta exactitud las diversas coberturas terrestres. Para Colombia, Corine Land Cover (adaptada Colombia 2010) inició con el programa de apoyo y la colaboración prestada por el Fondo Francés para el Medio Ambiente (FFEM), la Embajada de Francia en Colombia, el Instituto Geográfico Nacional de Francia (ING) y ONF Andina Colombia (IDEAM, 2010); con el propósito de tener métodos que permitieron consolidar cifras, análisis, esquemas, y desarrollar un sistema único de clasificación de coberturas para poder tener elementos de planificación comunes entre las diferentes regiones del país; es decir, hablar un "mismo idioma" a nivel nacional.

En el 2008 y producto de la cooperación interinstitucional entre el Instituto de Hidrología, Meteorología y Estudios Ambientales de Colombia - IDEAM, Parques Nacionales Naturales, Instituto Geográfico Agustín Codazzi - IGAC, Instituto de Investigaciones Amazónicas SINCHI y el Instituto de Investigación de Recursos Biológicos Alexander Von Humboldt, se

publicó la leyenda Nacional de Coberturas de la Tierra, Metodología Corine Land Cover adaptada para Colombia a Escala 1:100.000. (Humboldt, 2014)

Luego de las experiencias tenidas con la primera aproximación o leyenda (IGAC, 2002) el IDEAM presentó en junio de 2010 la segunda aproximación de la leyenda nacional para la escala 1:100000, la cual sirve de guía para el desarrollo de la aplicación a escala 1:25.000 e igualmente se tomaron experiencias de soporte los trabajos realizados por el IGAC en el levantamiento de los trabajos de cobertura en los departamentos de Antioquia (1:100.000), Quindío (1:25.000) los municipios de Fusagasugá y Jericó (1:25.000) entre otros.

Una particularidad importante de la metodología CLC es el uso de una leyenda jerárquica, basada en clases de cobertura y discriminadas principalmente por atributos físicos y fisionómicos (Nunes de Lima, 2005; Perdigo and Annoni, 1997), organizada en niveles, que permiten agregar datos a nivel nacional o, desagregarlos, para trabajar a nivel departamental o municipal. Lo anterior justifica el hecho de que la leyenda está fuertemente relacionada con los procesos de interpretación de imágenes, la escala de publicación y el área mínima de mapeo (Perdigao and Annoni, 1997).

En el desarrollo del presente proyecto, se utilizó la metodología CLC adaptada para Colombia, respetando sus conceptos y la secuencia operativa. Sin embargo, considerando que la metodología debe adecuarse consistentemente a las particularidades físico-naturales y biodiversidad del área de estudio, ella fue adoptada y ajustada para dar cumplimiento a los requerimientos del Anexo técnico de escala de 1:5.000.

La metodología utilizada para el trabajo de interpretación comenzó con la revisión de la información base, que consiste en verificar el cumplimiento de las características de las imágenes para llevar a cabo el proceso de interpretación: resolución espacial y espectral adecuadas para la interpretación de coberturas; sistema de referencia acorde con el sistema de proyección cartográfica y ortorrectificación para la producción de información.

Para el proceso de interpretación propiamente dicho se utilizó la interpretación visual en pantalla de las imágenes (técnica conocida como PIAO) mediante la utilización de un programa SIG (para el caso ArcGis 10x). Esta consiste en cargar la capa o feature de la GDB donde se piensa delinear o restituir² la Cobertura de la Tierra, junto con la imagen. No deberá

² Restitución fotogramétrica: consiste en la vectorización de la información capturada con la digitalización de una orto fotografía.

haber discrepancias entre los sistemas de coordenadas, ya que no permitiría una vectorización conforme.

La base de datos se conformó de acuerdo con los parámetros establecidos para la misma por la metodología Corine Land Cover y los códigos asignados a las coberturas encontradas corresponderán a la nomenclatura consignada en la leyenda oficial publicada por el IDEAM en el año 2010, la cual se complementó teniendo en cuenta que la leyenda nacional está planteada para escala 1:100.000, por lo que en algunos casos se aumentó el nivel de detalle de la cobertura encontrada, para adaptarla a la escala de trabajo.

Es así como para la elaboración del mapa de coberturas se llevaron a cabo las siguientes actividades:

- Selección y revisión del insumo para la interpretación.
- Creación el respectivo archivo gráfico, que para este caso será el MXD con el programa ArcGIS 10.x, verificando el marco de referencia de trabajo para el estudio.
- Así mismo, se cargó la capa o feature de la GDB donde se delineó o vectorizó la Cobertura de la Tierra, junto con la imagen.

Las coberturas de la tierra para el proyecto, se clasificaron de acuerdo a la metodología CORINE Land cover adaptada para Colombia, con esta clasificación se obtuvieron coberturas diferentes las cuales se presentan a continuación:

Tabla 8 Coberturas de la tierra nodo Vegas

Vegas	112	Tejido urbano Discontinuo	0,09
	1221	Red Vial y Territorios asociados	0,44
	1421	Áreas Culturales	0,74
	231	Pastos Limpios	3,62
	232	Pastos Arbolados	0,09
	233	Pastos Enmalezados	0,72
	3222	Arbustal Abierto	4,62
	3232	Vegetación Secundaria baja	0,11

Fuente: Geodinámica, 2023

- Tejido Urbano Discontinuo (1.1.2): Son espacios formados por edificaciones y zonas verdes. Las edificaciones, vías e infraestructura construida cubren artificialmente la superficie del terreno de manera dispersa y discontinua, ya que el resto del área está cubierto por vegetación. Esta unidad puede presentar dificultad para su delimitación cuando otras coberturas se mezclan con áreas clasificadas como zonas urbanas.

- Red Vial, Ferroviarias y Terrenos Asociados (1.2.2.1): Son espacios artificializados con infraestructuras de comunicaciones como carreteras, autopistas y vías férreas; se incluye la infraestructura conexas y las instalaciones asociadas tales como estaciones de servicios, andenes, terraplenes y áreas verdes.
- Áreas culturales (1.4.2.1): Terrenos dedicados a las Instalaciones de servicios públicos (escuelas, hospitales), con su infraestructura de áreas asfaltadas y verdes.
- Pastos Limpios (2.3.1): Esta cobertura comprende las tierras ocupadas por pastos limpios con un porcentaje de cubrimiento mayor al 70%; la realización de prácticas de manejo (limpieza, enclavamiento y/o fertilización, etc.) y el nivel tecnológico utilizados impiden la presencia o el desarrollo de otras coberturas.
- Pastos Arbolados (2.3.2): Cobertura que incluye las tierras cubiertas con pastos en los cuales se han estructurado potreros con presencia de árboles de altura superior a 5 metros, distribuidos en forma dispersa. La cobertura de árboles debe ser mayor al 30% y menor al 50% del área de pastos arbolados.
- Pastos Enmalezados o Enrastrados (2.3.3): Son las coberturas presentadas por tierras con pastos y malezas conformando asociaciones de rastrojos, debido principalmente a la realización de escasas prácticas de manejo o la ocurrencia de procesos de abandono. En general, la altura del rastrojo es menor a 1,5 metros.
- Arbustal abierto (3.2.2.2): Cobertura constituida por una comunidad vegetal dominada por elementos arbustivos regularmente distribuidos, los cuales forman un estrato de copas (dosel) discontinuo, y cuya cubierta representa entre el 30% y el 70% del área total de la unidad. Estas formaciones vegetales no han sido intervenidas o su intervención ha sido selectiva y no ha alterado su estructura original y las características funcionales.
- Vegetación Secundaria baja (3.2.3.2): Son aquellas áreas cubiertas por vegetación principalmente arbustiva y herbácea con dosel irregular y presencia ocasional de árboles y enredaderas, que corresponde a los estadios iniciales de la sucesión vegetal después de presentarse un proceso de deforestación de los bosques o aforestación de los pastizales. Se desarrolla posterior a la intervención original. Generalmente están conformadas por comunidades de arbustos y herbáceas formadas por muchas especies

Las coberturas de la tierra para el proyecto, se clasificaron de acuerdo a la metodología CORINE Land cover adaptada para Colombia, con esta clasificación se obtuvieron coberturas diferentes las cuales se presentan a continuación.

El nodo Vegas, presenta una dominancia de la cobertura de Arbustal abierto, el cual ocupa el 44,4% y los pastos limpios que ocupan 34,8% del área total, también se ubica dentro del polígono la infraestructura de una institución educativa “Colegio Erasmo Valencia” y unas



ALCALDÍA MAYOR
DE BOGOTÁ D.C.
AMBIENTE
Instituto Distrital de Gestión de Riesgos
y Cambio Climático

ELABORACIÓN DE ESTUDIOS BÁSICOS DE
ZONIFICACIÓN DE AMENAZA POR MOVIMIENTOS EN
MASA, A ESCALA 1:5.000 ACORDE CON LOS
REQUISITOS DEL DECRETO 1077 DE 2015, PARA 8
NODOS DE EQUIPAMIENTOS RURALES DE LA
LOCALIDAD DE SUMAPAZ
CONTRATO No 278 DE 2022



viviendas dispersas, las cuales ocupan un 7.96%. La tabla anterior y la siguiente figura, permiten identificar las coberturas clasificadas.

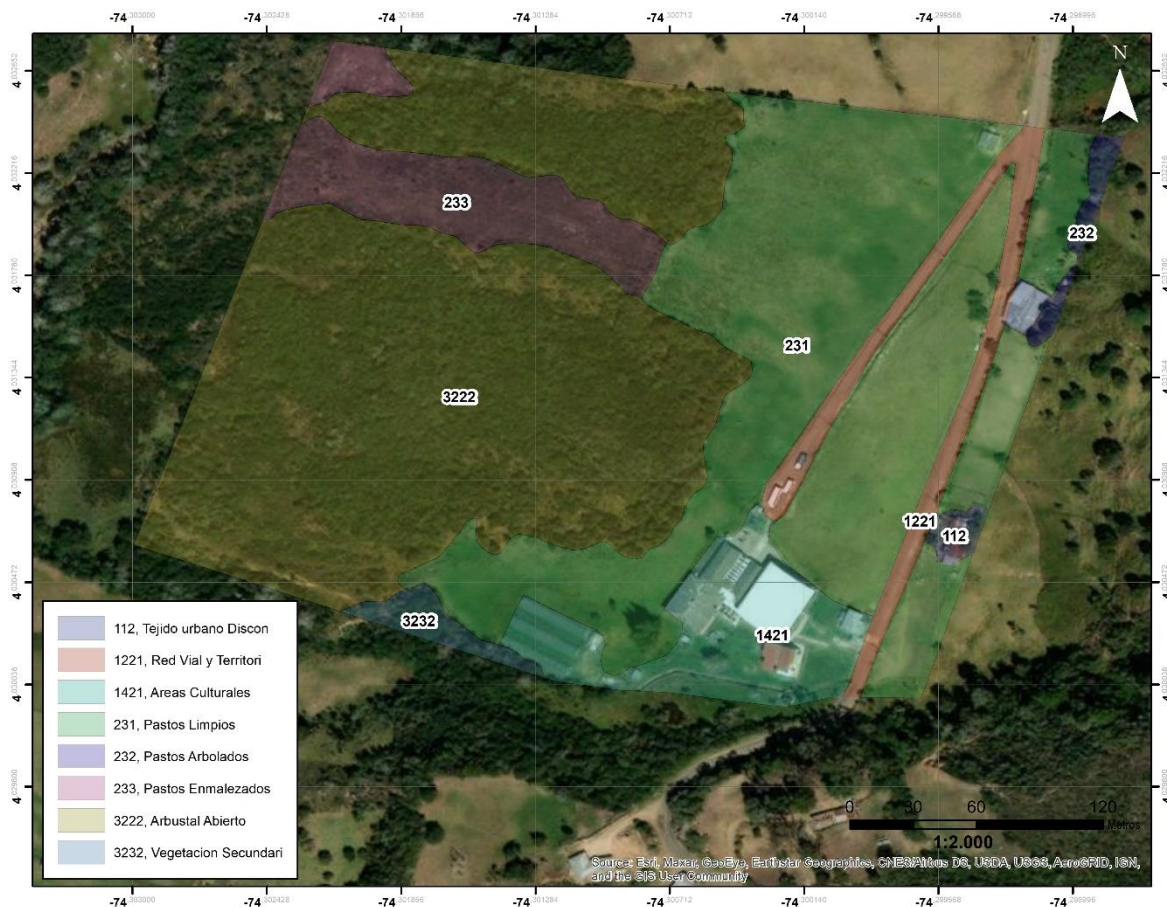
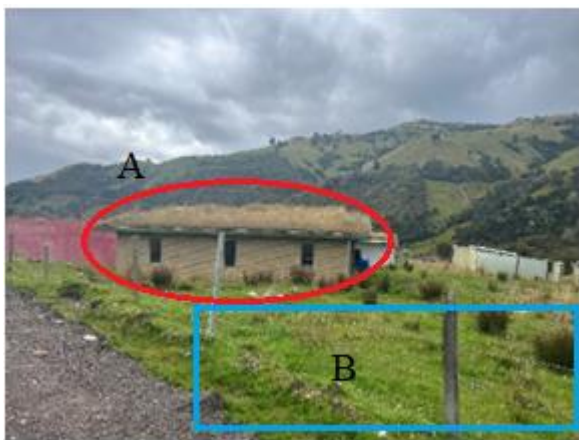


Figura 27. Coberturas Nodo Vegas



Fotografía 2. Fondo vivienda rural dispersa (A), adelante pastos limpios (B).

Fuente: Geodinámica, 2023



Fotografía 3. Pastos enmalezados.

Fuente: Geodinámica, 2023



Fotografía 4. Atrás arbustal abierto (A), adelante pastos enmalezados y pastos limpios (B).

Fuente: Geodinámica, 2023



Fotografía 5. Infraestructura de Institución educativa (Áreas culturales).

Fuente: Geodinámica, 2023



Fotografía 6. Vegetación secundaria baja.

Fuente: Geodinámica, 2023



Fotografía 7. Red vial.

Fuente: Geodinámica, 2023

10.2 USO ACTUAL DEL SUELO:

El uso actual corresponde a los tipos de ocupación o utilización que de una cobertura hace el hombre, apuntando a la producción de bienes y servicios para la sociedad. Es así que, de acuerdo a las coberturas identificadas, se reconocen y clasifican los usos, entre los que se tienen los pecuarios, de infraestructura y de conservación. Así mismo estos usos se reclasifican en sub usos entre los cuales se tienen vía, vivienda dispersa, pasturas manejadas, dotacional y recuperación.

El uso pecuario tiene un tipo de uso de pasturas manejadas, las cuales refieren a especies de semillas introducidas de pastos que no siempre son nativos.

En el uso de infraestructura, se identificaron varios tipos de uso como el uso vía que se asocia a las estructuras relacionadas al desplazamiento de personas y/o vehículos; las viviendas dispersas, que son las casas de la comunidad asentada en cada nodo; en cuanto al tipo de uso dotacional se relaciona a la infraestructura dedicada a la prestación de servicios a la comunidad, en el caso específico de los nodos objeto de este estudio, se refiere a las escuelas y colegios.

También se identificó el uso de conservación, entre los cuales se detectaron usos de recuperación, que se refiere al uso donde se evidencia una alteración de las condiciones primarias de la vegetación, haciendo necesario que se propenda por salvaguardar las condiciones actuales y propender por su estabilización.

El Nodo Vegas, presenta una alta dominancia de un uso de recuperación en el sector occidental (ver figura anterior), debido a la ubicación de la institución educativa el área presenta un uso dotacional rodeado de pasturas manejadas y la presencia de la vía que comunica el sector.

Tabla 9. Uso del suelo Nodo Vegas

Uso Actual	Tipo de Uso	Área (ha)
Conservación	Recuperación	5,45
	Dotacional	0,74
Infraestructura	Vía	0,44
	Vivienda dispersa	0,09
	Pasturas manejadas	3,71
Pecuario		

A continuación, es posible observar el tipo de uso del suelo del nodo Vegas.

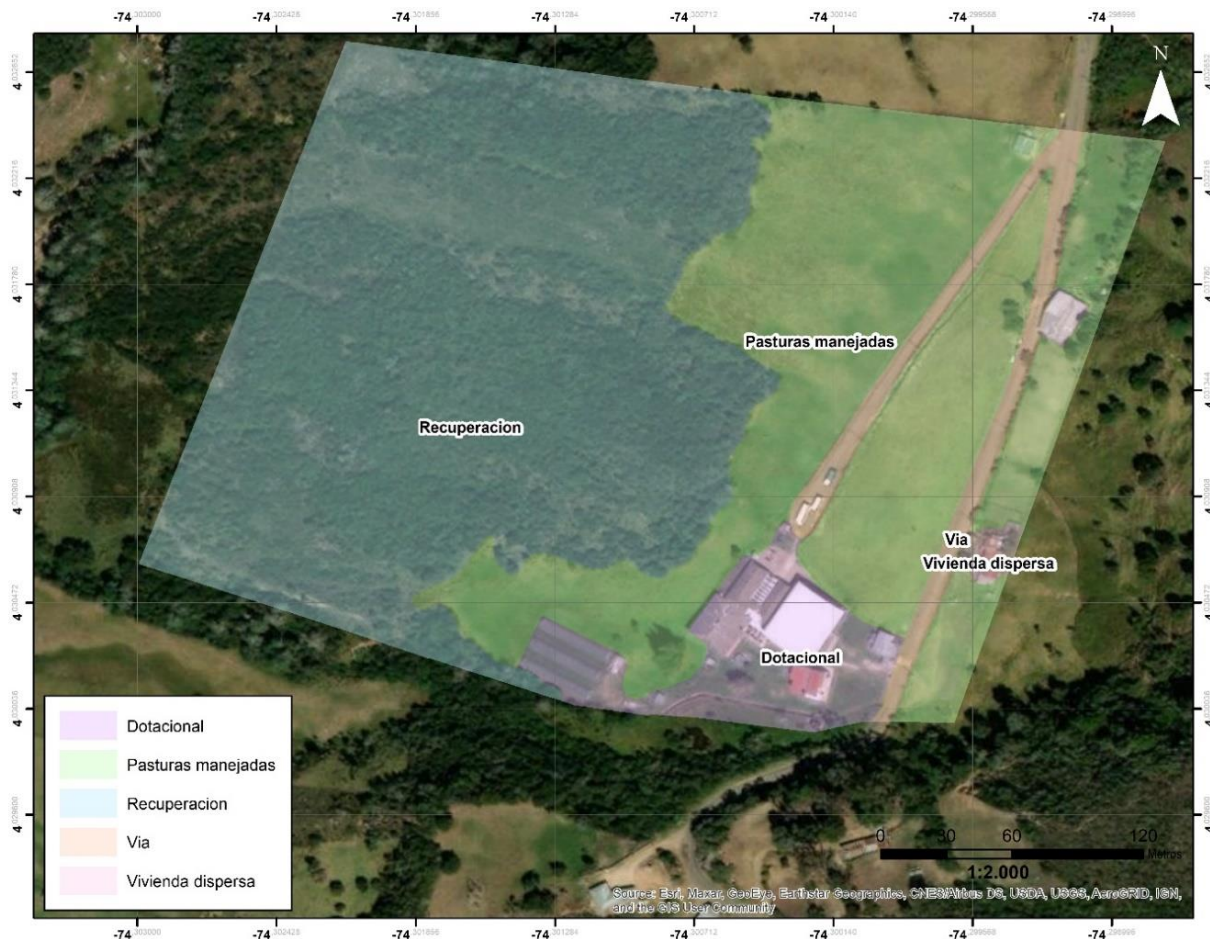




Figura 28. Tipo de uso del suelo nodo Vegas

Para observar el plano de uso actual del suelo y el tipo de uso, teniendo en cuenta lo mencionado en la tabla anterior ver anexo Uso Suelo-Vegas (PLANOS VEGAS).

Teniendo en cuenta la Guía Metodológica del Servicio Geológico Colombiano para estudios de escalas 1:5000, las unidades de cobertura y uso del suelo deben ser tenidas en cuenta e integradas en los análisis de las condiciones de estabilidad actual y futura.

10.3 RECOMENDACIÓN PARA COBERTURAS Y USOS FUTUROS DEL SUELO:

Se recomienda que los cambios de las coberturas y los usos del suelo generados por acciones antrópicas, deben realizarse de manera controlada, considerando que, al realizar talas no

 <p>ALCALDÍA MAYOR DE BOGOTÁ D.C. AMBIENTE Instituto Distrital de Gestión de Riesgos y Cambio Climático</p>	<p>ELABORACIÓN DE ESTUDIOS BÁSICOS DE ZONIFICACIÓN DE AMENAZA POR MOVIMIENTOS EN MASA, A ESCALA 1:5.000 ACORDE CON LOS REQUISITOS DEL DECRETO 1077 DE 2015, PARA 8 NODOS DE EQUIPAMIENTOS RURALES DE LA LOCALIDAD DE SUMAPAZ CONTRATO No 278 DE 2022</p>	
--	---	---

controladas, deforestación u otros cambios en los suelos, se generan cambios en las propiedades analizadas para la amenaza del estudio, es importante tener en cuenta que se deberá cumplir con la normatividad vigente (NSR-10) para el caso de construcción de edificaciones de equipamientos; se deberá prestar especial atención a los taludes generados y se deberá verificar si requieren análisis de Amenaza detallados.

11 HIDROLOGÍA Y EVALUACIÓN DEL DRENAJE SUPERFICIAL

11.1 INFORMACIÓN PLUVIOMÉTRICA

En el IDEAM (Instituto de Hidrología, Meteorología y Estudios Ambientales), se recopilaron los datos de precipitación y de los principales parámetros pluviométricos de la estación representativa del sitio en estudio, la cual se presentan en la siguiente tabla.

Tabla 10. Estaciones empleadas Nodo 1 – Vegas

Entidad	Código	Tipo	Nombre	Municipio	Latitud	Longitud	Elevación msnm
IDEAM	2119027	PG	San Juan	Bogotá D.C	4.03	-74.31	2900

Fuente: Elaboración Propia

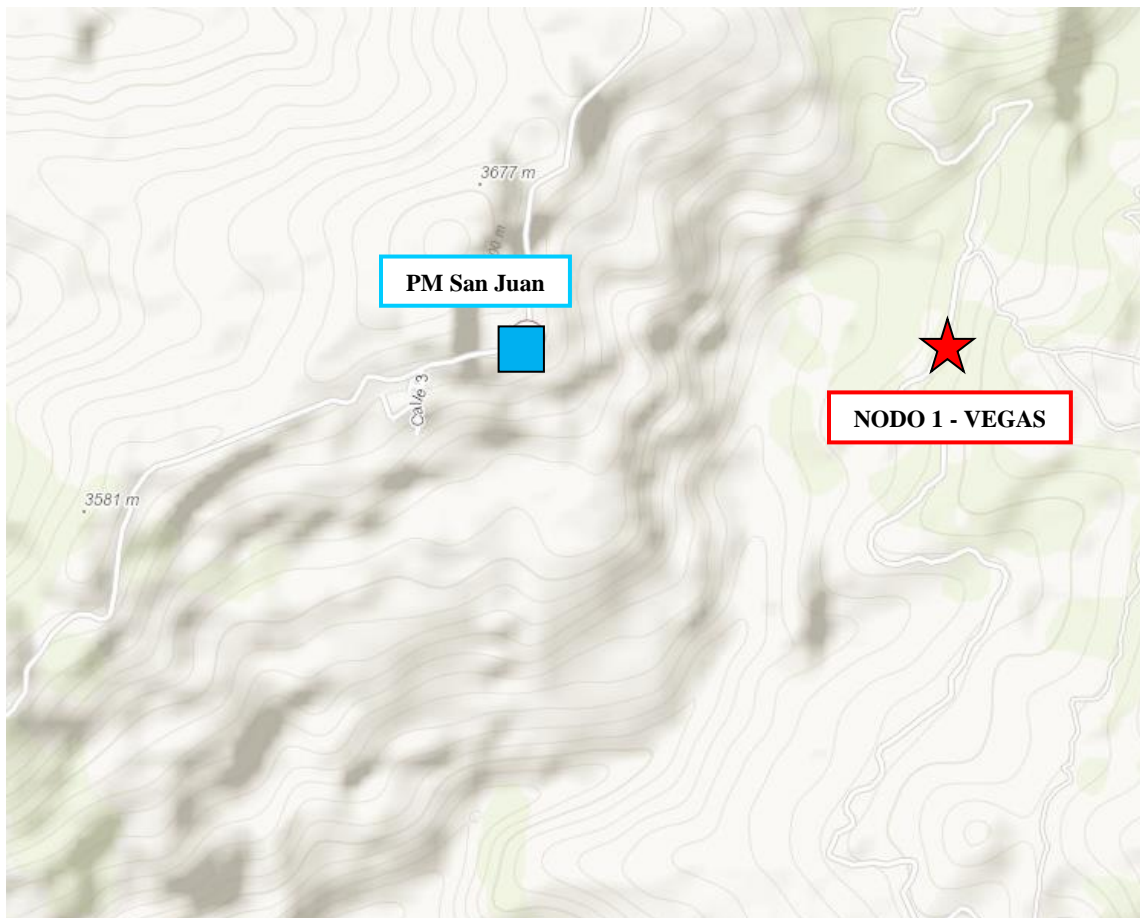


Figura 29. Localización Estaciones Nodo 1 - Vegas

Fuente: Elaboración Propia a partir del IDEAM.

Para el estudio hidrológico de este proyecto, se identificaron las estaciones con registros extensos y confiables que fueran representativos del comportamiento de las precipitaciones en el sector objeto de estudio; de igual manera, la elección de las estaciones dependió de su cercanía al proyecto, de forma que permitiera caracterizar adecuadamente la región. Para realizar el análisis de las principales variables de precipitación se empleó la estación PM San Juan. En la anterior figura Localización Estaciones empleadas, se presenta la ubicación del sitio objeto del presente estudio, la red de estaciones en el sector y de la estación empleada, señalada en color azul.

11.2 INFORMACIÓN CARTOGRÁFICA

Para el proyecto objeto de estudio se cuenta con cartografía oficial del IGAC, disponible en escala 1:25.000 para todo el predio, que corresponde a la plancha 265-IV-A. Con esta cartografía se cubre todo el Polígono del Nodo 1 - Vegas y los cauces aferentes a este polígono.

11.3 ANÁLISIS PLUVIOMÉTRICO

Para el análisis del comportamiento de las lluvias en la zona en estudio, se utilizó la información de las estaciones registradoras de precipitación mencionadas en la tabla anterior. La información empleada se encuentra en el **Anexo 1. Información Pluviométrica.**

11.4 PRECIPITACIONES TOTALES MENSUALES.

El ciclo anual de precipitación de la Estación PM San Juan presenta un promedio anual del orden de 918.54mm. El régimen de lluvias es bimodal. Se tiene un periodo de lluvias entre los meses de abril – mayo y octubre y noviembre, se presenta un periodo seco o de menores precipitaciones entre los meses de diciembre – marzo y junio - septiembre, siendo abril el mes más lluvioso y enero el mes con menores lluvias (Véase la siguiente figura).

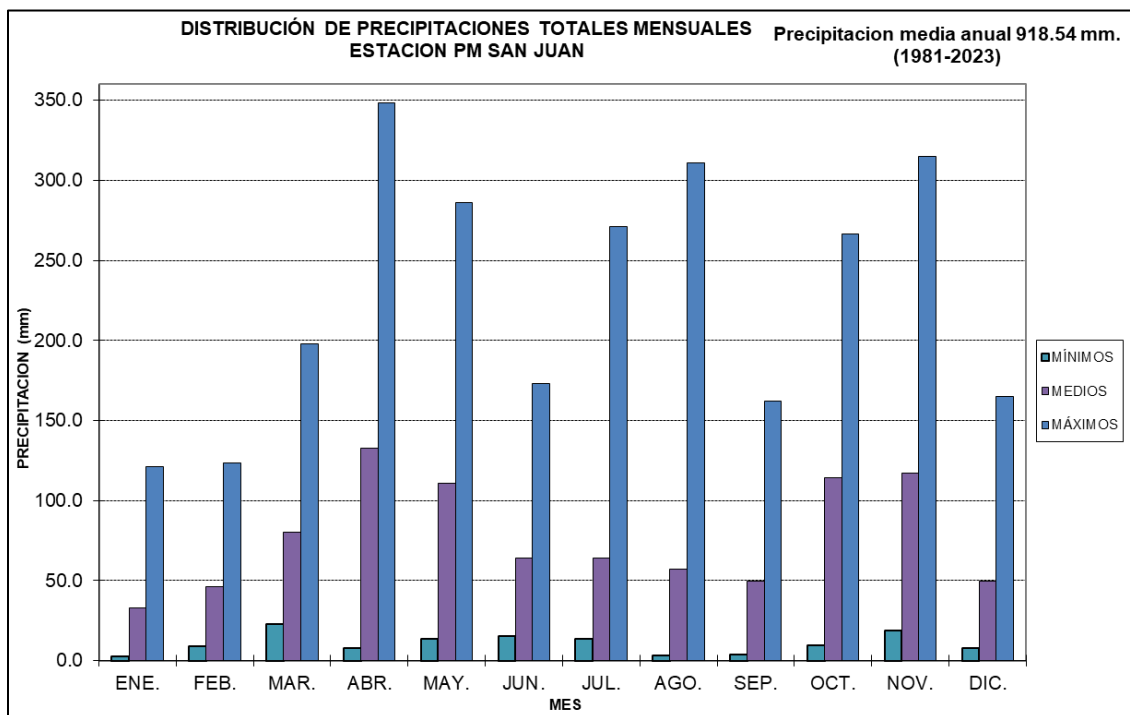


Figura 30. Distribución Mensual de Precipitación Estación PM San Juan
 Fuente: Elaboración Propia.

Tabla 11. Distribución temporal de la precipitación media mensual – Estación PM San Juan.

Mes	Ene	Feb	Mar	Abr	May	Jun	Jul	Ago	Sep	Oct	Nov	Dic	Pmedia anual
P media (mm)	33.06	46.30	80.20	132.86	110.50	64.08	64.12	56.87	49.58	114.32	116.87	49.79	918.54

Fuente: Elaboración Propia.

11.5 NÚMERO DE DÍAS DE PRECIPITACIÓN

Para la estación PM San Juan el número promedio de días de precipitación al año es de 187, presentándose en el mes de mayo el mayor número de días promedio (20 días) y en el mes de enero el menor número de días de precipitación (9 días).

Tabla 12. Distribución temporal núm. de días precipitación mensual – Estación PM San Juan.

Mes	Ene	Feb	Mar	Abr	May	Jun	Jul	Ago	Sep	Oct	Nov	Dic	No. Días de lluvia
No. días	9	11	16	19	20	17	17	15	12	19	19	13	187

Fuente: Elaboración Propia.

11.6 PRECIPITACIÓN MÁXIMA EN 24 HORAS.

Para el análisis de las lluvias máximas en 24 horas, se recopilaron los máximos valores anuales de precipitación en 24 horas registrada.

Tabla 13. Lluvias Máxima en 24 horas - Estación PM San Juan.

Lluvia Max 24 h (mm)	Año
42.00	1981
39.50	1982
25.20	1983
20.00	1988
32.00	1989
52.00	1990
80.00	1991
17.30	1992
65.00	1993
32.50	1994
42.60	1995
26.00	1996
35.00	1997
31.20	1998
4.50	1999
23.20	2003
31.00	2004
47.00	2005
22.20	2006
28.20	2007
37.90	2008

Lluvia Max 24 h (mm)	Año
30.20	2009
20.60	2010
19.80	2011
11.10	2012
13.50	2013
10.90	2014
6.90	2015
6.80	2016
6.90	2017
24.30	2018
6.20	2019
6.80	2020
6.60	2021
4.90	2022
3.90	2023
27.28	Promedio

Fuente: Elaboración Propia.

11.6.1 ESTIMACIÓN DE CURVAS IDF.

Se pueden definir como patrones de conductas pluviométricas que registran sobre un área o región específica y que resultan de unir los puntos más representativos de la intensidad media en intervalos de diferente duración, correspondientes todos ellos a una misma frecuencia o período de retorno, representando las duraciones en abscisas y las intensidades en las ordenadas.

Intensidad (I): Se puede definir como el volumen de precipitación por unidad de área o altura equivalente de precipitación por unidad de tiempo (mm/ hora) y se expresa como $I = P / T_d$ (Ven Te Chow, 1994), donde P = Lámina de agua lluvia (mm) y T_d = Duración (horas).

Duración (Td): Es el tiempo comprendido entre el comienzo y el final de la precipitación considerado como evento.

Frecuencia (F): Se considera como una medida de la probabilidad de ocurrencia de que un evento sea igualado o excedido por lo menos una vez al año, expresada en función del periodo de retorno.

Debido a que no en todas las zonas del país el IDEAM cuenta con curvas IDF, se ha dado amplio uso a la metodología de “Curvas sintéticas de Intensidad – Duración – Frecuencia para Colombia” de Vargas Rodrigo – 1998. Esta metodología es conocida como el método simplificado, se realiza a partir de una correlación de la Precipitación Máxima en 24 h, el Número promedio de Días de Lluvia al año y la Precipitación Total Anual.

Con base a esta metodología se calcularon las Curvas IDF para la estación PM San Juan: la ecuación definida como Número 11 es la empleada para la elaboración de las curvas IDF y se presenta a continuación:

$$I_m = a \cdot \frac{T^b}{t^c} \cdot M^d \cdot N^e \cdot PT^f$$

En donde:

- I: Intensidad media en mm/hr.
- T: Periodo de retorno en años.
- t: duración de la lluvia en horas.
- N: promedio del número de días con lluvia al año.
- PT: Precipitación Media anual en mm.
- M: Promedio del valor máximo anual de precipitación diaria en mm.

Para Colombia, se han establecido diferentes valores de a, b, c, d, e y f (Parámetros de regresión) según la región del país, los cuales se presenta en la siguiente Tabla y en la siguiente figura.

Tabla 14. Valores Parámetros de Regresión en Colombia

Región	A	b	c	d	e	f
Andina (R1)	1.61	0.19	0.65	0.75	-0.15	0.08
Caribe (R2)	8.51	0.21	0.50	-0.01	-0.08	0.28
Pacífico (R3)	2.31	0.19	0.58	-0.20	0.12	0.400

Fuente: Curvas Sintéticas de IDF para Colombia – Vargas Rodrigo 1998.

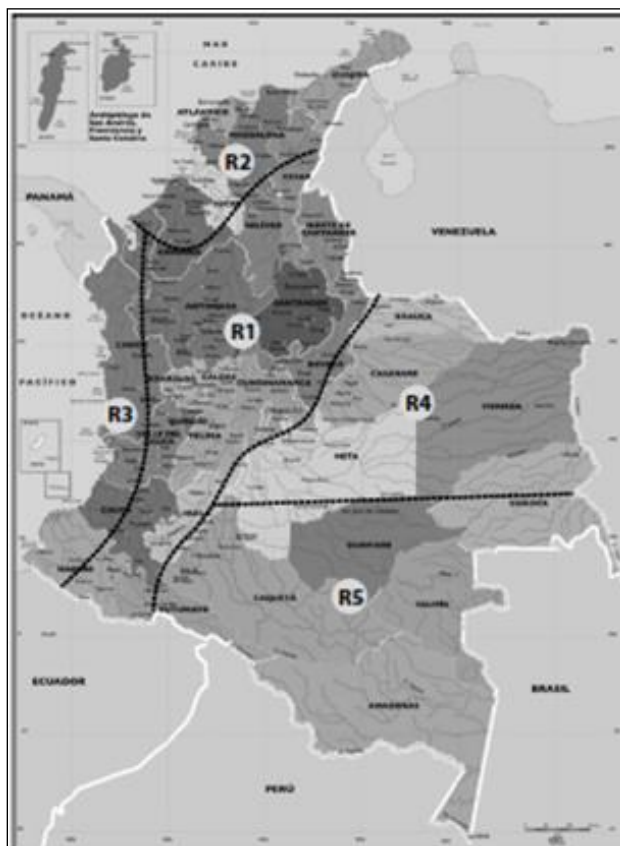


Figura 31. Regiones en Colombia – Parámetros de Regresión

Fuente: Curvas Sintéticas de IDF para Colombia – Vargas Rodrigo 1998.

La zona de proyecto se encuentra en la Región 1 (Andina), cuyos parámetros a, b, c, d, e y f son iguales respectivamente a: 1.61, 0.19, 0.65, 0.75, -0.15 y 0.08.

Aplicando estos valores, la ecuación anterior queda:

$$I_m = 1.61 \cdot \frac{T^{0.19}}{t^{0.65}} \cdot M^{0.75} \cdot N^{-0.15} \cdot PT^{0.08}$$

Teniendo en cuenta los datos históricos, el promedio del valor máximo anual de precipitación diaria en la estación PM San Juan es de 27.28mm y el número de días de lluvia es 187. La precipitación promedio anual es de 918.54mm. A continuación, se presentan las curvas IDF obtenidas.

ESTACION PM SAN JUAN
CURVAS INTENSIDAD - DURACION - FRECUENCIA

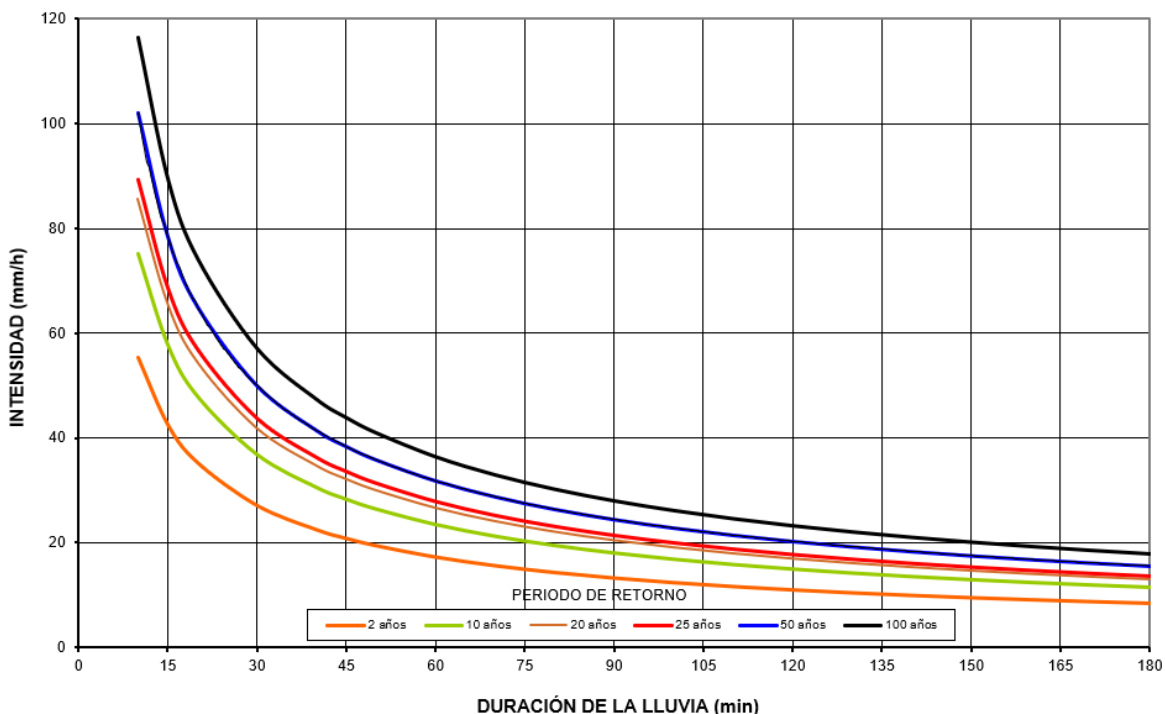


Figura 32. Curvas IDF Estación PM San Juan.
 Fuente: Elaboración Propia.

En la siguiente tabla, se presentan las Relaciones de Intensidad – Duración – Frecuencia, a partir de las cuales se generaron las Curvas IDF.

Tabla 15. Relaciones IDF – Estación PM San Juan
PERIODO DE RETORNO (Años)

TIEMPO (min)	PERIODO DE RETORNO (Años)						
	2	5	10	20	25	50	100
10	55.3	65.9	75.1	85.7	89.4	102.0	116.4
15	42.5	50.6	57.7	65.8	68.7	78.4	89.4
20	35.3	42.0	47.9	54.6	57.0	65.0	74.1
30	27.1	32.2	36.8	42.0	43.8	49.9	57.0

40	22.5	26.7	30.5	34.8	36.3	41.4	47.3
45	20.8	24.8	28.3	32.2	33.6	38.4	43.8
50	19.4	23.1	26.4	30.1	31.4	35.8	40.9
60	17.3	20.5	23.4	26.7	27.9	31.8	36.3
70	15.6	18.6	21.2	24.2	25.2	28.8	32.8
80	14.3	17.0	19.4	22.2	23.1	26.4	30.1
90	13.3	15.8	18.0	20.5	21.4	24.5	27.9
100	12.4	14.7	16.8	19.2	20.0	22.8	26.0
110	11.6	13.9	15.8	18.0	18.8	21.5	24.5
120	11.0	13.1	14.9	17.0	17.8	20.3	23.1
130	10.4	12.4	14.2	16.2	16.9	19.3	22.0
140	10.0	11.8	13.5	15.4	16.1	18.3	20.9
150	9.5	11.3	12.9	14.7	15.4	17.5	20.0
160	9.1	10.9	12.4	14.1	14.7	16.8	19.2
170	8.8	10.4	11.9	13.6	14.2	16.2	18.4
180	8.5	10.1	11.5	13.1	13.7	15.6	17.8
1440.0	2.2	2.6	3.0	3.4	3.5	4.0	4.6

Fuente: Elaboración Propia.

11.6.2 IDENTIFICACIÓN CUERPOS DE AGUA

El sector donde se encuentra ubicado el Nodo 1 - Vegas corresponde a una zona en general en una altitud importante. En efecto, la cota del terreno sobre el nivel del mar varía entre los 3300msnm y 3350 msnm. El predio analizado se encuentra en un sector alrededor del cual, se identificaron importantes cuerpos de agua, como lo son la Quebrada Tasajera, también se identificó el Cauce de la Quebrada Los Saleros y sus quebradas afluentes y el más importante que corresponde al Río San Juan y sus demás quebradas afluentes. En la siguiente figura se presenta la identificación de los principales drenajes naturales dentro y fuera del área del Nodo 1:

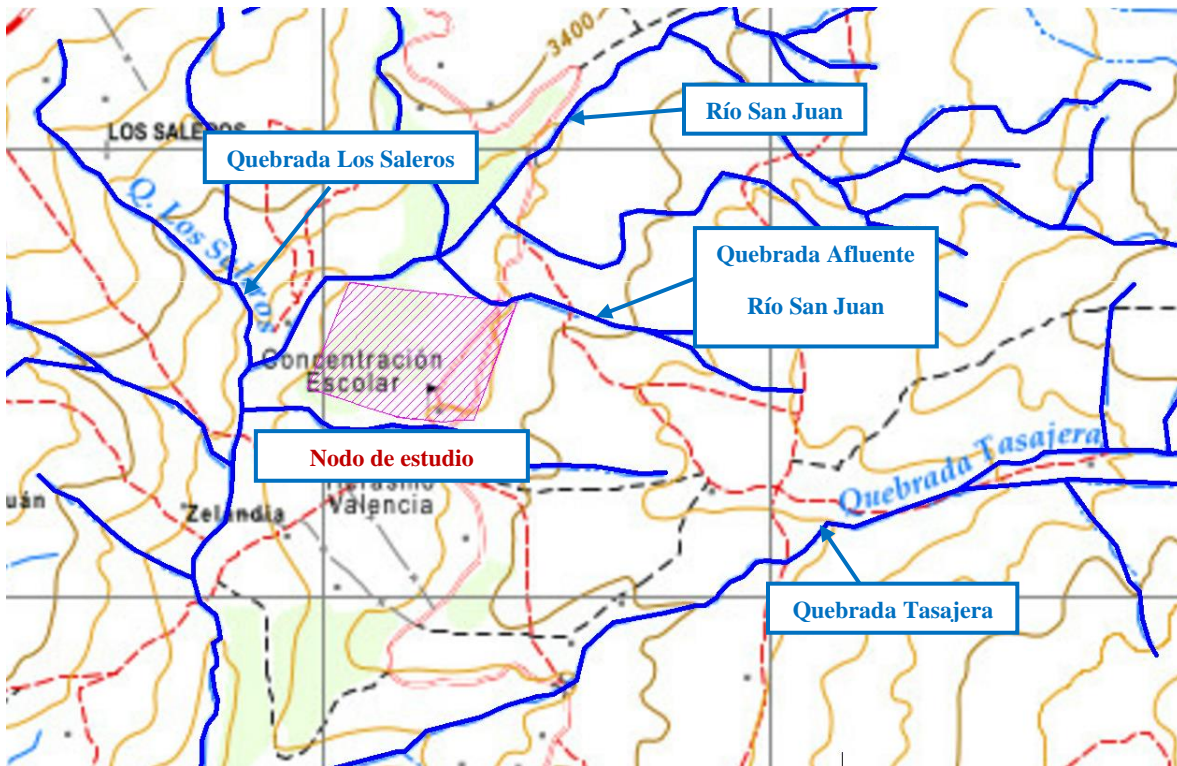


Figura 33. Descripción Red de Drenaje Nodo 1 - Vegas
Fuente: Elaboración Propia.

A nivel de detalle del Polígono del Nodo 1 - Vegas, como se mencionó anteriormente, se identificó el cruce de Quebrada Afluente al Río Sumapaz. En el anexo Planos Vegas, archivo *Drenajes_Vegas* se relaciona plano en el cual se puede visualizar los puntos específicos donde se presentan pasos de los cauces naturales de agua, para este nodo.

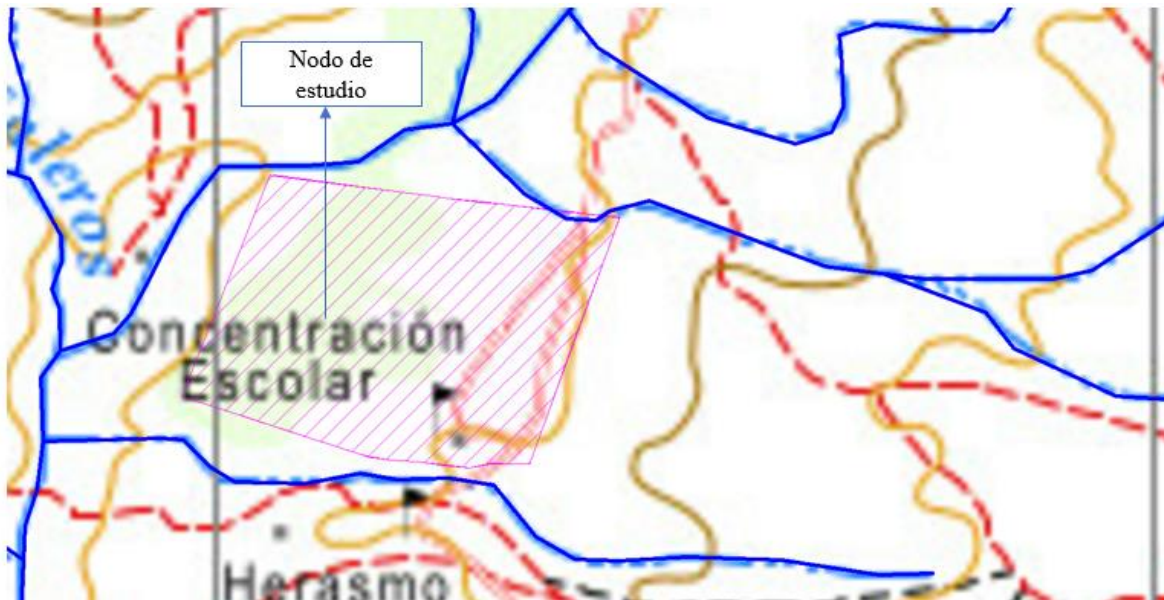


Figura 34. Cuerpos de Agua Nodo 1 - Vegas
Fuente: Elaboración Propia.

11.7 OBRAS DE DRENAJE SUPERFICIAL Y SUB-SUPERFICIAL EXISTENTES:

En el sector donde se encuentra ubicado el Nodo 1 - Vegas se identificaron dos obras de Drenaje menores para permitir el cruce de escorrentía superficial sobre la vía existente. En la carpeta 5- Hidrología **ANEXO 3**, se presenta el Inventario realizado y a continuación se presentan la identificación realizada.

En visita de campo realizada el 19 de enero del 2023, se apreciaron dos alcantarillas ubicadas en las siguientes coordenadas:

- **Alcantarilla 1:**
 N → 937583.893
 E → 975369.295
- **Alcantarilla 2**
 N → 937403.002
 E → 975298.731

Las cuales tienen como finalidad recolectar las aguas superficiales y subsuperficiales del sector. Se resalta que, si bien estas obras se encuentran en funcionamiento, no se presentan intervenciones de mantenimiento, haciendo que estas presenten colmatación y empozamiento de agua.



Figura 35. Alcantarillas existentes en el nodo las Vegas
Fuente: Geodinámica

✓ **Obra de Drenaje No. 1 - Alcantarilla 1:**

Esta alcantarilla cuenta con una tubería en concreto de 5.5 m de longitud y diámetro de 24”, se resalta que el sistema de alcantarillado se encuentra en mal estado, por ende, el funcionamiento de este no es el adecuado, lo que provoca empozamiento de agua. En la siguiente tabla se muestran los elementos de equipamiento que esta posee al momento de realizar la visita de campo, de acuerdo al inventario la obra presenta un estado aceptable.

Tabla 16. Elementos de equipamiento de la alcantarilla 1

	ENTRADA		SALIDA	
	MURO CABEZAL	Longitud (m)	1.2	Longitud (m)
Altura (m)		2	Altura (m)	2
GUARDARRUEDAS	Longitud (m)	1.2	Longitud (m)	1.2
	Espesor (m)	0.2	Espesor (m)	0.2
	Altura (m)	0.35	Altura (m)	0.35
MURO DE ACOMPAÑAMIENTO	Longitud (m)	1.5	Longitud (m)	-
	Espesor (m)	0.3	Espesor (m)	-

Por la ausencia de sistema de descole para esta alcantarilla, las aguas de escorrentía superficial y subsuperficiales recogidas son vertidas a la ladera y al terreno natural. A continuación, se presenta el registro fotográfico tomado para esta alcantarilla.



Fotografía 8. Empozamiento de agua por alcantarilla obstruida.



Fotografía 9. Se tiene una tubería en concreto con un diámetro de 24"



Fotografía 10. Se observa que la alcantarilla se encuentra en mal estado y se presenta empozamiento de agua.



Fotografía 11. No se presenta descole, las aguas recogidas por esta alcantarilla se vierten al terreno, re resalta el mal estado de esta alcantarilla

✓ Obra de Drenaje No. 2 - Alcantarilla 2

Se encuentra equipada con una tubería en concreto de 4.8 m de longitud y diámetro de 24”, adicionalmente cuenta con los elementos mostrados en la siguiente tabla. En la parte norte del alcantarillado, se evidencia la falta de mantenimiento en la cuneta y el alcantarillado, generando el taponamiento de esta por basura y vegetación. De acuerdo al inventario la obra presenta un estado aceptable, permite la descarga de cunetas y el cruce de escorrentía superficial.

Tabla 17. Elementos de equipamientos de la alcantarilla 2

	ENTRADA		SALIDA	
	MURO CABEZAL	Longitud (m)	1.2	Longitud (m)
Altura (m)		1.8	Altura (m)	1.8
GUARDARRUEDAS	Longitud (m)	1.2	Longitud (m)	1.2
	Espesor (m)	0.2	Espesor (m)	0.2
	Altura (m)	0.1	Altura (m)	0.3

Fuente: Geodinámica

No se cuenta con un sistema de descole apropiado para la entrega de las aguas de escorrentía superficiales y subsuperficiales, por lo cual estas aguas se vierten al terreno natural. A continuación, se presenta fotografías tomadas en la visita, en las cuales se puede evidenciar el estado actual de esta obra hidráulica.



Fotografía 12. Se observa que la alcantarilla se encuentra taponada por una placa en concreto, de



Fotografía 13. No se cuenta con un descole apropiado, por lo cual las aguas

<p>igual forma se muestra la falta de mantenimiento de esta por lo cual se ocasiona un empozamiento de agua</p>	<p>recogidas por esta alcantarilla se vierten al terreno natural, así mismo se nota el mal estado y la falta de mantenimiento de esta.</p>
	
<p>Fotografía 14. Aguas de escorrentía superficial y sub superficial vertidas al terreno natural.</p>	

Adicionalmente se encuentra presente una cañada artificial, elaborada por la comunidad en la cual se puede evidenciar mediante la siguiente fotografía que, este presenta un flujo lento, el cual se debe aumentar, con el fin de evitar empozamiento de agua y está localizado a un costado de la vía.



Fotografía 15. Cañada artificial, nodo las vegas
Fuente. Geodinámica

En la parte trasera de las habitaciones de los docentes del colegio Erasmo Valencia, se encuentran tres cajas de recolección de aguas, en la siguiente fotografía se pueden observar con mejor detalle.



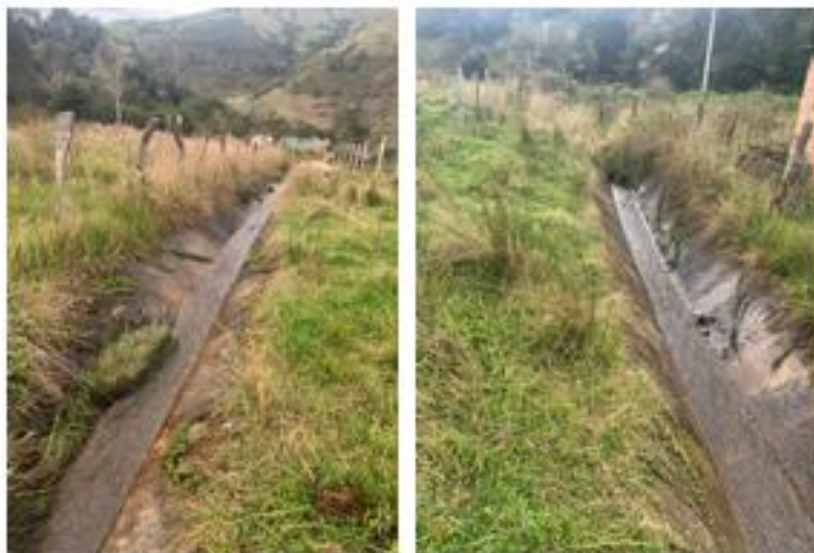
Fotografía 16. Caja de recolección de agua
Fuente. Geodinámica

De igual forma a un costado de las habitaciones, en una placa de concreto con fin peatonal se encuentra otra caja de recolección de aguas.



Fotografía 17. Caja recolección de aguas, nodo las Vegas
Fuente: Geodinámica

Adicional a las cajas de recolección de aguas presentes en la parte trasera de las habitaciones de los profesores, se encuentra un canal pequeño revestido en concreto que desemboca en el río San Juan. A continuación, se presentan imágenes de este



Fotografía 18. Canal de concreto, nodo las vegas
Fuente: Geodinámica

En uno de los costados de la vía se encuentra una zanja artificial, la cual recoge las aguas lluvias de la carretera, esta descarga la cañada artificial que se muestra en las imágenes anteriores.



Fotografía 19. Zanja vial, nodo las Vegas
Fuente. Geodinámica

Según la comunidad, en la parte media de la montaña pasa una tubería de agua, la cual está afectando la estabilidad del terreno. Se desconoce la empresa encargada de esta tubería. Si bien este deslizamiento se encuentra fuera del polígono de estudio, este se puede ver afectado a corto plazo. En la siguiente imagen se evidencia el deslizamiento provocado por esta tubería.



Fotografía 20. Deslizamiento de tierra, Nodo las Vegas
Fuente: Geodinámica

11.8 CAUDALES DE DISEÑO

Para revisar las necesidades de drenaje de la vía es necesario establecer los caudales de las cuencas que la cruzan, es decir, los que deberán manejar las obras de drenaje. Dichos caudales varían de acuerdo al período de retorno para el cual se diseñan las obras. En función del tipo de obra y de su importancia, los períodos de retorno adoptados para determinar los caudales de diseño son los siguientes:

Tabla 18. Período de retorno según tipo de obra.

TIPO DE OBRA	PERIODO DE RETORNO (años)
Box culvert	25
Alcantarillas mayores de 0.90 m de diámetro	20
Alcantarillas hasta de 0.90 m de diámetro	10
Cunetas	5
Subdrenaje	2

Fuente: Manual de drenaje de carreteras de INVIAS.

En los estudios del tramo de vía que corresponden a este informe, se utiliza el método racional para estimar el caudal de diseño para las obras de drenaje, el cual aplica para cuencas con un

área menor o igual a 2.5 km². Este criterio está de acuerdo con lo estipulado en el Manual de Drenaje de Carreteras de INVIAS.

Este método permite calcular los caudales máximos para diferentes períodos de retorno, mediante una ecuación matemática que utiliza las características hidrológicas y morfométricas de cada cuenca y relaciona los caudales de las cuencas en un punto dado con la precipitación máxima que cae sobre la cuenca. El método racional propone la siguiente ecuación:

$$Q = \frac{F * C * I * A}{3.6}$$

Dónde:

- Q: Caudal máximo, (m³/s)
- F: Factor de reducción de la lluvia puntual por área de drenaje, valor adimensional.
- C: Coeficiente de escorrentía.
- i: Intensidad de la lluvia, (mm/h)
- A: Área de Drenaje, (Km²)

- Áreas de Drenaje:

En la siguiente figura se presentan las áreas de drenaje obtenidas para cada obra de drenaje existente:

Figura 36. Áreas de Drenaje Obras Existentes



Fuente: Elaboración Propia.

Para las obras de drenaje o sectores de cruce de escorrentía menor donde no es posible obtener con la cartografía disponible en escala 1:25.000 un área aferente con total claridad, se adopta un área de 0.01 km² y una longitud de 0.1 km, con el fin de obtener tiempos de concentración de mínimo 15 min y así atribuir un área de drenaje conservadora. Este criterio se aplica especialmente en los sectores donde la vía se encuentra sobre o muy cerca de la divisoria de aguas.

Para el nodo vegas, tal como se mencionaba en el ítem 11.1, al realizar el estudio a escala 1:5000 y con base a las visitas de campo realizadas, se verifico la presencia de un cuerpo de agua que pasa sobre el nodo, información que se puede verificar mediante el plano Drenajes_Vegas.

- Factor de Reducción de Lluvia:

Para el Factor de Reducción de la Lluvia Puntual por Área de Drenaje, se tiene en cuenta que en general, la precipitación para una duración determinada (intensidad promedio) decrece desde el centro de las tormentas, a medida que se incrementa la distancia a partir de este punto. La precipitación máxima es representativa del centro de las tormentas, por lo cual la precipitación promedio en la totalidad del área de drenaje deberá ser menor, dependiendo del tamaño y forma de la cuenca, de las tormentas históricas registradas y de la localización del centro de precipitación máxima. Para calcular el factor de reducción de lluvia se emplea la ecuación de Fröhling que se presenta a continuación:

$$F(A) = 1.0 - 0.0054 * A^{0.25}$$

Este valor se aplicará para cuencas que superen un área de 1.0 km².

- Coeficiente de Escorrentía:

El coeficiente de escorrentía (C), es la relación del total del agua precipitada en una cuenca, con el volumen real de la escorrentía después de descontar las pérdidas por almacenamiento, retención e infiltración. Dependen del uso y tipo de suelo, de la cobertura vegetal y de la condición de humedad antecedente.

Las coberturas de la tierra para el proyecto, se clasificaron de acuerdo a la metodología CORINE Land cover adaptada para Colombia, con esta clasificación se obtuvieron coberturas diferentes las cuales se presentan a continuación:

Tabla 19 Coberturas de la tierra por nodo

Vegas	112	Tejido urbano Discontinuo	0,09
	1221	Red Vial y Territorios asociados	0,43
	1421	Áreas Culturales	0,74
	231	Pastos Limpios	3,62

	232	Pastos Arbolados	0,08
	233	Pastos Enmalezados	0,72
	3222	Arbustal Abierto	4,62
	3232	Vegetación Secundaria baja	0,11

Considerando la cobertura del suelo en el sector, se emplean coeficientes de escorrentía de 0.41, 0.44 y 0.48 para periodos de retorno de 10, 25 y 50 años respectivamente. El coeficiente de escorrentía se estimó con base a los coeficientes propuestos por V. T. Chow en el libro “Handbook of Applied Hydrology” que se presentan en la siguiente figura:

Característica de la superficie	Periodo de retorno (años)						
	2	5	10	25	50	100	500
Áreas desarrolladas							
Asfáltico	0.73	0.77	0.81	0.86	0.90	0.95	1.00
Concreto/techo	0.75	0.80	0.83	0.88	0.92	0.97	1.00
<i>Zonas verdes (jardines, parques, etc.)</i>							
<i>Condición pobre (cubierta de pasto menor del 50% del área)</i>							
Plano, 0-2%	0.32	0.34	0.37	0.40	0.44	0.47	0.58
Promedio, 2-7%	0.37	0.40	0.43	0.46	0.49	0.53	0.61
Pendiente, superior a 7%	0.40	0.43	0.45	0.49	0.52	0.55	0.62
<i>Condición promedio (cubierta de pasto del 50 al 75% del área)</i>							
Plano, 0-2%	0.25	0.28	0.30	0.34	0.37	0.41	0.53
Promedio, 2-7%	0.33	0.36	0.38	0.42	0.45	0.49	0.58
Pendiente, superior a 7%	0.37	0.40	0.42	0.46	0.49	0.53	0.60
<i>Condición buena (cubierta de pasto mayor del 75% del área)</i>							
Plano, 0-2%	0.21	0.23	0.25	0.29	0.32	0.36	0.49
Promedio, 2-7%	0.29	0.32	0.35	0.39	0.42	0.46	0.56
Pendiente, superior a 7%	0.34	0.37	0.40	0.44	0.47	0.51	0.58
Áreas no desarrolladas							
<i>Área de cultivos</i>							
Plano, 0-2%	0.31	0.34	0.36	0.40	0.43	0.47	0.57
Promedio, 2-7%	0.35	0.38	0.41	0.44	0.48	0.51	0.60
Pendiente, superior a 7%	0.39	0.42	0.44	0.48	0.51	0.54	0.61
<i>Pastizales</i>							
Plano, 0-2%	0.25	0.28	0.30	0.34	0.37	0.41	0.53
Promedio, 2-7%	0.33	0.36	0.38	0.42	0.45	0.49	0.58
Pendiente, superior a 7%	0.37	0.40	0.42	0.46	0.49	0.53	0.60
<i>Bosques</i>							
Plano, 0-2%	0.22	0.25	0.28	0.31	0.35	0.39	0.48
Promedio, 2-7%	0.31	0.34	0.36	0.40	0.43	0.47	0.56
Pendiente, superior a 7%	0.35	0.39	0.41	0.45	0.48	0.52	0.58

Figura 37. Coeficientes de Escorrentía – V. T. Chow

Fuente: V. T. Chow, Handbook of Applied Hydrology

- Intensidad:

La intensidad de la precipitación se selecciona para una duración igual a la del tiempo de concentración propio de cada cuenca y para el período de retorno establecido. Por lo tanto, el caudal calculado corresponderá a la creciente con una frecuencia igual a la de la precipitación con la intensidad seleccionada. Para tiempos de concentración inferiores a 15 minutos se utilizó la intensidad correspondiente a tiempo de concentración de 15 minutos, (Ver Curvas IDF).

- Tiempo de Concentración:

Para el tiempo de concentración se realizaron cálculos empleando varias expresiones:

La expresión de Kirpich (U.S. Bureau of Reclamation "Design of Small Dams"), aplica bastante bien a cuencas pequeñas y está dada por la siguiente expresión:

$$T_c = 3.9756 * L^{0.77} * S^{-0.385}$$

Donde:

- ✓ T_c: Tiempo de concentración en minutos, está definido como el tiempo que gasta una gota de agua para llegar desde el punto más alejado de la cuenca hasta el sitio donde se quiere calcular el caudal
- ✓ L: Longitud del cauce desde el sitio más alejado de la cuenca hasta el sitio de interés (km)
- ✓ S: Pendiente ponderada correspondiente a la cuenca de estudio (m/m).

También se aplicó la fórmula de Bransby-Williams³ que corresponde a la siguiente ecuación:

$$T_c = \frac{14.6L}{A^{0.1} S^{0.2}}$$

Donde:

- ✓ T_c: Tiempo de concentración en minutos
- ✓ L: Longitud máxima de la corriente en km
- ✓ A: Área de la cuenca en km².
- ✓ S: Pendiente de la corriente principal en m/m

La formulación propuesta por Ventura Heras, corresponde a la siguiente ecuación:

$$T_c = 0.30 \left(\frac{L}{S^{0.25}} \right)^{0.75}$$

Donde:

- T_c: Tiempo de concentración en minutos
- L: Longitud máxima de la corriente en km
- S: Pendiente de la corriente principal en m/m

La formulación propuesta por V.T Chow, corresponde a la siguiente ecuación:

$$T_c = 0.273 \left(\frac{L}{S^{0.25}} \right)^{0.64}$$

³ Pilgrim y Cordery, 1993, p.9-16

Donde:

- ✓ T_c: Tiempo de concentración en minutos
- ✓ L: Longitud máxima de la corriente en km
- ✓ S: Pendiente de la corriente principal en m/m

La formulación propuesta por Temez, corresponde a la siguiente ecuación:

$$T_c = 0.30 \left(\frac{L}{S^{0.25}} \right)^{0.76}$$

Donde:

- ✓ T_c: Tiempo de concentración en minutos
- ✓ L: Longitud máxima de la corriente en km
- ✓ S: Pendiente de la corriente principal en m/m

En general, para la zona en estudio, considerando las características de las cuencas y los cauces, se adopta la Fórmula de Bransby – Williams para los estimativos de caudales, ya que los tiempos de concentración por Kirpich se consideran excesivamente cortos y los tiempos de concentración de Temez, V.T Chow y Ventura Heras tienen un orden de magnitud similar a Bransby Williams.

Finalmente, en la siguiente tabla, se presenta el resumen de los caudales calculados, el número de cuenca, área tributaria, tiempo de concentración, coeficiente de escorrentía e intensidad de lluvia, factor de reducción aplicado y caudal de diseño según el periodo de retorno.

Tabla 20. Evaluación de caudales

No	Área (Km ²)	Long. (Km.)	S (m/m)	T _c Bransby (min)	Coeficiente de escorrentía			I 10 años (mm/h)	I 25 años (mm/h)	I 50 años (mm/h)	Método Racional (Q m ³ /s)		
					10 años	25 años	50 años				Tr=10 años	Tr=25 años	Tr=50 años
1	0.237	0.725	0.34483	15.1	0.44	0.48	0.51	57.4	66.5	75.8	1.66	2.10	2.55
2	0.010	0.100	0.10000	15.0	0.44	0.48	0.51	57.7	68.7	78.4	0.07	0.09	0.11

Fuente: Elaboración Propia.

11.9 EVALUACIÓN HIDRÁULICA

Los criterios adoptados para el análisis hidráulico de las obras menores se presentan a continuación:

- Las alcantarillas con pendiente supercrítica y flujo de aproximación de carácter subcrítico ($So > Sc$) establecen un control hidráulico de entrada; en el caso contrario ($So < Sc$) existirá flujo con control de salida.
- El dimensionamiento hidráulico se realizó considerando que para el caudal de diseño la lámina de aproximación era igual a la altura del conducto.
- La cabeza de velocidad de la lámina de aproximación se considera despreciable, comparada con la cabeza de velocidad dentro del conducto.
- Igualando energías entre el punto inmediato aguas arriba de la entrada del conducto y la entrada, se establece la siguiente ecuación:

$$Hw = \frac{v_c^2}{2g} + \frac{KV_c^2}{2g} + Y_c$$

Dónde:

- ✓ Hw : Nivel de agua a la entrada; parámetro que establece las dimensiones de la obra de drenaje, en metros.
- ✓ Y_c : Profundidad crítica que se forma inmediatamente aguas abajo de la entrada+ del conducto, en metros.
- ✓ V_c : Velocidad crítica, en m/s.
- ✓ K : Coeficiente de pérdida por entrada. Este coeficiente se estima en 0.5.

Desarrollando la ecuación anterior el “Bureau of Reclamation” presenta la siguiente ecuación, aplicable a alcantarillas circulares:

$$\frac{Q}{D^2} = 2.2$$

Dónde:

- ✓ Q : Caudal, en pies³/s.
- ✓ D : Diámetro de la alcantarilla, en pies.

En todos los casos, las alcantarillas, al presentar una pendiente superior a la crítica desarrollarán un flujo supercrítico, cuyas profundidades varían con las distancias generando movimientos gradualmente variados. Los resultados de los análisis computacionales demuestran que las estructuras existentes funcionaran a flujo libre con control de entrada y que los caudales transitados bajo la estructura no sobrepasaran la cota clave de la estructura proyectada.

Tabla 21. Evaluación Obras de Drenaje

No.	Área (Km ²)	Caudal Máximo Instantáneo (m ³ /s)	OBRA EXISTENTE					OBSERVACIONES	
			Cant	b (m)	f (m)	h (m)	Capacidad (m ³ /s)		Longitud(m)
1	0.237	2.10	1		0.60		0.34	5.50	Obra de drenaje tipo Alcantarilla, la obra requiere reemplazarse ya que no cumple con la capacidad requerida ni con el diámetro mínimo que garantiza las actividades de limpieza y mantenimiento.
2	0.010	0.10	1		0.60		0.34	4.80	Obra de drenaje tipo Alcantarilla, la obra requiere reemplazarse ya que no cumple con el diámetro mínimo que garantiza las actividades de limpieza y mantenimiento.

Fuente: Elaboración Propia.

11.10 EVALUACIÓN DEL COEFICIENTE DE INFILTRACIÓN

Los resultados de capacidad de filtración de los diferentes depósitos se tomaron a partir de la literatura aportada por el doctor Lambe en su libro *Mecánica de suelos*⁴. En su libro describe los coeficientes de permeabilidad de la siguiente forma:

Tabla 22. Coeficientes de permeabilidad de depósitos naturales del suelo

Tipo de formación	Valor de k (cm/seg)
Depósitos fluviales	
Ródano en Genissiat	
Pequeños ríos de los Alpes orientales	Hasta 0.40
Missouri	0.02-0.20
Mississippi	0.02-0.12
Depósitos glaciales	
Llanuras de aluvión	0.05-2.00
Esker, Westfield, Mass.	0.01-0.13
Delta, Chicopee, Mass.	0.0001-0.015
Till morrénico	Menor de 0.0001
Depósitos eólicos	
Arena de médano	0.1-0.3
Loes	0.001 ±
Tierras loésicas	0.0001 ±
Depósitos lacustres y marinos (no costeros)	
Arena muy fina uniforme $U^a = 5-2$	0.0001-0.0064
"Hígado de toro"* ^{6a} , Avenida, N. Y. $U = 5-2$	0.0001-0.0050
"Hígado de Toro", Brooklyn, $U = 5$	0.00001-0.0001
Arcilla	Menor de 0.0000001

^a U = coeficiente de uniformidad
Según Terzaghi y Peck, 1967.

* Nombre dado en la región de Nueva York a un limo inorgánico muy inestable, de consistencia viscosa. (N.T.)

Sin embargo, pruebas posteriores de permeabilidad sobre materiales más comparables lograron determinar lo siguiente:

⁴ Lambe, T. W., & Whitman, R. V. (1972). *Mecánica de suelos* (No. 624.151 LAM).

Tabla 23. Resultados de pruebas de permeabilidad ⁵

Suelo	Tamaño D_{10} (cm)	Permeabilidad (μ /seg)	k/D_{10}^2 (l/seg cm)
Grava gruesa	0.082	1100	16
Grava arenosa	0.020	160	40
Grava fina	0.030	71	8
Grava limosa	0.006	4.6	11
Arena gruesa	0.011	1.1	1
Arena media	0.002	0.29	7
Arena fina	0.003	0.096	1
Limo	0.0006	0.15	42
			Media = 16

En el modelo geológico geotécnico se asignará un valor dependiendo de capacidad de filtración (permeabilidad) de los depósitos, dependiendo del material predominante que se encuentre en la zona.

11.11 BALANCE HÍDRICO

Para realizar el balance hídrico en la zona objeto de estudio, se emplearon los datos de la estación AG Pasca – Aut., esta es la única estación en el sector que permite obtener datos de evaporación, temperatura y precipitación en el sector, a partir de estos datos se aplicó el método de Thornthwaite. Este método trata de cuantificar los distintos componentes del balance hídrico en el suelo, el fundamento está descrito mediante la siguiente ecuación:

$$P = E_s + ETR + I$$

Donde,

- ✓ P: Precipitación (en mm/unidad de tiempo, habitualmente año o mes).
- ✓ E_s : Escorrentía superficial (en mm/unidad de tiempo).
- ✓ I: Infiltración en el terreno (en mm/unidad de tiempo).
- ✓ ETR: Evapotranspiración real (en mm/unidad de tiempo).

El cálculo del déficit de escurrimiento sobre un periodo de tiempo relativamente corto, como el mes, no puede llegar a cifras correctas más que si se tienen en cuenta las relaciones de un mes con otro de la variación R de las reservas almacenadas en las capas de agua subterránea. Para la estación AG Pasca – Aut., se cuenta con información de evaporación en tanque Clase

⁵ Lane, K. S., Washburn, D. E., & Krynine, D. P. (1947). Capillarity tests by capillarity meter and by soil filled tubes. In *Highway research board proceedings* (Vol. 26).

A, Temperatura y precipitaciones mensuales. El método empleado fue el de Thornwaithe, utilizando como estimación de la Evapotranspiración potencial, una relación comúnmente usada en Colombia, que es $EVP = 0.7 * \text{Evaporación en tanque clase A}$.

Tabla 24. Balance Hídrico – Estación CO Guaicaramo

MES	PRECIPITACIÓN	TEMPERATURA	EVP	DEF	EXC
Enero	54.93	15.4	51.47	-3.46	0.00
Febrero	46.79	15.3	40.87	-5.92	0.00
Marzo	68.45	15.3	47.48	-20.97	0.00
Abril	92.59	15.6	44.77	-71.22	-23.40
Mayo	104.52	15.6	45.36	0.00	59.16
Junio	91.09	15.6	53.30	0.00	37.79
Julio	61.83	15.5	23.90	0.00	37.94
Agosto	55.18	15.3	19.99	0.00	35.18
Septiembre	48.44	15.3	31.54	0.00	16.91
Octubre	52.48	15.6	50.74	0.00	1.74
Noviembre	113.12	15.5	65.04	0.00	48.08
Diciembre	116.46	15.4	58.93	0.00	57.53
Total, Anual	905.89	15.44	533.39	-172.78	270.92

Fuente: Elaboración Propia.

En la siguiente figura se muestra la variación espacial de los excesos totales anuales y los déficits totales anual, producto del balance hídrico realizado.

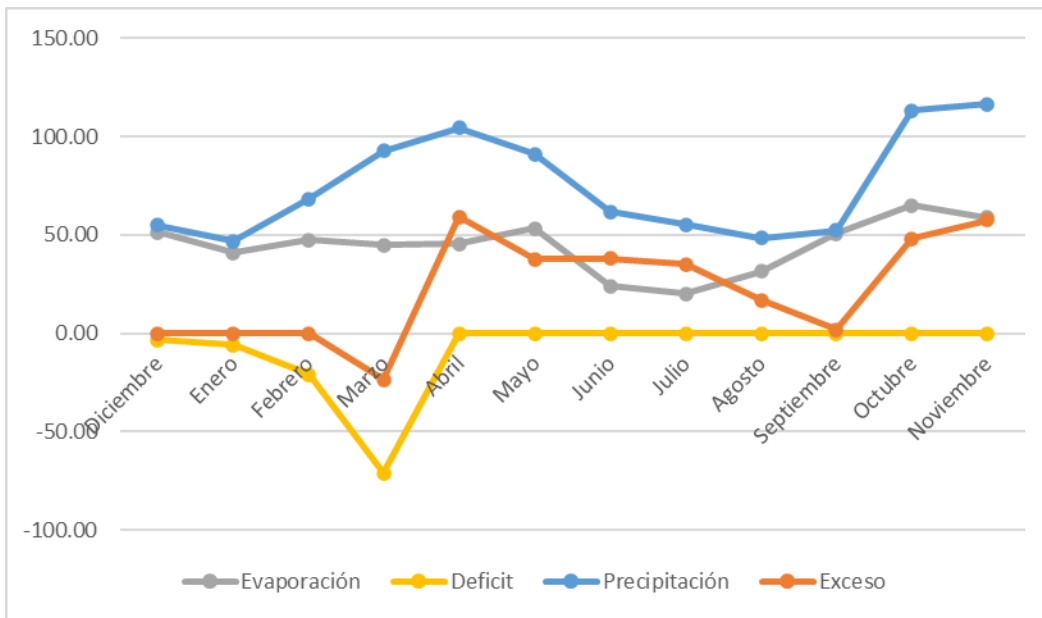


Figura 38. Distribución Mensual de Precipitación Estación AG Pascas
Fuente: Elaboración Propia.

12 INVESTIGACIÓN GEOTÉCNICA

12.1 PROGRAMA DE EXPLORACIÓN:

12.1.1 ANTECEDENTES

12.1.1.1 Estudios previos

Con el fin de obtener información de estudios anteriores e histórico de eventos ocurridos que sirvan como base de consulta para el desarrollo de la caracterización de escenarios de riesgo, y con lo cual, se priorizara y jerarquizara las amenazas por movimiento en masa en el nodo de estudio; por lo tanto, se realiza la respectiva búsqueda de información en diferentes bases de datos asociadas a la gestión de riesgos y prevención de desastres; las bases de datos consultadas fueron DESINVENTAR, SIMMA, Unidad de Nacional para la Gestión del Riesgo de Desastres-UNGRD y reportes generados por la Corporación Autónoma Regional de Cundinamarca-CAR. No obstante, una vez consultadas las diferentes bases de datos se encontró con falta de información en la zona de estudio o cercana a la misma.



Figura 39. Consulta de Histórico de Eventos-Nodo Vegas
Fuente: SIMMA

12.2 DIAGNOSTICO DEL ÁREA DE ESTUDIO

El día 19 de enero de 2023 se llevó a cabo la visita de reconocimiento inicial del área de estudio del Nodo 1 denominado Vegas, en compañía del director, el Especialistas en geotecnia, el geólogo y la ingeniera de apoyo de Geodinámica Ingeniería.

Del recorrido realizado se identifican los siguientes hallazgos que comprometen el área de estudio.

- Debido a la tubería que pasa sobre la zona alta del terreno, se está generando una remoción en masa, cabe destacar que el polígono de estudio no alcanza a tomar toda el área referente en la imagen, y que dicha problemática se encuentra fuera del nodo. (Ver las Fotografías 21).
- A lo largo del polígono se encuentra una cañada artificial que realizo la comunidad de la zona, donde dicha cañada se encuentra sobre material natural del terreno. (Aumentar la velocidad de drenaje). En la fotografía 22, es posible evidenciar la salida de agua de la cañada artificial. (Ver la Fotografía 22 y 23).
- Realizando la respectiva revisión de las instalaciones del colegio Erasmo Valencia, se encuentra que el edificio de los apartamentos de los profesores, presenta una serie de grietas, donde sobre el suelo se observa la separación de la losa del andén y algunas grietas sobre el mismo (Ver la Fotografía 24, 25, 26 y 27).
- En los alrededores del polígono de estudio, se encuentra deslizamientos y árboles que presentan una inclinación. (Ver la Fotografía 28).
- A lo largo de la vía que da acceso al colegio Erasmo Valencia, se encuentran zonas de infiltración (Sequias que se hacen para que el agua baje), pero muchas de estas aguas se infiltran sobre el terreno, ya que no tienen un buen manejo a lo largo del polígono. (Ver la Fotografía 29 y 30).

En general, se puede mencionar que el ancho promedio del polígono es de 290 m, y la longitud del mismo es de 348 m, para un área aproximada de 10.43 Ha. El terreno presenta una cobertura vegetal consistente en pastos y arbustos.



Fotografía 21 Remoción en Masa fuera del nodo de estudio.



Fotografía 22 Cañada artificial dentro del polígono.



Fotografía 23 Salida de Cañada artificial.



Fotografía 24 Edificio de profesores, que presenta problemas de agrietamiento.



ALCALDÍA MAYOR
DE BOGOTÁ D.C.
AMBIENTE
Instituto Distrital de Gestión de Riesgos
y Cambio Climático

ELABORACIÓN DE ESTUDIOS BÁSICOS DE
ZONIFICACIÓN DE AMENAZA POR MOVIMIENTOS EN
MASA, A ESCALA 1:5.000 ACORDE CON LOS
REQUISITOS DEL DECRETO 1077 DE 2015, PARA 8
NODOS DE EQUIPAMIENTOS RURALES DE LA
LOCALIDAD DE SUMAPAZ
CONTRATO No 278 DE 2022



Fotografía 25 Grietas presentadas en el costado derecho del edificio de profesores.



Fotografía 26 Infraestructura costado derecho edificio profesores.



Fotografía 27 Vista trasera edificio de profesores.



Fotografía 28 Remociones en masas que se encuentran fuera del polígono de estudio.



Fotografía 29 Zonas de infiltración presentadas a lo largo de la vía de acceso al colegio.



Fotografía 30 Zonas de infiltración.

12.3 IMPLEMENTACIÓN DE LA EXPLORACIÓN DEL SUBSUELO:

Para la caracterización geotécnica del área de estudio se ejecutaron dos (2) sondeos mecánicos de 5.40 m y 10.15 m de profundidad respectivamente, y dos (2) apiques de 2.0 m Y 2.06 m de profundidad. En la carpeta 6 GEOTECNIA se encuentran los registros de exploración y fotográficos, con la caracterización y espesores de los materiales presentes en la zona de estudio.

A esto se suma que en la parte alta del polígono se encontró una remoción en masa causado por una tubería que pasa a lo largo de la zona, pero donde dicha área ya se encuentra fuera del polígono. En la siguiente tabla se muestran las coordenadas del sondeo y apiques propuestos y en la siguiente figura se incluye imagen de Google Earth de la localización del sondeo propuesto (marcadores color rojo), y los apiques (marcadores de color amarillo).

Tabla 25 – Exploración del Subsuelo

VEGAS			
Sondeo/Apique	Norte (m)	Este (m)	Prof. (m)
S-1	937398.922	975257.643	10.15
S-2	937634.752	975399.292	5.40
AP-1	937635.955	975044.720	2
AP-2	937449.167	975105.411	2.6



Figura 40- Localización de perforación ejecutada

- ✓ Los valores de la investigación de campo - exploración geotécnica, se determinan desde la exploración realizada en campo, donde es importante considerar que los ensayos se ejecutan a partir de las muestras recolectadas, las cuales deben tener condiciones óptimas para el ensayo que lo requiera, por lo cual para generar la orden de ensayo se realiza un análisis en campo de las muestras extraídas y teniendo en cuenta las cantidades de ensayos dadas por el anexo técnico, se verifica que ensayo se le puede realizar a la muestra, evaluando las condiciones que requieren cada ensayo. Algunas de las muestras extraídas no son aptas para realizar ningún tipo de ensayo, debido a la composición y calidad del material, por lo cual no se proyectan ensayos.
- ✓ Para este sitio no se usó la totalidad de los ensayos estimados inicialmente, por lo que fue necesario trasladarlos a un nodo que presente una muestra apta, es decir, que presenten condiciones adecuadas.

La exploración del subsuelo, se realizó en su totalidad. Para las muestras extraídas se generan ensayos a las que presentan características apropiadas, considerando que a lo largo de las perforaciones se encuentran muestras a las que no son posible realizarle ningún tipo de ensayo.

12.3.1 Perfiles de campo:

A continuación, se realiza una breve descripción de las muestras obtenidas para los sondeos y apiques. Los registros de exploración y fotográficos se encuentran en el ANEXO 6-GEOTECNIA.

1. SONDEO 1

Este sondeo se encuentra ubicado en la parte sur del polígono, se obtuvieron 9 muestras en las cuales se encontraron los siguientes materiales.

- **0 m – 0.95 m** → Relleno compuesto de limo arcilloso, gravas finas, raíces finas, w" alta, la muestra presenta un color café con manchas de color gris y marrón. La muestra 1 fue de tipo SPT (N=6 golpes) y la muestra 2 fue de tipo Shelby.
- **0.95 m – 2.35 m** → Limo arcilloso orgánico con rastros de raíces finas en descomposición (Turba), w" alto, consistencia muy suave, la muestra presenta un color café claro. Muestra 3 recuperada mediante SPT (N=2 golpes)
- **2.35 m – 3.85 m** → Arcilla limosa con arena fina intercalada, puntos de oxido color ocre, raíces finas, w" alta, consistencia media, color de la muestra marrón, con manchas de color café, se presentan zonas saturadas. Muestra 4 tipo Shelby.

- **3.85 m – 5.25 m** → Arcilla limosa plástica con arena fina intercalada, trazas oxidadas de color ocre, w" alto, consistencia media, zonas saturadas. Muestra 5 (SPT=7)
- **5.25 m – 8.25 m** → Arcilla plástica algo limosa con arenas finas de color gris, presencia de puntos oxidados color ocre, zonas saturadas. W" alta, consistencia rígida, color de la muestra marrón. Muestra 6 tipo Shelby y Muestra 7 SPT (N=10 golpes).
- **8.25 m – 9.70 m** → Arcilla plástica con arena fina intercalada, puntos de oxido color ocre, consistencia rígida, w" ato. La muestra presenta marrón, muestra 9 tipo SH.
- **9.70 m – 10.15 m** → Arcilla limosa plástica con trazas de aren fina y puntos de oxido, w" media y consistencia muy rígida, color de la muestra café. Muestra 10 SPT (N=26 golpes).

A continuación, se muestran algunas fotografías de las muestras extraídas en este sondeo.



Figura 41. Muestras sondeo # 1

2. SONDEO 2

Este sondeo se encuentra ubicado en la parte nororiente del polígono, se obtuvieron 4 muestras en las cuales se encontraron los siguientes materiales:

- **0.00 m – 0.60 m** → Capa vegetal limo arenoso de grano fino con presencia puntos de mica, raíces finas, w" alto, consistencia baja, la muestra presenta color café oscuro.
- **0.60 m – 1.05 m** → Limo arcilloso con arena fina intercalada, raíces finas y medias, plasticidad media, consistencia suave. W" baja, color de la muestra habano. Muestra 1 tipo SPT (N=4 golpes)

- **1.05 m – 2.50 m** → Arcilla plástica con puntos de oxido color ocre, la muestra presenta zonas fisuradas, w" alto, consistencia media, color de la muestra café claro con manchas color habano. Muestra 2 tipo Shelby
- **2.5 m – 5.4 m** → Arcilla con limos y arena fina intercalada, plasticidad media, w" alta y consistencia rígida, color de la muestra marrón con manchas amarillo oscuro. Muestra 3 tipo SPT (N=10 golpes), muestra 4 tipo Shelby.



Figura 42. Muestra sondeo # 2

3. APIQUE 1

Este apique se encuentra ubicado en la parte suroccidente del polígono, se realizó muestra tipo cubo a una profundidad de 1.25 m hasta 1.50 y muestra tipo SPT. Estas muestras fueron llevadas al laboratorio para realizar los ensayos previamente programados. A continuación, se presentan imágenes de las muestras.



Figura 43. Muestra apique # 1

4. APIQUE 2

Este apique se encuentra ubicado en la parte suroccidente del polígono, se realizó muestra tipo cubo a una profundidad de 1.20 m hasta 1.45 y muestra tipo SPT. Estas muestras fueron llevadas al laboratorio para realizar los ensayos previamente programados. A continuación, se presentan imágenes de las muestras.



Figura 44. Muestra apique #2

12.3.2 Resultados de los ensayos de penetración estándar (SPT)

Durante la ejecución de los sondeos se llevó a cabo el ensayo de penetración estándar SPT del cual se obtuvo valores de N (golpes) que permiten correlacionar con la consistencia de los materiales arcillosos y la densidad de los materiales granulares. De esta manera se obtuvo la variación en profundidad del valor N en cada sondeo.

Se observa de los resultados de resistencia a la penetración N en golpes del ensayo de SPT que la resistencia aumenta con la profundidad en los sondeos S-1 y S-2 hasta alcanzar valores de (N60) entre 5 y 21 golpes y (N70) entre 4 y 18 golpes.

Para el caso del sondeo S-1 la capa de arcilla limosa presente desde los 9.70 m a 10.15 m de profundidad, se obtuvieron valores de (N70=18) y (N60= 21), los cuales se asocian a una consistencia rígida. Con respecto a el sondeo S-2, se observa que la capa de arcilla presente desde los 2.4 m a 5.40 m de profundidad, se obtuvieron valores de (N70=8) y (N60= 9), los cuales se asocian a una consistencia media.

En la siguiente figura se muestra la variación de N60 con la profundidad para cada uno de los sondeos ejecutados.

Los resultados obtenidos de la correlación de N70 con la resistencia al corte no drenado⁶ se incluyen en las figuras que se presentan a continuación, en la cual se observan valores de En la siguiente figura se muestra la variación de c_u con la profundidad para cada uno de los sondeos, de haberse obtenido este parámetro por ensayo de corte directo se dará total prelación a este.

⁶ Bowles, J. E. (1988). *Foundation analysis and design*.

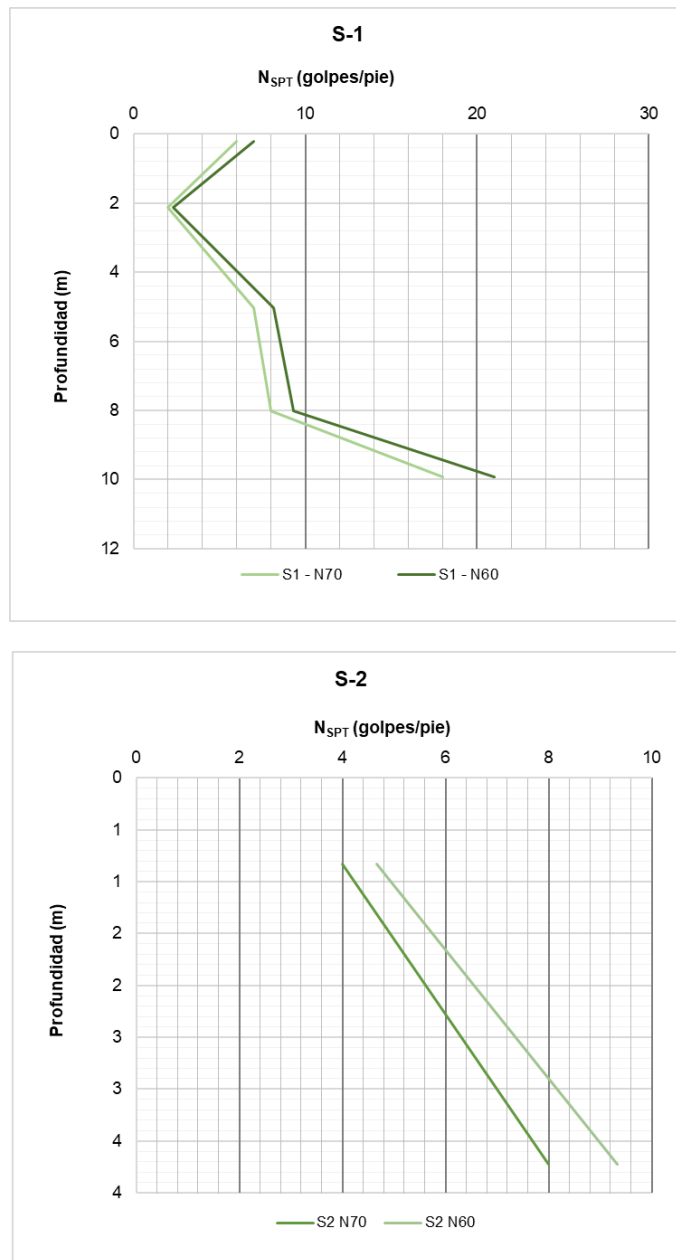


Figura 45. Variación de la resistencia a la penetración N en golpes/pie del ensayo de SPT

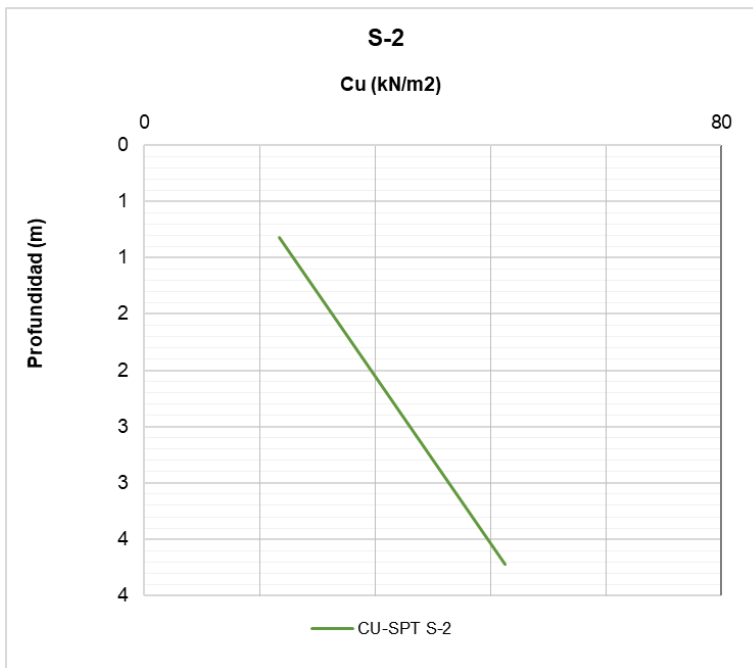
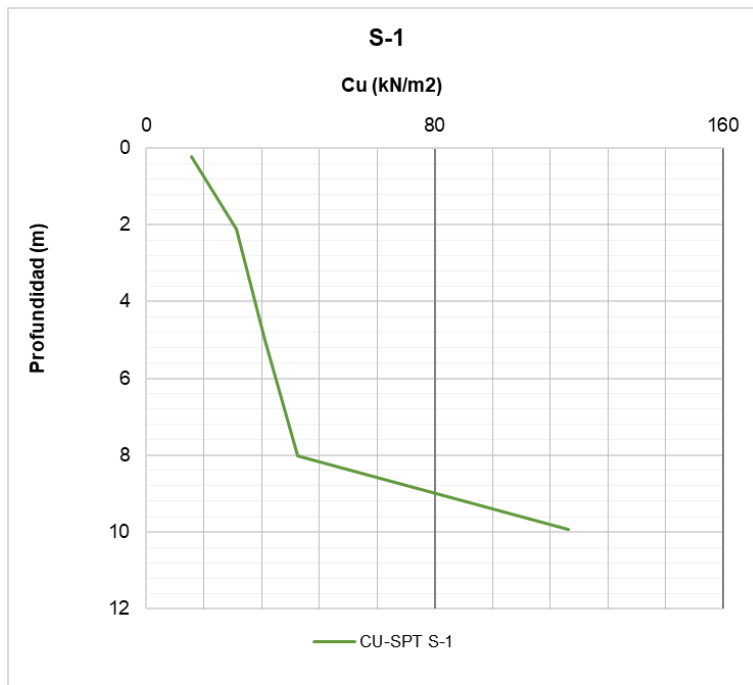


Figura 46. Variación de resistencia al corte no drenado correlacionada a partir de valores de N del ensayo de SPT

12.3.2.1 ESTIMACIÓN DE PARÁMETROS DE RESISTENCIA A PARTIR DEL ENSAYO DE SPT

Con la metodología propuesta por González, A. J. (1999), se estimaron los parámetros c'^7 y con la metodología de (Montenegro Padilla, 2014) se estimaron los parámetros $\phi^{8'}$ de manera aproximada por tipo de material. Este método consiste en graficar puntos (σ_v' , τ) en planos Mohr – Coulomb, donde los coeficientes de la regresión lineal corresponden a los parámetros geomecánicos efectivos buscados. El esfuerzo efectivo vertical se calcula como la diferencia entre el esfuerzo geostático total y la presión de poros y, el esfuerzo cortante a la profundidad del ensayo se obtiene como el producto del esfuerzo efectivo vertical por la tangente del ángulo de fricción equivalente estimado como se describió anteriormente.

A continuación, se muestran los resultados obtenidos para ángulo de fricción vs profundidad para cada uno de los sondeos.

- SONDEO 1

Tabla 26. Resultados de ϕ y c' S-1

Profundidad media	ϕ	c'
0.225	32.49	13
2.125	21.60	25
5.025	27.17	33
8.025	28.05	42
9.925	36.64	117

Fuente Geodinámica (2023)

⁷ Bowles, J. E. (1988). *Foundation analysis and design*.

⁸ (Montenegro Padilla, 2014) . Calibración del método de parámetro de resistencia con SPT en suelos de la región llanera colombiana

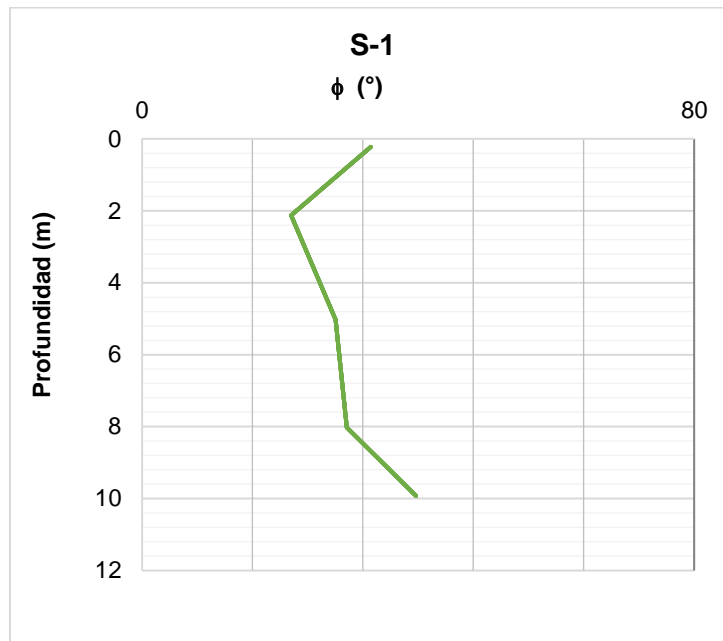


Figura 47. Resultados Angulo de Fricción Vs profundidad S-1

- **SONDEO 2**

Tabla 27. Resultados de ϕ y c' S-2

Profundidad media	ϕ	c'
0.825	26.24	19
3.725	30.41	50

Fuente Geodinámica (2023)

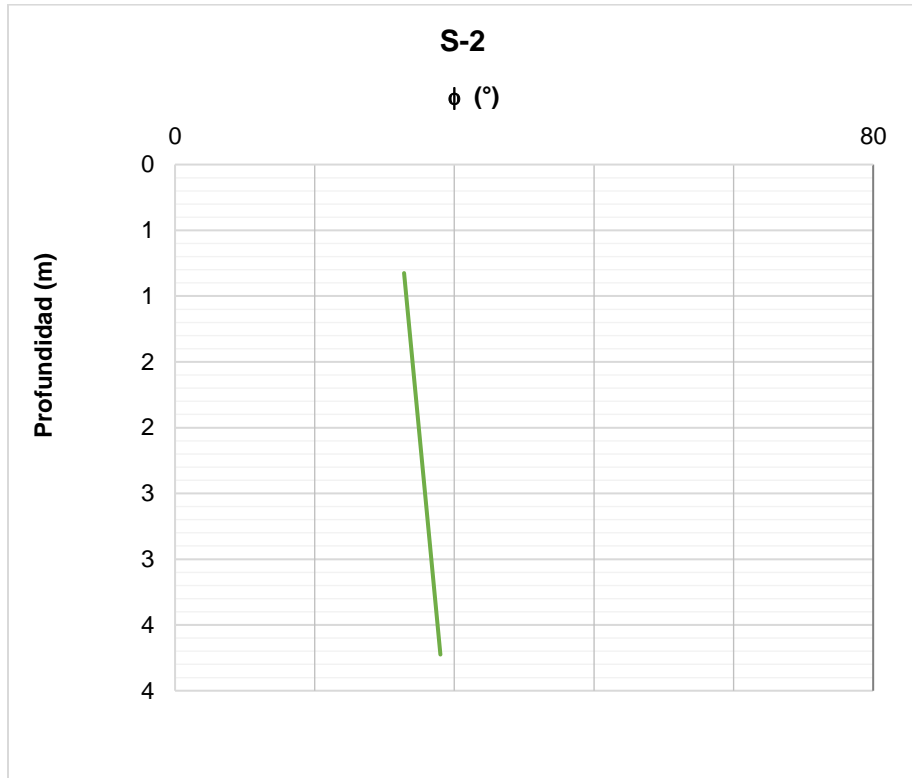


Figura 48. Resultados Angulo de Fricción Vs profundidad S-1

12.3.2.2 PORCENTAJE DE RECOBRO

De los registros de perforación se puede observar que el porcentaje de recobro de las muestras del sondeo S-1 es alto con una variación entre 70 a 100 %, tal como se indica en la siguiente Figura.

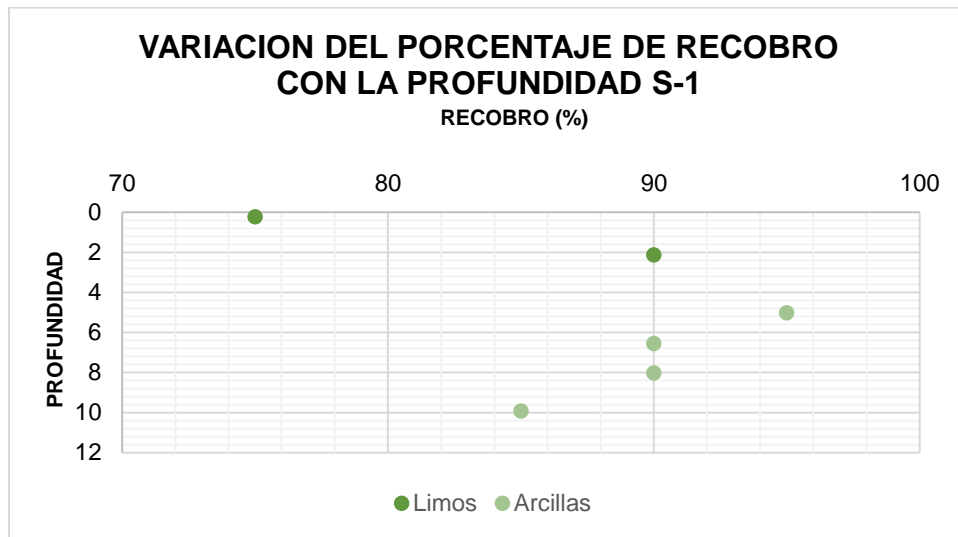


Figura 49. Variación del porcentaje de recobro con la profundidad S-1

Para el sondeo S-2 se observa que el porcentaje de recobro de las muestras está en una variación entre el 70 y el 90 %, tal como se indica en la siguiente Figura.

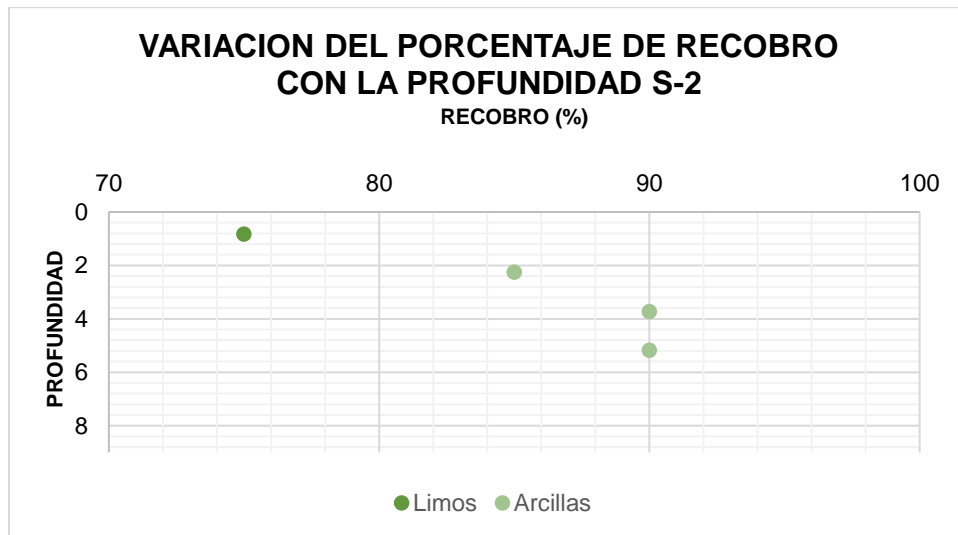


Figura 50. Variación del porcentaje de recobro con la profundidad S-2

12.4 ENSAYOS DE LABORATORIO

Durante la ejecución del proyecto se realizaron ensayos de, análisis granulométrico, determinación de la densidad (Peso unitario), determinación de la gravedad específica, determinación límite líquido, límite plástico e índice de plasticidad, determinación de contenido de agua, compresión inconfínada, hidrometrías, corte directo en condición CD, consolidación rápida y determinación del contenido orgánico. Las cantidades de ensayos se muestran en la siguiente tabla.

Tabla 28 – Cantidades de ensayos realizados para el nodo Vegas

ENSAYOS DE LABORATORIO	Vegas
Análisis granulométrico de los agregados grueso y fino	4
Determinación de la densidad (peso unitario) de muestras de suelo.	5
Determinación de la gravedad específica de las partículas sólidas de los suelos y del llenante mineral, empleando un picnómetro con agua	1
Determinación límite líquido, límite plástico e índice de plasticidad de suelos	1
Determinación en el laboratorio del contenido de agua (humedad) de muestras de suelo, roca y mezclas de suelo - agregado	6
Compresión inconfínada en muestras de suelo	1
Determinación de los tamaños de las partículas de los suelos (granulometría por tamizado e hidrometría)	2
Corte directo en condición CD, consolidada - drenada (3 puntos)	1
Consolidación Rápida	1
Determinación del contenido orgánico de un suelo mediante el ensayo de pérdida por ignición	1

(*) Se toma un resultado de peso unitario de los ensayos de compresión inconfínada

12.4.1 HUMEDAD NATURAL

La humedad natural a lo largo del perfil del subsuelo presenta una variación entre 19.80 % a 85.43 %, donde se evidencia que los valores de humedad del suelo o estrato disminuyen a medida que la profundidad aumenta.

A continuación, es posible observar la gráfica de la humedad natural presentada.

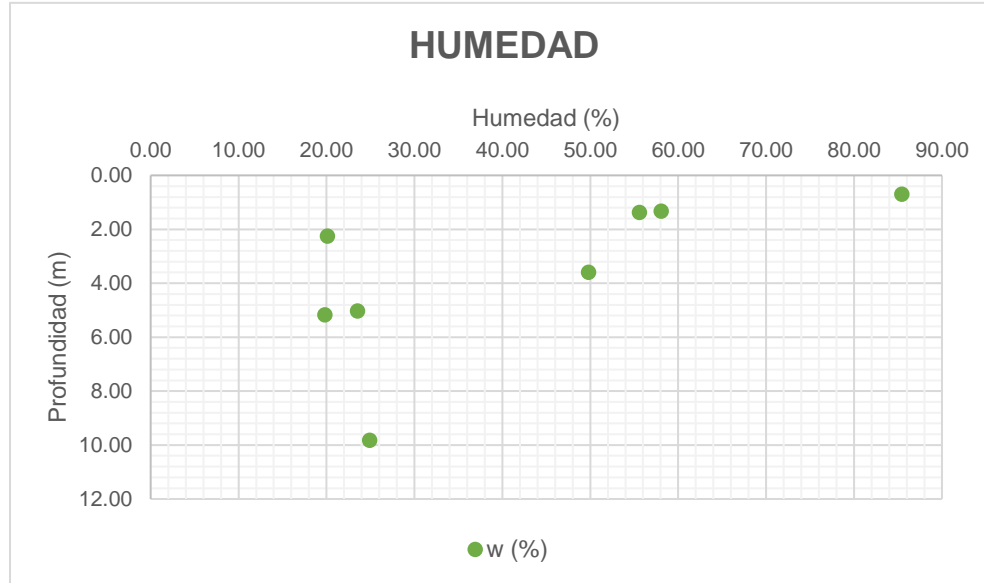


Figura 51. % Humedad Vs Profundidad

12.4.2 LIMITES DE ATTERBERG

Para este nodo, se realizó un ensayo de límites de Atterberg para la muestra 4 del sondeo 1, el límite líquido el cual permite determinar el porcentaje de humedad con que un suelo cambia es de 61%; para el caso del límite plástico, que es la humedad a la cual un pequeño cilindro de suelo comienza a desmigajarse es del 27%. Por último, el índice de plasticidad el cual indica el tamaño del intervalo de variación del contenido de humedad con el cual el suelo se mantiene plástico, presenta un valor de 34%.

De acuerdo con la carta de plasticidad y con el ensayo de límites realizado, el material se clasifica como un limo de alta plasticidad (MH) tal como se incluye en la siguiente Figura.

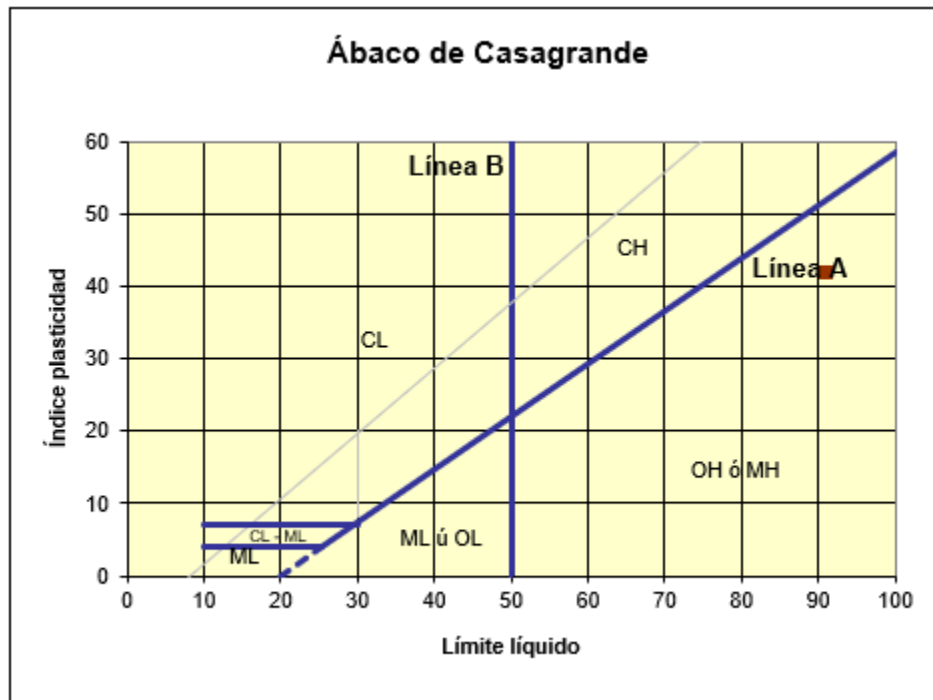


Figura 52. % Carta de plasticidad de Casagrande

12.4.3 GRANULOMETRÍA

De acuerdo con los resultados de los ensayos de laboratorio realizados, para la profundidad entre 1.25 m y 1.50 m, se presenta un 93.3% de finos y un 6.70% de arenas en la composición granulométrica. A 3.35 m y 3.85 m, se presenta una composición granulométrica promedio de 88.6% de finos y 11.4% de arenas.

Para las profundidades entre 4.80 m y 5.25 m identificado como arcilla limosa plástica, la composición granulométrica promedio es de 87% de finos y 13% de arenas. La composición granulométrica promedio para las profundidades entre 9.6 m y 10.05 m, es de 88% de finos y 12% de arenas. A continuación, se muestran los resultados obtenidos de la determinación de los tamaños de las partículas de los suelos.

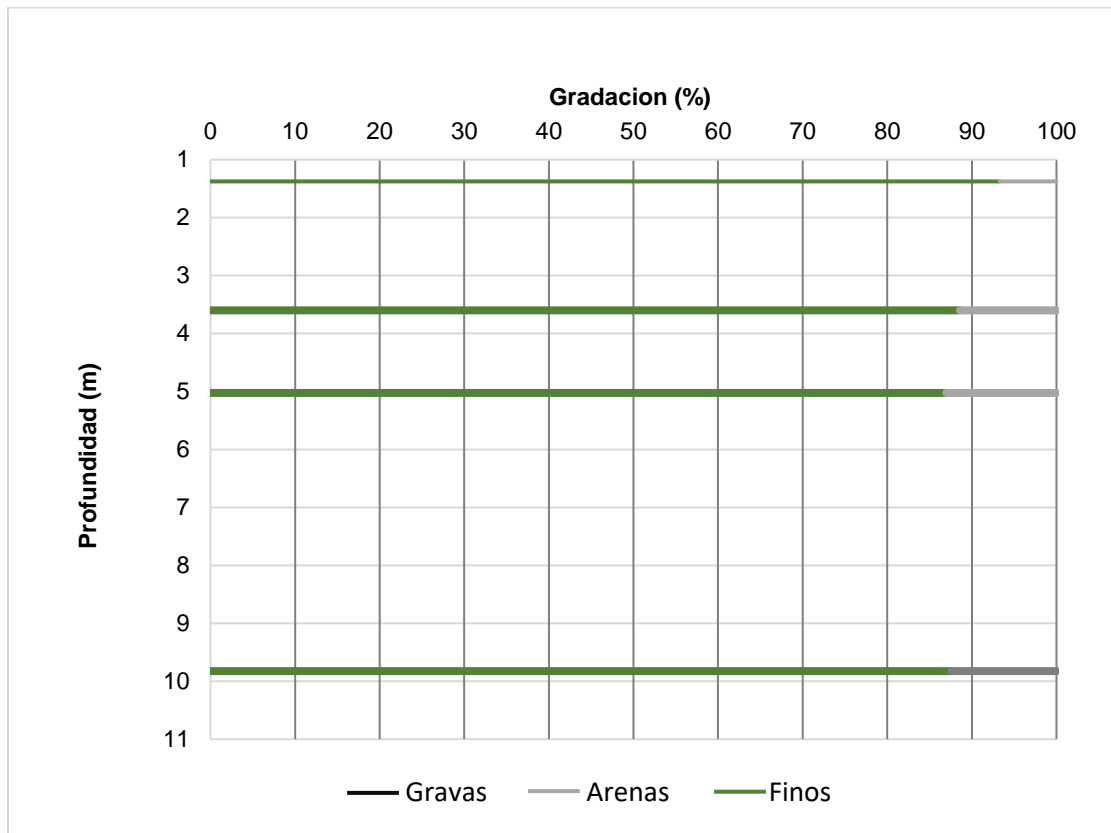


Figura 53. Distribución granulométrica Vs profundidad

12.4.4 PESO UNITARIO:

El peso unitario total presenta una variación entre 13.63 kN/m³ a 20.1 kN/m³, con un valor promedio de 17.10 kN/m³.



Figura 54. Peso unitario Vs. Profundidad

12.4.5 GRAVEDAD ESPECÍFICA:

Para este nodo, el valor de gravedad específica (Gs) obtenido se encuentra entre de 2.75 a 2.79.



Figura 55. % Gravedad específica Vs Profundidad

12.4.6 CORTE DIRECTO

Este ensayo se realizó sobre 1 muestra extraída del presente estudio, permitiendo determinar las condiciones o parámetros de resistencia de los materiales más superficiales o rellenos, junto con el material identificado del S1 (M2) sobre el cual se extrajo una muestra representativa por medio de barrena. El valor obtenido para ángulo de fricción es de 20.3° y de 14.71 kPa para cohesión.

Tabla 29 – Resultados de ensayos de corte directo

Sondeo	Muestra	Profundidad (m)	Descripción	Cohesión c' kPa	Ángulo de fricción (φ')
S1	2	0.45 – 0.95	Relleno compuesto por limo arcilloso, gravas finas, raíces finas, humedad alta, color café con manchas de color gris y marrón.	14.71	20.3

12.4.7 CONSOLIDACIÓN RÁPIDA:

Este ensayo se realizó sobre 1 muestra extraída del presente estudio, junto con el material identificado del S2 (M2). El esfuerzo de pre consolidación para esta muestra fue de 181 kPa.

Tabla 30 – Resultados de ensayos de corte directo

Sondeo	Muestra	Profundidad (m)	Descripción	Esfuerzo de Pre consolidación (kPa)
S2	2	2.0 – 2.5	Arcilla plástica con puntos de óxido color ocre, la muestra presenta zonas fisuradas, humedad alta, consistencia media, color gris con manchas color café.	181

12.4.8 HIDROMETRÍAS:

Este ensayo se realizó en dos muestras extraídas del presente estudio, en los materiales identificados del S2 (M2) y S2 (M4), en los cuales se obtuvieron los siguientes resultados:

- **S2 (M2):**

En esta muestra se obtuvieron los siguientes resultados:

- % de arena fina → 2.2%
- % de finos → 97.8%
- % de Limos → 34.9%
- % de arcillas → 62.9%

La siguiente figura, permite conocer la curva hidrométrica de la muestra en estudio.

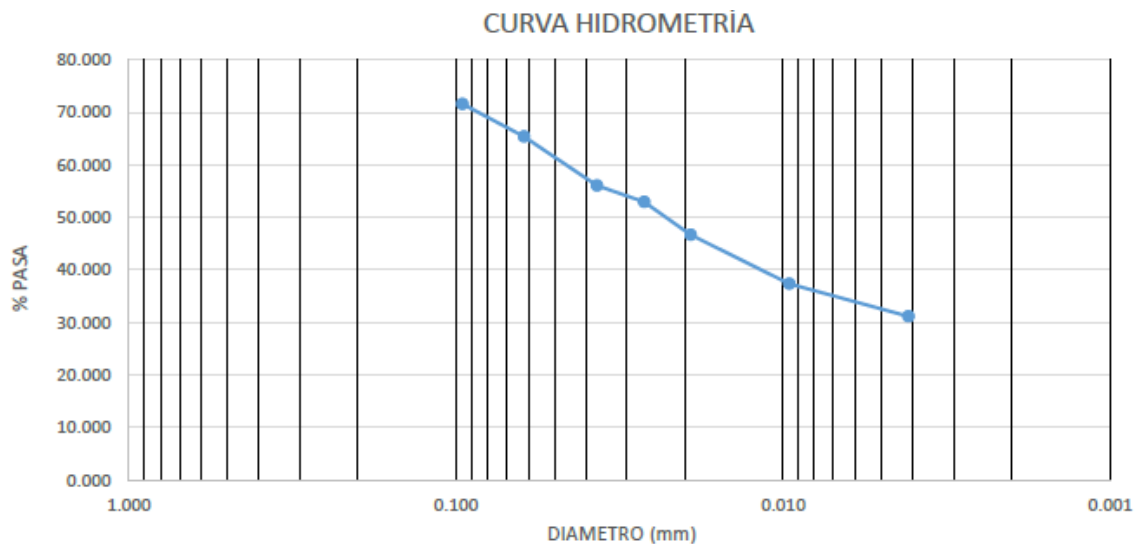


Figura 56. % Curva Hidrometría S2(M2)
Fuente: Bateman Ingeniería S.A.S. (2023)

- **S2 (M4):**

En esta muestra se obtuvieron los siguientes resultados:

- % de arena fina → 1.6%
- % de finos → 98.4%
- % de Limos → 33.7%
- % de arcillas → 64.7%

La siguiente figura, permite conocer la curva hidrométrica de la muestra en estudio.

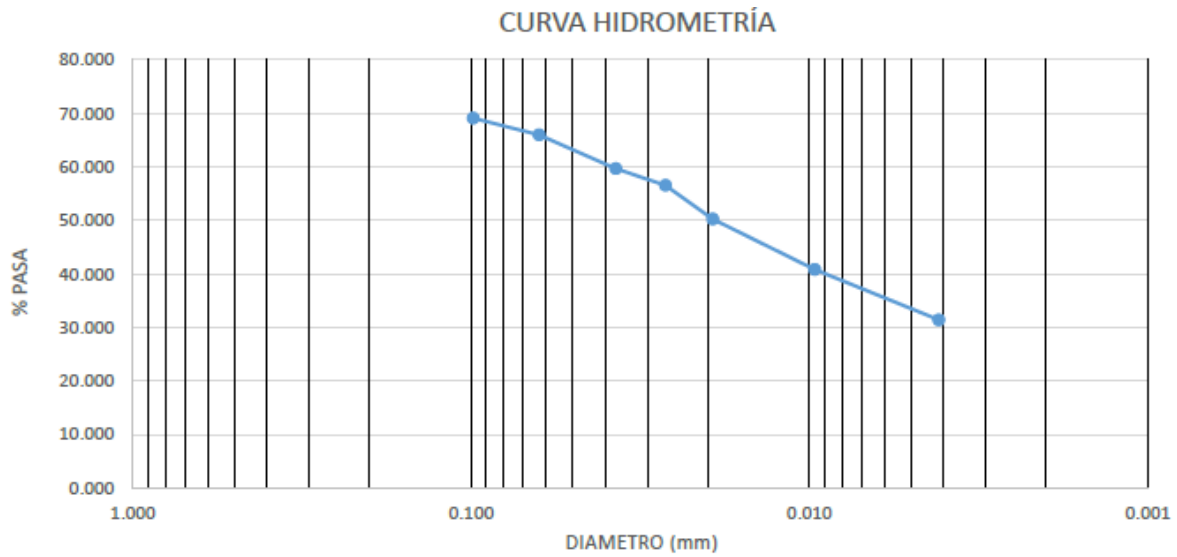


Figura 57. % Curva Hidrometría S2(M4)
Fuente: Bateman Ingeniería S.A.S. (2023)

A continuación, es posible observar la tabla resumen de resultados de los ensayos realizados para el nodo de estudio:

12.5 ANÁLISIS ESTADÍSTICO DETALLADO DE PARÁMETROS GEOTÉCNICOS:

12.5.1 ÁNGULO DE FRICCIÓN Y COHESIÓN:

Para realizar el análisis estadístico, se toma el ángulo de fricción, la cohesión y el peso unitario como parámetros geotécnicos requeridos en el estudio. Inicialmente, es importante tener en cuenta la estimación de los parámetros de resistencia a partir del ensayo SPT, con la metodología propuesta por González, A. J. (1999), donde se estimaron los parámetros c' y con la metodología de (Montenegro Padilla, 2014) de manera aproximada por tipo de material. Es importante tener en cuenta que, para este análisis, es necesario tener en cuenta los parámetros obtenidos a partir de los ensayos de laboratorio. En la siguiente tabla, es posible observar el valor de los parámetros para cada uno de los sondeos.

Tabla 31. Parámetros estimados para cada sondeo

Profundidad media	ϕ_v (°)	c' (kPa)
Sondeo 1		
0.225	32.49	13
2.125	21.60	25
5.025	27.17	33
8.025	28.05	42
9.925	36.64	117
Sondeo 2		
0.825	26.24	19
3.725	30.41	50

En la siguiente tabla, es posible observar el valor de los parámetros obtenido a partir del ensayo de corte directo:

Tabla 32. Parámetros estimados a partir del ensayo de laboratorio

Profundidad media	ϕ (°)	c' (kPa)
S1 (M2)		
0.7	20.3	14.71

Teniendo en cuenta los valores de los parámetros estimados en cada sondeo a partir del ensayo SPT, se determina:

12.5.1.1 Sondeo 1:

12.5.1.1.1 Muestra 1:

Profundidad media	ϕ (°)	c' (kPa)
0.225	32.49	13

Para esta muestra se obtiene un valor de $N_{70} = 6$, donde para la profundidad media de 0.225 m, se encuentra un limo arcilloso, el cual presenta teóricamente un valor de 32.49° como ángulo de fricción y una cohesión de 13 kPa, donde para el análisis estadístico se tiene en cuenta estos valores, considerando que el material encontrado a esta profundidad presenta características similares al material al cual se le realizó el ensayo de laboratorio.

12.5.1.1.2 Muestra 3:

Profundidad media	ϕ (°)	c' (kPa)
2.125	21.60	25

Para esta muestra se obtiene un valor de $N_{70} = 2$, donde para la profundidad media de 2.125 m, se encuentra limo arcilloso, el cual presenta teóricamente un valor de 21.60° como ángulo de fricción y una cohesión de 25 kPa, donde para el análisis estadístico se tiene en cuenta estos valores, considerando que el material encontrado a esta profundidad presenta características similares al material al cual se le realizó el ensayo de laboratorio.

12.5.1.1.3 Muestra 5:

Profundidad media	ϕ (°)	c' (kPa)
5.025	27.17	33

Para esta muestra se obtiene un valor de $N_{70} = 7$, donde para la profundidad media de 5.025 m, se encuentra una arcilla limosa, la cual presenta teóricamente un valor de 27.17° como ángulo de fricción y una cohesión de 33 kPa, es importante tener en cuenta que aunque el material encontrado a esta profundidad presenta características diferentes al material al que se le realizó el ensayo de laboratorio, dicho parámetro se toma para el análisis estadístico considerando la presencia de materiales finos.

12.5.1.1.4 Muestra 7:

Profundidad media	ϕ ($^\circ$)	c' (kPa)
8.025	28.05	42

Para esta muestra se obtiene un valor de $N_{70} = 8$, donde para la profundidad media de 8.025 m, se encuentra un material idéntico al de la muestra anterior, la cual presenta teóricamente un valor de 28.05° como ángulo de fricción y una cohesión de 42 kPa, es importante tener en cuenta que aunque el material encontrado a esta profundidad presenta características diferentes al material al que se le realizó el ensayo de laboratorio, dicho parámetro se toma para el análisis estadístico considerando la presencia de materiales finos.

12.5.1.1.5 Muestra 9:

Profundidad media	ϕ ($^\circ$)	c' (kPa)
9.925	36.64	117

Para esta muestra se obtiene un valor de $N_{70} = 18$, donde para la profundidad media de 9.925 m, se encuentra una arcilla limosa, la cual presenta teóricamente un valor de 36.64° como ángulo de fricción y una cohesión de 117 kPa, donde para el análisis estadístico no se tiene en cuenta estos valores, considerando que la consistencia es muy rígida.

12.5.1.2 Sondeo 2:

12.5.1.2.1 Muestra 1:

Profundidad media	ϕ (°)	c' (kPa)
0.825	26.24	19

Para esta muestra se obtiene un valor de $N_{70} = 4$, donde para la profundidad media de 0.825 m, se encuentra un limo arcilloso, el cual presenta teóricamente un valor de 26.24° como ángulo de fricción y una cohesión de 19 kPa, donde para el análisis estadístico se tiene en cuenta estos valores, considerando que el material encontrado a esta profundidad presenta características similares al material al cual se le realizó el ensayo de laboratorio.

12.5.1.2.2 Muestra 3:

Profundidad media	ϕ (°)	c' (kPa)
3.725	30.41	50

Para esta muestra se obtiene un valor de $N_{70} = 8$, donde para la profundidad media de 3.725 m, se encuentra una arcilla limosa, la cual presenta teóricamente un valor de 30.41° como ángulo de fricción y una cohesión de 50 kPa, donde para el análisis estadístico se tiene en cuenta estos valores, considerando que el material encontrado a esta profundidad presenta características similares al material al cual se le realizó el ensayo de laboratorio.

A continuación, es posible observar la estadística descriptiva realizada para los parámetros mencionados anteriormente, donde se obtiene:

12.5.2 Ángulo de fricción (ϕ):

Para el ángulo de fricción, se obtiene:

Tabla 33. Análisis estadístico (Ángulo de fricción)

ϕ (°)	
Media	27.65875658
Error típico	1.527093821
Mediana	27.60957112
Moda	#N/D
Desviación estándar	3.740600651
Varianza de la muestra	13.99209323
Curtosis	0.732886613
Coefficiente de asimetría	-0.529392216
Rango	10.88722612
Mínimo	21.59795095
Máximo	32.48517707
Suma	165.9525395
Cuenta	6

Teniendo en cuenta los valores teóricos del ángulo de fricción, se obtienen como medio un valor de 27.7 °, el cual para el análisis a realizar tomara un porcentaje de importancia del 40%, considerando que este valor representa un supuesto de lo encontrado en el terreno. Como desviación estándar, la cual mide la dispersión de la distribución, se tiene un valor de 3.74.

12.5.3 Cohesion (c'):

Para la cohesión, se obtiene:

Tabla 34. Análisis estadístico (cohesión)

c'	
Media	30.208333
Error típico	5.803884
Mediana	29
Moda	#N/D

Desviación estándar	14.216554
Varianza de la muestra	202.11042
Curtosis	-1.295169
Coefficiente de asimetría	0.2312815
Rango	37.5
Mínimo	12.5
Máximo	50
Suma	181.25
Cuenta	6

Teniendo en cuenta los valores teóricos de la cohesión, se obtienen como media un valor de 30.2 kPa, el cual para el análisis a realizar tomara un porcentaje de importancia del 40%, considerando que este valor representa un supuesto de lo encontrado en el terreno. Como desviación estándar, la cual mide la dispersión de la distribución, se tiene un valor de 14.21.

Considerando los valores estimados a partir del análisis presentado anteriormente, se toma un porcentaje de importancia del 40% para el valor de cohesión y ángulo de fricción, para los valores obtenidos en laboratorio el porcentaje de importancia es del 60%, teniendo en cuenta que en laboratorio se realiza un análisis detallado de la muestra.

Tabla 35. Análisis estadístico de parámetros

Porcentaje (%)	ϕ	c'
40%	27.7	30.2
60%	20.3	14.7
100%	23.24	20.91

12.5.4 PESO UNITARIO:

Para el peso unitario, se obtiene:

Tabla 36. Análisis estadístico (Peso Unitario)

<i>Peso Unitario (kN/m³)</i>	
Media	17.1
Error típico	1.2277581
Mediana	16.08
Moda	#N/D
Desviación estándar	2.7453506
Varianza de la muestra	7.53695
Curtosis	-1.947695
Coefficiente de asimetría	0.0107033
Rango	6.47
Mínimo	13.63
Máximo	20.1
Suma	85.5
Cuenta	5

Teniendo en cuenta los resultados de los pesos unitarios obtenidos en el laboratorio, se tiene como media un valor de 17.1 kN/m^3 , el cual para el análisis a realizar tomara un porcentaje de importancia del 100%, Como desviación estándar, la cual mide la dispersión de la distribución, se tiene un valor de 2.74.

Realizando el análisis, y aplicando los coeficientes de importancia descritos anteriormente, se estiman los siguientes parámetros para el estudio:

Tabla 37. Parámetros Geotécnicos

ϕ (°)	C' (kPa)	γ (kN/m ³)
23.24	20.91	17.10

12.6 MODELO GEOLÓGICO GEOTÉCNICO.

Con base en el análisis geológico se logra determinar la presencia de dos UGI, correspondientes al suelo residual arcilloso y roca blanda. Con base en los resultados de laboratorio se les asignan parámetros geotécnicos, características geomecánicas de resistencia y densidad, las unidades son:

12.6.1 Roca Blanda (Rb)

Corresponde a una secuencia de lodolitas y limolitas, grises rojizas y blancas, intercaladas con arenitas líticas en capas gruesas, esta unidad se encuentra en el subsuelo del área de estudio, y hace parte del flanco oriental del sinclinal de San Juan.

En el polígono Las Vegas no se registró la presencia de la roca blanda en las perforaciones exploratorias realizadas, la información geológica indica que la unidad está presente en el subsuelo infrayaciendo el suelo residual presente en superficie.

La UGI conocida como roca blanda (Rb), se denomina así, ya que dentro de la exploración geotécnica no fue posible caracterizar a que roca se asocia.

12.6.2 Suelo residual arcilloso (Sra).

Unidad generada por la meteorización de la unidad roca blanda, está integrada por arcilla orgánica con raíces, limo arcilloso marrón con arena fina intercalada, arcilla limosa de color marrón con arena fina intercalada, con vetas de color café claro, de consistencia media.

Esta unidad se reconoció mediante los sondeos exploratorios y en los apiques realizados, en los registros exploratorios su espesor alcanzó más de 10 m en el sondeo exploratorio S1, en el sondeo exploratorio S2 no se logró establecer el espesor del suelo residual debido a la poca profundidad perforada, sin embargo, se estima un espesor entre 10 y 15 m.

Teniendo en cuenta las UGI descritas en la guía metodológica el suelo residual encontrado en el nodo Vegas corresponde a un suelo residual arcilloso, por lo cual se caracteriza con la nomenclatura Sra.

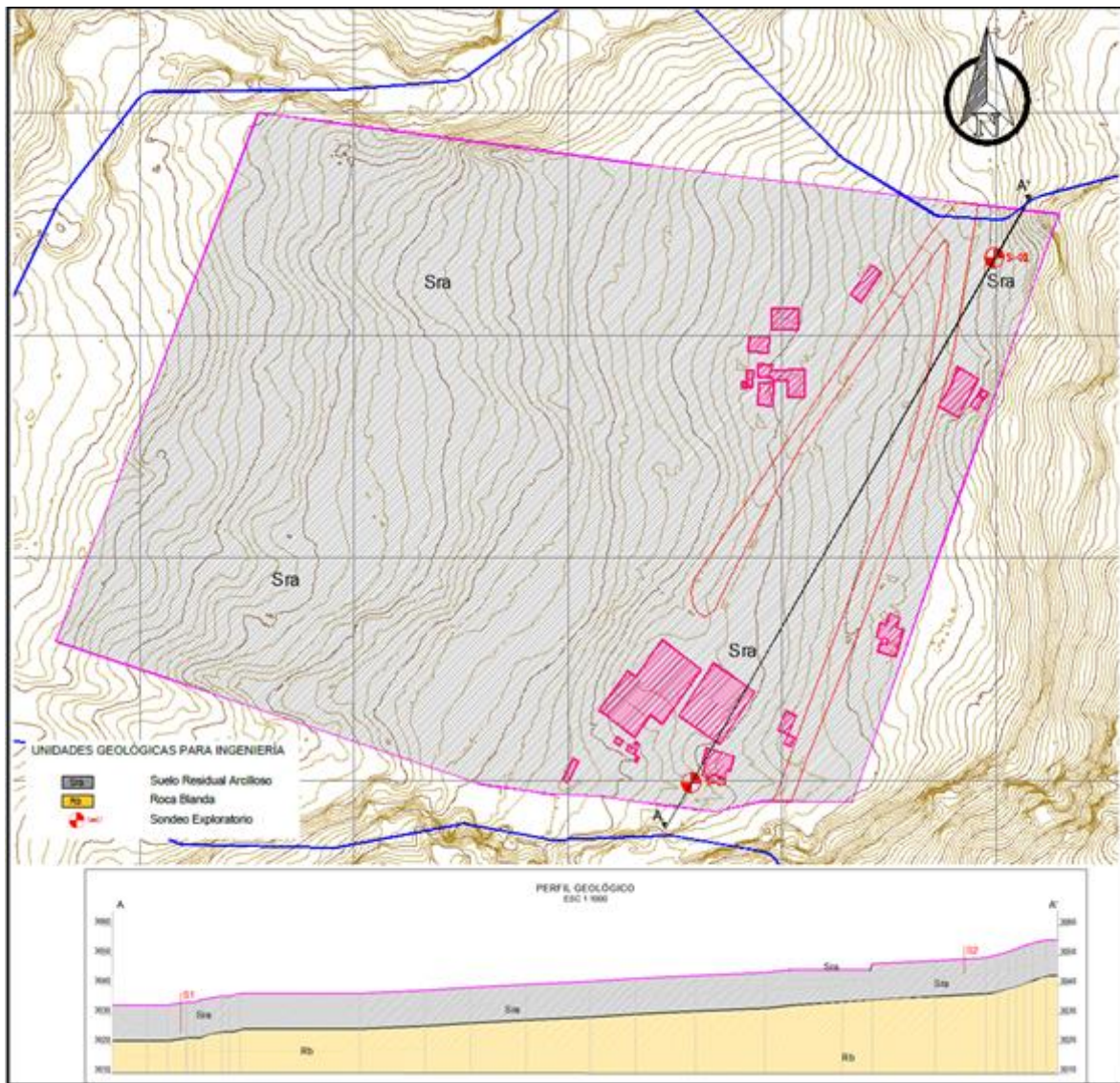


Figura 59 Unidades geológicas para ingeniería del polígono Las Vegas. Escala 1:5.000

Tabla 38 Características zonas geotécnicas

Suelo residual arcilloso Entre 10 – 15 m.

Humedad: 23.5-85.4 %

Peso Unitario:	17.10 kN/m ³
Ángulo de fricción ⁹	23.24
Gravedad específica	2.714 - 2.787
Cohesión ¹⁰	20.91 kPa

Material 2: Roca Blanda.

Roca Blanda.

Peso Unitario:	20.4 kN/m ³
Ángulo de fricción	45°
Cohesión ¹¹	200 kPa

Tabla 39 – Resumen de parámetros de resistencia obtenidos a partir de correlación con N de SPT

Material	γ (kN/m ³)	c' (kN/m ²)	ϕ' (°)
Suelo residual arcilloso	17.10	20.91	23.24
Roca blanda	20.4	200	45

Fuente Geodinámica (2023)

⁹ Carmona-Álvarez, J. E., & Ruge-Cárdenas, J. C. (2015). Análisis de las correlaciones existentes del ángulo de fricción efectivo para suelos del piedemonte oriental de Bogotá usando ensayos in situ. *Tecnológicas*, 18(35), 93-104.

¹⁰ Bowles, J. E. (1988). *Foundation analysis and design*.

¹¹ Bowles, J. E. (1988). *Foundation analysis and design*.

12.7 NIVEL FREÁTICO.

12.7.1 NIVEL FREÁTICO REPORTADO EN CAMPO

A manera de resumen se muestran las profundidades del nivel freático obtenido en los sondeos realizados para este sitio

Tabla 40. Tabla resumen de nivel freático

Sondeo	Nivel Freático (m)
S-1	0.575
S-2	3.8

12.7.2 ANÁLISIS DEL NIVEL FREÁTICO:

Definidas las unidades geotécnicas para los análisis básicos, es necesario evaluar la inestabilidad resultante de la acción hídrica relacionada con la fluctuación del nivel freático.

Para estimar la variabilidad del nivel freático a partir de la variabilidad de la magnitud de la infiltración, se requiere realizar una clasificación de las unidades geotécnicas según los tipos A, B, C o D. En la siguiente figura, se definen los cuatro grupos de suelos:

- Grupo A: Arena profunda, suelos profundos depositados por el viento, limos agregados.
- Grupo B: Suelos poco profundos depositados por el viento, marga arenosa.
- Grupo C: Margas arcillosas, margas arenosas poco profundas, suelos con bajo contenido orgánico y suelos con altos contenidos de arcilla.
- Grupo D: Suelos que se expanden significativamente cuando se mojan, arcillas altamente plásticas y ciertos suelos salinos.

Figura 60. Clasificación de los suelos
Fuente: (Chow V.T., 1994)

Para el presente estudio el tipo de suelo y uso de la tierra, se catalogó en el grupo de suelos C, los valores de CN utilizados para el grupo de suelos C se presentan en la siguiente tabla.

USO DE SUELO	GRUPO HIDROLÓGICO DE SUELO			
	A	B	C	D
Tierra cultivada				
Sin tratamiento de conservación	72	81	88	91
Con tratamiento de conservación	62	71	78	81
Pastizales				
Condiciones pobres	68	79	86	89
Condiciones óptimas	39	61	74	80
Vegas de ríos	30	58	71	78
Bosques				
Troncos delgados, cubierta pobre, sin hierbas	45	66	77	83
Cubierta buena	25	55	70	77
Áreas abiertas, césped, parques, campos de golf, cementerios, etc.				
Óptimas condiciones: cubierta en pasto (75 % o más)	39	61	74	80
Condiciones aceptables: cubierta en pasto (50 al 75 %)	49	69	79	84
Áreas comerciales de negocios (85 % impermeables)	89	92	94	95
Distritos industriales (72 % impermeables)	81	88	91	93
Residencial				
Tamaño promedio lote porcentaje promedio impermeable				
1/8 de acre 65	77	85	90	92
1/4 de acre 38	61	75	83	87
1/3 de acre 30	57	72	81	86
1/2 de acre 25	54	70	80	85
1 de acre 20	51	68	79	84
Parqueadero pavimentado, techos, accesos, etc.	98	98	98	98
Calles y carreteras				
Pavimentados con cunetas y alcantarillados	98	98	98	98
Grava	76	85	89	91
Tierra	72	82	87	89

Figura 61. Valores de numero de curva para diferentes grupos hidrológicos y uso del suelo
Fuente: (Chow V.T., 1994)

Se define un numero adimensional de curva CN, tal que $0 \leq CN \leq 100$. Para superficies impermeables y superficies de agua $CN=100$, para superficies naturales $CN \leq 100$.

Una vez realizada la clasificación hidrológica del suelo, se procedió a calcular la retención potencial máxima (S) la cual se determinó con la siguiente formula:

$$S = \frac{25400}{CN} - 254$$

Donde:

CN = Numero de curvas seleccionadas para condiciones de humedad II

Con los registros de precipitación diaria (P) suministrados por la estación más cercana al polígono de estudio se procede a calcular la precipitación infiltrada en 24 horas (P_i), haciendo uso de la ecuación de lluvia- escorrentía del SCS, la cual se presenta a continuación:

$$P_i = P - P_e$$

Donde P_e se calculó de la siguiente forma:

$$P_e = \frac{(P \cdot 0.2S)^2}{P + 0.8S}$$

$P =$ Precipitación diaria

Con los datos de precipitación infiltrada en 24 horas, se procedió a calcular el valor de precipitación de infiltración total, haciendo uso de los valores diarios de precipitación infiltrada para cada año del registro y calculando la precipitación infiltrada media anual haciendo uso de la siguiente fórmula:

$$\bar{x} = \frac{x_1 + x_2 + x_3 + \dots + x_n}{n}$$

Posteriormente se procede a calcular la desviación estándar (σ) y el coeficiente de variación (CV) de los datos de precipitación infiltrada media anual haciendo uso de las siguientes fórmulas:

$$\sigma = \sqrt{\frac{\sum_{i=1}^n (x_i - \bar{x})^2}{n - 1}}$$

$$CV = \frac{\sigma}{\bar{x}} * 100$$

Se calculó la profundidad media del nivel freático en milímetros reportados en las exploraciones de campo:

$$\bar{p}_f = \frac{p_{f_1} + p_{f_2} + \dots + x_n}{n}$$

Por último, se consideró una intensidad de la lluvia infiltrada diaria (I_{20}) para un periodo de retorno de 20 años. Este análisis se hace suponiendo una variación a largo plazo del nivel freático. La profundidad del nivel freático para dicho periodo se estimó haciendo uso de la siguiente fórmula:

$$P_{f20} = (\bar{P}_f - 1.65CVP_f) - (I_{i20} * 24)$$

Considerando que sobre este polígono se presentan 8 tipos de usos diferentes, estos usos fueron agrupados en 5 grupos hidrológicos del suelo, donde se toman así:

- **Cubierta de pasto (50% al 75%)** → % Arbustal Abierto + % Vegetación Secundaria
- **Residencial** → % Área culturales + % Tejido urbano discontinuo
- **Pastizales condiciones pobres** → % Pastos Arbolados + % Pastos Limpios
- **Pastizales condiciones óptimas** → % Pastos enmalezados
- **Calles y carreteras** → % Red vial

En el grupo hidrológico del suelo denominado residencial, se encuentran las áreas culturales y el tejido urbano discontinuo con un valor de CN de 79.00 considerando las descripciones dadas en la figura anterior.

Teniendo en cuenta la metodología mencionada para el proyecto y haciendo uso de las ecuaciones anteriormente descritas se obtienen los siguientes resultados.

Tabla 41. Resultado de nivel freático asociado a una lluvia de 20 años

RESULTADOS OBTENIDOS					
UGI	GRUPO HIDROLOGICO DEL SUELO	CN	Pf20 (m)	h (m)	hw (m)
Sra	Cubierta de pasto (50% al 75%)	70.00	3.80	15.00	11.20
	Residencial	79.00	0.57	15.00	14.43
	Pastizales condiciones pobres	86.00	3.79	15.00	11.21
	Pastizales condiciones óptimas	74.00	0.58	15.00	14.42
	Calles y carreteras	89.00	0.57	15.00	14.43

12.8 ANÁLISIS DE ESTABILIDAD

12.8.1 TALUD INFINITO

El método de talud infinito es un método para determinar el factor de seguridad de un talud, suponiendo que el talud se extiende de forma infinita en todas las direcciones y que el deslizamiento ocurre a lo largo del plano paralelo a la cara del talud. Este método cumple con condiciones para el equilibrio de fuerzas y equilibrio de momentos a pesar de que no se consideran explícitamente, debido a que las fuerzas son colineales y las fuerzas normales actúan en el centro del talud (Duncan J.M., 2005)

Para un talud uniforme y relativamente largo en el cual el mecanismo de falla esperado no es muy profundo, los efectos de borde son despreciables y el factor de seguridad puede calcularse a partir de una unidad de área con base en el criterio de Mohr- Coulomb.

Para realizar el análisis del método de talud infinito, se requieren conocer los siguientes parámetros:

- Altura de la masa deslizante z
- Altura del agua subterránea medida durante el movimiento h
- Angulo de inclinación de la horizontal β
- Peso específico del suelo γ
- Presión de poros μ
- Cohesión c
- Tensión vertical efectiva sobre el plano de deslizamiento σ
- Resistencia al corte sobre el plano de deslizamiento σ_n
- Resistencia al esfuerzo cortante τ_f
- Angulo de rozamiento del terreno ϕ

Para determinar la tensión vertical efectiva sobre el plano de deslizamiento se utilizó la siguiente expresión.

$$\sigma = \frac{\text{Peso efectivo del prisma por (und) de profundidad}}{\text{Superficie de actuación}}$$

$$\sigma = z * \cos\beta[\gamma - \gamma_w (1 - \varepsilon)]$$

Obtenida la tensión vertical efectiva sobre el plano de deslizamiento, se procede a calcular la resistencia al corte sobre el plano de deslizamiento:

$$\sigma_n = z * \cos\beta^2 [\gamma - \gamma_w (1 - \varepsilon)]$$

y la resistencia al esfuerzo cortante calculada por la fórmula propuesta por Coulomb.

$$\tau_f = c + z * \cos\beta^2 [\gamma - \gamma_w (1 - \varepsilon)] * \tan\phi$$

La fuerza perturbadora que induce la tensión de corte sobre el plano de deslizamiento, es la componente del peso total del prisma actuando sobre el plano de deslizamiento, esta se determinó por medio de la siguiente expresión:

$$Tensión\ perturbadora = \frac{\gamma z}{2} * \sen 2\beta$$

El factor de seguridad varia con la posición del nivel freático de acuerdo con la relación r_u que se denomina coeficiente de presión de poros y que relaciona la presión de poros con la altura del suelo, para determinar esta relación se utilizo la siguiente formula

$$r_u = \frac{\mu}{Z}$$

Como se menciona anteriormente el factor de seguridad varía con la posición del nivel freático, por lo que esto se debe tener en cuenta a la hora de ser determinado. Para el presente estudio el factor de seguridad se determina por medio de la siguiente expresión:

$$F = \frac{c + (z * \cos\beta^2 * \gamma - \mu) * \tan\phi}{\frac{\gamma z}{2} * \sen 2\beta}$$

12.8.1.1 Angulo de inclinación de la horizontal β

El valor del Angulo beta para el polígono de estudio es de $\beta = 7^\circ$

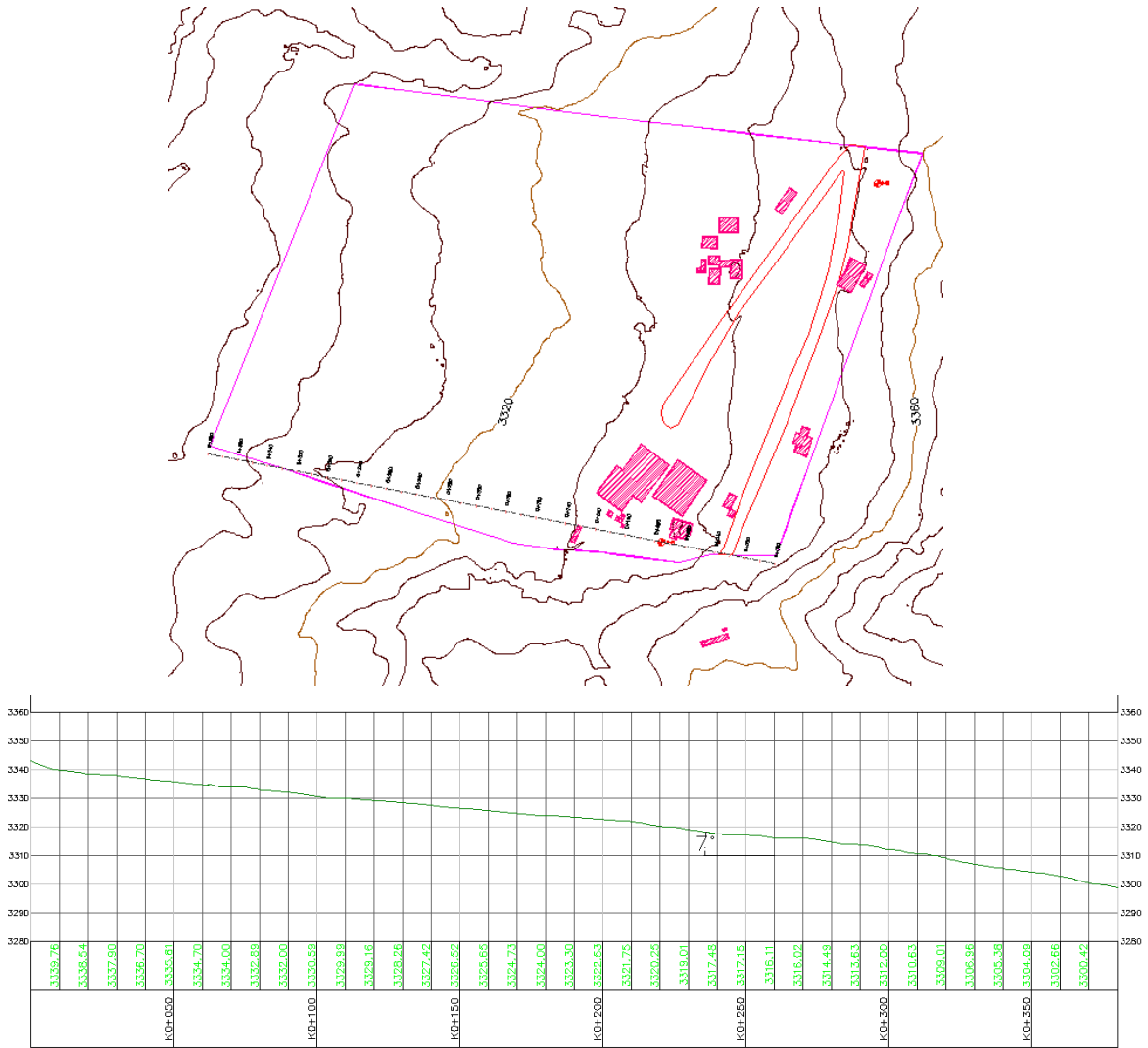


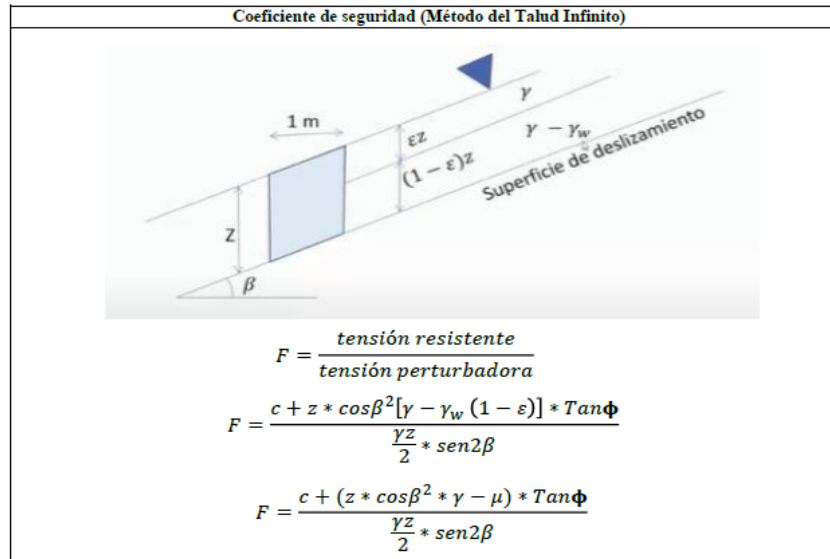


Figura 62. Planta y perfil de Angulo β

GEODINAMICA INGENIERIA 	METODO DEL TALUD INFINITO VEGAS	 IDIGER Instituto Distrital de Gestión de Riesgos y Cambio Climático
No. DEL PROYECTO:	188 Zonificación Sumapaz	



DATOS ENTRADA		
c	20.91	kN/m ²
z	15	m
z _w	0.57	m
γ	17.1	kN/m ³
γ _w	9.81	kN/m ³
β	7	°
Φ	23.24	°

DATOS SALIDA		
β	0.122173	Rad
Φ	0.4056145	Rad
μ	5.5917	kN/m ³
F _s	4.094	

RESULTADO	
F _s	4.094
¿ALTA?	NO
¿MEDIA?	NO
¿BAJA?	SI

Figura 63. Método del Talud Infinito

12.9 EVALUACIÓN Y ZONIFICACIÓN DE AMENAZA POR MOVIMIENTOS EN MASA:

Tomando como base la Guía Metodológica del Servicio Geológico Colombiano, a partir del cual se establece que los estudios realizados para escalas 1:5000, se desarrollaron por medio de análisis determinísticos e información secundaria existente (cartografía) la generación de los mapas temáticos relacionados a geología, geomorfología, coberturas y uso del suelo.

Así mismo, se tomó en cuenta los factores condicionantes tales como la UGI, elementos geomorfológicos, la exploración básica del subsuelo, información secundaria relacionada a eventos ocurridos con movimientos en masa en las áreas de estudio y coberturas y usos del suelo.

A continuación, se detalla lo realizado a lo largo del presente informe, donde se destaca:

- A. (UGI), Información geológica con la distribución, propiedades físicas y mecánicas de las rocas, suelos, nivel freático, características del relieve, dicha información permitió diferenciar materiales aflorantes, definir el espesor de suelo, las características estructurales y caracterizar los materiales de acuerdo las propiedades mecánicas. Esta información se desarrolla a lo largo del Capítulo 6 del presente informe.
- B. En el caso de la **geomorfología**, Se identifican y caracterizan las geoformas, a partir de información relacionada con morfogénesis, morfología, morfometría y morfodinámica. Se realizó el registro de las condiciones actuales del lugar a través del levantamiento en campo y con fotografías que evidencian el estado de las mismas, así como el uso de sensores remotos que permitan complementar esta información, la cual irá como complemento de la geomorfología. Esta información se desarrolla a lo largo del Capítulo 7 del presente informe.
- C. Se determina la presencia de **procesos morfodinámicos** dentro del polígono. Esta información se desarrolla a lo largo del Capítulo 8 del presente informe.
- D. Se delimitan las zonas homogéneas de análisis estableciendo para cada una de ellas su UGI, así como la influencia que tiene en cada una de estas los factores detonantes, como lo es el **factor sismo**, se debe determinar el factor k (coeficiente de aceleración para un periodo de retorno de 100 años) el cual se toma a partir de un estudio realizado por el IDIGER para la localidad de Sumapaz. Esta información se desarrolla a lo largo del Capítulo 9 del presente informe.

- E. **Usos y coberturas de suelo** se desarrolla conforme a la metodología Corinne Land Cover, adaptada para Colombia por parte del IDEAM; allí se basa en la determinación del número de curva (CN) con el cual se busca encontrar valores de nivel freático y láminas de agua, si se tiene en cuenta la lluvia como un factor importante causante de los movimientos en masa; los factores a evaluar principalmente son de tipo antrópico donde se evidencien cambios en el uso del suelo, cortes de ladera y explanaciones. Esta información se desarrolla a lo largo del Capítulo 10 del presente informe.
- F. Se delimitan las zonas homogéneas de análisis estableciendo para cada una de ellas su UGI, así como la influencia que tiene en cada una de estas los factores detonantes, como lo es **lluvias** el factor detonante lluvia se analiza la lluvia para un periodo de retorno de 20 años. Esta información se desarrolla a lo largo del Capítulo 11 e ítem 12.6.3. del presente informe.
- G. Con la exploración básica del subsuelo, se realiza la caracterización de las unidades del modelo geológico-geotécnico para el polígono de estudio, se ejecutan los y sondeos proyectados inicialmente. Estas muestras deberán tener sus respectivos ensayos de laboratorio, según sea el caso. Esta información se desarrolla a lo largo del Capítulo 12 del presente informe. Con la clasificación aplicada en la zona de estudio, se define una malla con herramientas SIG donde se establezcan los valores de estratificación, profundidad y nivel de agua para las columnas de suelo y/o roca. Cada unidad geotécnica homogénea definida tendrá su respectivo modelo geológico-geotécnico a partir de la información geológica y geomorfológica, donde se definen:
- Pendiente del terreno
 - Espesor del suelo y su variación
 - Lito estratigrafía hasta el sustrato rocoso
 - Posición del nivel freático

Una vez realizado lo mencionado anteriormente, se procede a establecer el modelo geológico-geotécnico, donde se identifican las unidades geotécnicamente homogéneas y con esto, plantear para cada caso el modelo conceptual, mediante el cual se establecen las características geológicas y geomorfológicas, así como los parámetros geotécnicos para cálculo de estabilidad en la zona de estudio de manera determinística. Posteriormente se define si la unidad de análisis es una unidad de suelo o roca, en el caso de los suelos se aplicará la ecuación de talud infinito, mostrada en el ítem 12.7 del presente documento, la cual se puede aplicar empleando la función Raster Calculator del aplicativo ArcMap, para lo cual se deben rasterizar previamente la totalidad de variables que se encuentran dentro de la ecuación.

12.9.1 EVALUACIÓN Y ZONIFICACIÓN DE AMENAZA

Teniendo en cuenta la información desarrollada a lo largo del presente estudio, se procede a realizar la clasificación de amenaza, la cual se define a partir del factor de seguridad en el caso de los suelos, de esa forma se establecen tres niveles de amenaza ante deslizamiento, los cuales son alto, medio y bajo. Cabe mencionar que en caso de requerir la metodología a aplicar en las unidades de roca Para las unidades de roca se empleara la metodología correspondiente al SMR.

Para la clasificación del nivel de amenaza para el área de estudio, se considera el factor de seguridad y los criterios de clasificación de la siguiente tabla de la guía del SGC, se tiene la representación del nivel de amenaza en la zona de estudio, donde se incluye la respectiva leyenda y/o convención con las características físicas de cada unidad según la categoría establecida, los procesos predominantes y los daños que pudieran ocasionar.

NIVEL DE AMENAZA	FACTOR DE SEGURIDAD	VALOR DE SMR	COLOR EN EL MAPA
Alta	<1,1	<40	Rojo
Media	1,1-1,5	41-60	Amarillo
Baja	>1,5	>60	Verde

Figura 64. Clasificación de la amenaza de un talud ante deslizamiento
Fuente: (Servicio Geológico Colombiano (SGC)., 2016)

A continuación, es posible conocer a detalle las descripciones de la amenaza por remoción en masa de la zona de estudio.

12.9.1.1 Nivel de amenaza alto:

Este nivel de amenaza, se presenta cuando el rango del factor de seguridad (FS) es menor o igual a 1.1. Estas zonas se caracterizan por:

- Presentar en los deslizamientos rotacionales grandes superficies de falla.
- Presentar en los suelos residuales o materiales de deslizamientos, un nivel freático en promedio a 15 m de profundidad.

La amenaza alta también está dada para las zonas más empinadas del nodo, las cuales presentan inclinación mayor a los 25 grados. Las zonas de deslizamientos activos se distinguen por la falla de los taludes en un evento de sismo y lluvia fuerte.

12.9.1.2 Nivel de amenaza medio:

Este nivel de amenaza, se presenta cuando el rango del factor de seguridad (FS) está entre 1.1 y 1.5. Estas zonas se caracterizan por:

- Son suelos finos granulares sueltos, como lo son areniscas y arcillas, en gran medida no son residuales, depósitos fluvioglaciares o deslizamientos antiguos.
- Presentar nivel freático cercano a los 10 m de profundidad.

La amenaza media presenta unas pendientes entre 12 y 25 grados, estas zonas deben ser manejadas con precaución, ya que a largo plazo se pueden convertir en amenaza alta.

12.9.1.3 Nivel de amenaza bajo:

Este nivel de amenaza, se presenta cuando el rango del factor de seguridad (FS) es mayor a 1.5. Estas zonas se caracterizan por:

- Presentarse en la parte alta del deslizamiento, con presencia de arcillolitas y areniscas con alta cohesión.

La amenaza baja presenta unas pendientes menores a los 12 grados, estas zonas no presentan problemas en un evento de sismo o lluvias fuertes.

La evaluación y zonificación de amenaza, se realizará en dos condiciones, en la cual es posible destacar la condición actual y condición futura, con lo cual se destaca:

12.9.2 CONDICIÓN ACTUAL:

Para la evaluación de las condiciones actuales se tiene en cuenta la metodología de talud infinito, la cual se describe a lo largo del ítem 12.7, en la cual se emplea la siguiente ecuación:

$$F = \frac{c + (z * \cos\beta^2 * \gamma - \mu) * \text{Tan}\phi}{\frac{\gamma z}{2} * \text{sen}2\beta}$$

- ✓ Altura de la masa deslizante $\rightarrow z$
- ✓ Angulo de inclinación de la horizontal $\rightarrow \beta$
- ✓ Peso específico del suelo $\rightarrow \gamma$
- ✓ Presión de poros $\rightarrow \mu$
- ✓ Cohesión $\rightarrow c$

- ✓ Angulo de rozamiento del terreno $\rightarrow \phi$
- ✓ Presión de poros $\rightarrow \mu$

12.9.3 CONDICIÓN FUTURA:

Para la evaluación de las condiciones futuras se tiene en cuenta la metodología de talud infinito, descrita en la guía metodología del servicio geológico colombiano la cual permite hacer uso de los factores detonantes como lo son:

- Las lluvias mediante la altura de la lámina de agua, determinada a partir del nivel freático correspondiente una lluvia de 20 años de periodo de retorno.
- Los sismos mediante el coeficiente de aceleración horizontal para un periodo de retorno de 100 años.

Haciendo uso de estos factores en la siguiente ecuación:

$$FS = \frac{(c' b \sec \alpha + (ybh \cos \alpha - k y b h \sin \alpha - \gamma_w h_w \cos^2 \alpha) \tan \Phi')}{ybh \sin \alpha + k y b h \cos \alpha}$$

Donde:

c' y Φ' \rightarrow Son los parámetros de resistencia del suelo en la base de la columna de suelo, en término de esfuerzos efectivos.

γ \rightarrow Es el peso unitario del suelo.

b \rightarrow Es el ancho de la tajada (ancho de la celda).

h \rightarrow Es la altura de suelo por encima de la superficie potencial de deslizamiento.

γ_w \rightarrow Es el peso unitario del agua.

h_w \rightarrow Es la altura de la lámina de agua, determinada a partir del nivel freático correspondiente a una lluvia de 20 años de periodo de retorno.

α \rightarrow Es el ángulo de inclinación de la superficie de falla.

k \rightarrow Es el coeficiente de aceleración horizontal para un periodo de retorno de 100 años.

Los parámetros c' y $\tan(\phi')$ se toman mediante el análisis estadístico realizado, para la unidad geotécnica definida. La profundidad de la superficie de falla se toma como la profundidad del suelo o la profundidad hasta el contacto entre dos unidades de diferente comportamiento mecánico.

12.10 ANÁLISIS DE ZONIFICACIÓN DE AMENAZA:

Inicialmente como unidades geológicas para ingeniería en el nodo de estudio, se encontró material clasificado como suelo residual arcilloso y roca blanda que de acuerdo a sus características litológicas y geotécnicas se clasifica en roca blanda (Rb), ya que por medio de la exploración geotécnica no se llegó hasta el punto que permitiera caracterizar a que roca se asocia. Para el suelo residual se define un espesor entre 10 y 15 metros.

En el caso de la geomorfología, Se identifican y caracterizan elementos geomorfológicos de origen glaciar, donde se determina a partir de un análisis de pendientes que sobre la zona se presentan Laderas Onduladas Glaciares Inclinadas, moderadamente abruptas y abruptas.

Dentro del nodo de estudio no se evidencio ningún proceso morfodinámico, fuera del polígono en la colina encontrada aproximadamente a 40 m de la vía se presenta un proceso de remoción en masa, zona por donde pasa una tubería de agua, según información brindada por la comunidad.

Mediante la información del estudio de la Universidad Nacional “Elaboración Del Mapa De Remoción En Masa Del Suelo Rural De Bogotá D.C., Para Su Incorporación Al Plan De Ordenamiento Territorial POT, A Escala 1:25000” del año 2013, suministrado por el IDIGER, El coeficiente de aceleración es de $A_0 = 0.24$ para una tasa de retorno (TR) de 475 años.

Mediante la metodología Corinne Land Cover, las coberturas del nodo de estudio se clasifican en tejido urbano discontinuo, red vial, áreas culturales, pastos, arbustales y vegetación secundaria, y en el uso actual se encontró usos de conservación, infraestructura y pecuario.

El factor detonante lluvia se analiza para un periodo de retorno de 20 años, donde se analiza la información pluviométrica de la estación PM San Juan, y allí se determina el valor de Pf_{20} y hw para la UGI cartografiada.

Al realizar el análisis estadístico detallado de los parámetros geotécnicos, se identifican los valores de la UGI cartografiable y el especialista a partir de las características presentadas por la roca determina los valores para dicha unidad. Teniendo en cuenta los parámetros geotécnicos se aplica la ecuación de talud infinito la cual se puede aplicar empleando la función Raster Calculator del aplicativo ArcMap, donde se obtiene como resultado, el

análisis de zonificación de amenaza actual y futura, anexado en la carpeta PLANOS VEGAS denominados Amenaza-Actual y Amenaza-Futura.

Para el nodo Vegas, se obtiene que, en el límite del polígono donde se encuentra la colina en la zona oriental la amenaza es alta, debido a factores externos.

12.10.1 AMENAZA ACTUAL:

12.10.1.1 Nivel de amenaza alto:

Corresponde al 17.02%. del área total de estudio, principalmente hacia la zona oriental y sur y un bajo porcentaje de área en la zona nororiental, corresponde a zonas con susceptibilidad alta a baja en los movimientos en masa debido a las características geológicas, geomorfológicas, de composición de suelo y de las coberturas encontradas dentro del nodo. Para este sector las lluvias diarias presentan un promedio de 27.28 mm desde el año 1981 al 2023 y la precipitación media anual presenta un valor promedio de 918.54 mm, el coeficiente de aceleración máximo horizontal es de 0.24 siendo este uno de los detonantes principales para este nivel de amenaza. Teniendo en cuenta las geoformas presentadas en esta categoría la posibilidad de que ocurra un movimiento en masa es alta, fuera del polígono se observa un movimiento en masa sobre la zona donde pasa una tubería. En general las consecuencias que puede traer este nivel de amenaza son severas, ya que pueden generar pérdidas humanas, de viviendas y cultivos, en el límite del polígono donde se encuentra la colina en la zona oriental la amenaza es alta, debido a factores externos.

12.10.1.2 Nivel de amenaza medio:

Corresponde al 64.47%. del área total de estudio, principalmente hacia la zona central, corresponde a zonas con susceptibilidad media a baja en los movimientos en masa debido a las características geológicas, geomorfológicas, de composición de suelo y de las coberturas encontradas dentro del nodo. Las geoformas presentadas en esta zona son principalmente inclinadas y moderadamente abruptas, para este nivel existe una posibilidad en que se generen movimientos en masa como deslizamientos, reptaciones y flujos. En general las consecuencias que puede traer este nivel de amenaza son destrucción parcial de viviendas, obras civiles, entre otros. Es necesario que la comunidad haga uso y manejo adecuado del suelo, además, se recomienda generar políticas ambientales donde se hallan extinto las coberturas.

12.10.1.3 **Nivel de amenaza bajo:**

Este nivel de amenaza, se presenta en zonas muy puntuales del nodo, específicamente en un área de 18.51%, considerando que de acuerdo al análisis realizado y a los parámetros empleados son zonas que presentan pendientes bajas, y no presentan problemas en un evento de sismo o lluvias fuertes.

12.10.2 AMENAZA FUTURA:

12.10.2.1 **Nivel de amenaza alto:**

Corresponde al 81.48%. del área total de estudio, corresponde a zonas con susceptibilidad alta a baja en los movimientos en masa debido a las características geológicas, geomorfológicas, de composición de suelo, factores detonantes como lluvias, sismos y de las coberturas encontradas dentro del nodo. Para este sector las lluvias diarias presentan un promedio de 27.28 mm desde el año 1981 al 2023 y la precipitación media anual presenta un valor promedio de 918.54 mm, el coeficiente de aceleración máximo horizontal es de 0.24 siendo este uno de los detonantes principales para este nivel de amenaza. Teniendo en cuenta las geoformas presentadas en esta categoría la posibilidad de que ocurra un movimiento en masa es alta, fuera del polígono se observa un movimiento en masa sobre la zona donde pasa una tubería. En general las consecuencias que puede traer este nivel de amenaza son severas, ya que pueden generar pérdidas humanas, de viviendas y cultivos, en el límite del polígono donde se encuentra la colina en la zona oriental la amenaza es alta, debido a factores externos.

12.10.2.2 **Nivel de amenaza medio:**

Corresponde al 18.52%. del área total de estudio, principalmente en zonas muy puntuales del nodo, corresponde a zonas con susceptibilidad media a baja en los movimientos en masa debido a las características geológicas, geomorfológicas, de composición de suelo y de las coberturas encontradas dentro del nodo. Para este nivel existe una posibilidad en que se generen movimientos en masa como deslizamientos, reptaciones y flujos. Es necesario que la comunidad haga uso y manejo adecuado del suelo, además, se recomienda generar políticas ambientales donde se hallan extinto las coberturas.

12.11 DISTANCIA DE VIAJE:

Para el análisis de zonificación de amenaza por movimiento en masa, se cumple con la metodología descrita en el capítulo 4, la cual se toma como base de la guía metodológica del

servicio geológico colombiano del año 2016, a partir de la cual se establece que los estudios realizados para escalas 1:5000 son desarrollados por medios de análisis determinísticos, metodología se emplea para estudios base, tal cual lo precisa la escala de estudio requerida en el contrato.

En la topografía suministrada por el IDIGER no es posible evidenciar si se presentaron cambios en la zona de estudio, considerando que no se sabe con exactitud en qué fecha se realizó el modelo de superficie.

Para la presente consultoría el análisis de la distancia de viaje con el fin de fines específicos de ordenamiento territorial, requiere un rigor técnico que un estudio de amenaza escala 1:5.000 no permite abordar, ya que metodológicamente en estudios detallados se hace para movimientos activos que se encuentren dentro del área de estudio, mediante métodos de elementos finitos, por lo cual se requiere estimar parámetros como la caída vertical y el ángulo del talud, situación que sugiere una alta suposición de parámetros bajo los insumos temáticos establecidos en el estudio escala 1:5.000. Adicionalmente, la cantidad de sondeos es escaso, por lo cual no se permitió caracterizar los datos requeridos para dicho análisis, de esta forma se estima un valor de distancia aproximado en aquellas zonas que presenten movimientos activos.

Sin embargo, para escalas básicas es posible generar una predicción aproximada de este parámetro bajo métodos analíticos como el de “la línea de energía” presentado por Heim (1932, citado por Mavrouli et al., 2014), el cual se basa en la predicción de la máxima distancia de viaje recorrida por un bloque a lo largo de un perfil. A partir de la interacción de la topografía con una línea cuyo punto de partida, puede ser la zona de inicio o el punto más alto de la ladera. ([https://www2.sgc.gov.co/archivos/GM\(2017\).pdf](https://www2.sgc.gov.co/archivos/GM(2017).pdf)), análisis que se tuvo en cuenta en la definición de la zonificación de amenaza.

Dentro del nodo de estudio no se presentan movimientos activos, por lo cual para este nodo no se estima un valor aproximado de distancia de viaje.

13 CONCLUSIONES Y RECOMENDACIONES

- A. De acuerdo a la información geológica elaborada por INGEOMINAS para la cartografía de la plancha 265 Icononzo (1999) a escala 1:100.000, la cartografía realizada para la elaboración del mapa de remoción en masa del suelo rural de Bogotá, FOPAE-UNAL (2013), a escala 1:25.000 y los levantamientos realizados a lo largo de las visitas de campo, se detallaron las características encontradas dentro del nodo, determinando la presencia de Lodolitas de Fusagasugá (Pglf) y roca blanda 3.
- B. En el polígono evaluado las rocas sedimentarias de la Formación Lodolitas de Fusagasugá presentan un rumbo N 10°E y buzan aproximadamente 10°hacia el NW. En superficie predomina un suelo residual, no se observan afloramientos de las rocas sedimentarias, dentro del polígono no se evidencian unidades geológicas de superficie.
- C. En la geología local del nodo Vegas, fue posible encontrar material clasificado como suelo residual y roca que de acuerdo a sus características litológicas y geotécnicas se clasifica en roca blanda (Rb), ya que por medio de la exploración geotécnica no se llegó hasta el punto que se pudiera caracterizar a que roca se asocia.
- D. El proceso morfodinámico se encuentra fuera del área de estudio, pero es importante tener en cuenta que, al presentarse un movimiento masivo de material este afectaría la zona oriental, teniendo en cuenta que el movimiento esta aproximadamente a 40 m de la vía, por lo cual las masas de material se depositarían dentro polígono estudiado. Dichas características se tienen en cuenta para el análisis de amenaza, considerando las afectaciones que se pueden presentar sobre el límite oriental de la zona de estudio.
- E. En la geomorfología de la zona, se reconocen geformas de ambiente glaciar que conforman laderas de relieve suave a ondulado, la cual se denomina técnicamente como Ladera Ondulada Glaciar (Glo), donde a partir de las pendientes se realiza un cruce de información con este componente, y en el plano obtenido, se observan las geformas más representativas dentro del nodo.
- F. El coeficiente de aceleración para este nodo de estudio, es de $A_0 = 0.24$ para una tasa de retorno (TR) de 475 años, esta información se toma a partir del estudio de la Universidad Nacional “Elaboración Del Mapa De Remoción En Masa Del Suelo Rural De Bogotá D.C., Para Su Incorporación Al Plan De Ordenamiento Territorial POT, A Escala 1:25000” del año 2013, el cual fue suministrado por el IDIGER.

- G. Las coberturas de tierra para este nodo de estudio, se desarrolla conforme a la metodología Corinne Land Cover, adaptada para Colombia; se clasifican en tejido urbano discontinuo, red vial, áreas culturales, pastos, arbustales y vegetación secundaria, donde se presenta una dominancia de la cobertura de Arbustal abierto, el cual ocupa el 44,4% y los pastos limpios que ocupan 34,8% del área total, también se ubica dentro del polígono la infraestructura de una institución educativa “Colegio Erasmo Valencia” y unas viviendas dispersas, las cuales ocupan un 7.96%.
- H. El uso actual del suelo se refiere a la utilización que el hombre les hace a las coberturas, por lo cual para el presente nodo de estudio se encuentran usos de conservación, infraestructura y pecuario.
- I. Se analiza la información pluviométrica del nodo de estudio, tomando como base la información de la estación PM San Juan, ya que esta estación se encuentra ubicada cerca del nodo de estudio; se genera la curva IDF (Intensidad – Duración – Frecuencia) con un periodo de retorno de 2, 10, 20, 25, 50 y 100 años. Los datos obtenidos para periodo de retorno de 20 años se usan para determinar las lluvias en la zona durante 24 horas, considerando que se requiere para hallar el valor de Pf20.
- J. Se realiza el levantamiento de las obras hidráulicas encontradas dentro del polígono, las cuales se evalúan verificando el estado y las condiciones que presentan, adicionalmente, se analizan los hilos de realizados por la comunidad de manera manual.
- K. Se ejecutan los sondeos y los apiques programados para el sector, evidenciando que a lo largo de las perforaciones no se encontró la roca, a partir de este análisis, se justifican las unidades geológicas regionales presentadas.
- L. En la ejecución de los sondeos se llevó a cabo el ensayo de penetración estándar SPT, del cual se obtienen los valores de N (golpes) que permiten correlacionar con la consistencia los materiales arcillosos y la densidad de los materiales granulares, obteniendo así la variación en profundidad de N en cada sondeo, de acuerdo a este valor obtenido en campo, se realiza la respectiva corrección de N60 y N70.
- M. Se genera la estimación de parámetros de resistencia a partir del ensayo SPT, con la metodología propuesta por González, A. J. (1999) para la cohesión y la metodología de (Montenegro Padilla, 2014) para ϕ , donde se grafican puntos (σ_v , τ) en planos Mohr – Coulomb, donde los coeficientes de la regresión lineal corresponden a los

parámetros geomecánicos efectivos buscados, y finalmente estimar de manera aproximada los valores de c' y ϕ .

- N. Se realizan ensayos de, análisis granulométrico, determinación de la densidad (Peso unitario), determinación de la gravedad específica, determinación límite líquido, límite plástico e índice de plasticidad, determinación de contenido de agua, compresión inconfiada, hidrometrías, corte directo en condición CD, consolidación rápida y determinación del contenido orgánico, los cuales se analizaron de manera detallada.
- O. Se realiza un análisis estadístico detallado de los parámetros geotécnicos, donde se toman cada una de las muestras extraídas y se analizan de acuerdo a las características y los resultados de ϕ y c' .
- P. Se realiza el modelo geológico geotécnico con base en el análisis geológico y se logra determinar la presencia de suelo residual arcilloso y roca blanda, las cuales son UGI cartografiables, con base en los resultados de laboratorio y el análisis estadístico se les asignan parámetros geotécnicos, características geomecánicas de resistencia y densidad.
- Q. Se determina el número de curva (CN) y los valores de nivel freático y láminas de agua, considerando la lluvia como un factor importante causante de los movimientos en masa, teniendo en cuenta la metodología de servicio geológico colombiano (2016).
- R. Teniendo en cuenta la escala de estudio 1:5.000, se realizó la evaluación de los diferentes parámetros requeridos para el análisis de estabilidad mediante la metodología del talud infinito, los cuales fueron evaluados por cada especialista.
- S. Se realizó el análisis de estabilidad por la metodología descrita por el servicio geológico colombiano 2016, donde se evidencia mediante cada uno de los parámetros el nivel de amenaza para cada una de las zonas del polígono. Para el polígono de estudio se obtiene que, en el límite del polígono donde se encuentra la colina en la zona oriental y el límite con el cuerpo de agua del costado sur presentan amenaza alta, debido a factores externos.
- T. En la zonificación actual del nodo, se evidencia que el 17.02% del área total de estudio corresponde a un nivel de amenaza alto, donde estas áreas corresponden a una susceptibilidad alta a baja en los movimientos en masa debido a características geológicas, geomorfológicas, de composición de suelo y de las coberturas

encontradas, el 64.47% del área de estudio presenta un nivel de amenaza medio, mientras que el 18.51% del área representa nivel de amenaza bajo.

- U. En la zonificación futura se caracterizan dos niveles de amenaza, en lo cual el 81.48% del área total del polígono se encuentra en amenaza alta, debido a las características geológicas, geomorfológicas, de composición de suelo, factores detonantes como lluvias, sismos y de las coberturas encontradas dentro del nodo. El 18.52% del área total del polígono se encuentra en amenaza media.
- V. Como recomendación se deberá cumplir con la normatividad vigente (NSR-10) para el caso de construcción de edificaciones de equipamientos; se deberá prestar especial atención a los taludes generados y verificar si requieren análisis de Amenaza detallados.
- W. Se recomienda que los cambios de las coberturas y los usos del suelo generados por acciones antrópicas, deben realizarse de manera controlada, considerando que, al realizar talas no controladas, deforestación u otros cambios en los suelos, se generan cambios en las propiedades analizadas para la amenaza del estudio.
- X. De acuerdo al análisis realizado a lo largo del estudio, dentro del nodo de estudio no se presentan movimientos activos, por lo cual no se estima un valor aproximado de distancia de viaje.

14 BIBLIOGRAFÍA

- Alcaldía Local de Sumapaz, A. d. (29 de 12 de 2022). *Identificación y Priorización Escenario de Riesgo*. Obtenido de <https://www.idiger.gov.co/documents/220605/329657/Identificaci%C3%B3n+y+Priorizaci%C3%B3n.pdf/c0c0d444-dcce-4c14-9f06-a40e0f9f7777>
- Chow V.T., M. D. (1994). *Hidrología aplicada*. Bogotá.
- Colombiano, S. G. (s.f.). http://srvags.sgc.gov.co/Flexviewer/Estado_Cartografia_Geologica/.
- Duncan J.M., W. S. (2005). *Soil Strength and Slope Stability*". John Wiley and Sons.Inc. Hoboken. New Jersey 297p.
- EMP. (s.f.). *Respuesta a solicitud de activos o contenido de estos en la zona*.
- EPM. (s.f.). *Respuesta a solicitud de activos o contenido de estos en la zona*.
- IDIGER, I. D. (27 de 01 de 2017). *PROYECTO ACTUALIZACIÓN COMPONENTE DE GESTIÓN DEL RIESGO PARA LA REVISIÓN ORDINARIA Y ACTUALIZACIÓN DEL PLAN DE ORDENAMIENTO TERRITORIAL*. Obtenido de https://www.sdp.gov.co/sites/default/files/POT/4-DOCUMENTO_TECNICO_DE_SOPORTE_14-06-19/DT04_Anexo04_Amenaza_porMov_enMasa_enPerspectiva_CCZonaRural.pdf
- IDU. (01 de 2023). *Respuesta a informacion sobre la malla vial, inventario de la infraestructura vial y reservas de Civs* .
- Montenegro Padilla, L. F. (2014). Calibracion del metodo de parametro de resistencia con SPT en suelos de la region llanera colombiana.
- Nacional, U. (2013). *Elaboración Del Mapa De Remoción En Masa Del Suelo Rural De Bogotá D.C., Para Su Incorporación Al Plan De Ordenamiento Territorial POT, A Escala 1:25000*.
- SERVICIO GEOLOGICO, C. (2016). *GUIA METODOLOGICA PARA ESTUDIOS DE AMENAZA, VULNERABILIDAD Y RIESGO POR MOVIMIENTO EN MASA*. Obtenido de <https://www2.sgc.gov.co/Publicaciones/Cientificas/NoSeriadas/Documents/Guia-Metodologica-27-07-2016.pdf>
- SERVICIO GEOLÓGICO, C. (s.f.). *ZONIFICACIÓN GEOMECÁNICA Y AMENAZA POR MOVIMIENTOS EN MASA EN EL MUNICIPIO DE SOACHA – CUNDINAMARCA. ESCALA 1:25.000*.

Sumapaz, C. L.-C. (10 de 2019). *Plan Local de Gestión del Riesgo y Cambio climático CLGR-CC*.
Obtenido de
[https://www.idiger.gov.co/documents/220605/494708/PLAN+LOCAL+DE+GESTI
%C3%93N+DEL+RIESGO+COMPILADO-SUMAPAZ.pdf/328381c6-8c49-4415-
acc0-87335808df07](https://www.idiger.gov.co/documents/220605/494708/PLAN+LOCAL+DE+GESTI%C3%93N+DEL+RIESGO+COMPILADO-SUMAPAZ.pdf/328381c6-8c49-4415-acc0-87335808df07)

- HANSEN, A. 1984. Landslide hazard analysis. In: Brunsden, D., Prior, D.B (ed.) Slope Instability. 523-602. Wiley & Sons, New York.
- VAN WESTEN, C. 2003. GISSIZ: training package for Geographic Information Systems in Slope Instability Zonation. Handout Conferences, ITC, Enschede.
- Castro, E., Valencia, A., Ojeda, J., Muñoz, F., & Fonseca, S. (2001). Evaluación de riesgos por fenómenos de remoción en masa: Guía metodológica. Santa Fé de Bogotá, Colombia: INGEOMINAS/Corporación Autónoma Regional del Valle del Cauca/Escuela Colombiana de Ingeniería.
- Colombiano, S. G. (2013). Documento metodológico de la zonificación de susceptibilidad y amenaza por movimientos en masa escala 1: 100.000. Bogotá DC, Colombia.
- Linares, P. S. (2017). Desarrollo y análisis de zonificación de amenaza por fenómenos de remoción en masa: uso y evaluación del método heurístico del proceso de análisis jerárquico y comparación de criterios adecuados. Bogotá DC.
- Cuervo, V. (1999). Guía técnica para la zonificación de la susceptibilidad y la amenaza por movimientos en masa.
- INGEOMINAS. (2004). Mapa Geológico para Ingeniería Sabana de Bogotá. Bogotá D.C.: INGEOMINAS.
- INGEOMINAS. (2004). Propuesta Metodológica para el Desarrollo de la Cartografía Geológica para Ingeniería. Bogotá D.C.: INGEOMINAS.
- IDEAM, 2021. Cobertura de la Tierra 100K Periodo 2018.
- IDEAM, IGAC y CORMAGDALENA. 2008. Mapa de Cobertura de la Tierra Cuenca Magdalena-Cauca: Metodología CORINE Land Cover adaptada para Colombia a escala 1:100.000. Instituto de Hidrología, Meteorología y Estudios Ambientales, Instituto Geográfico Agustín Codazzi y Corporación Autónoma Regional del río Grande de La Magdalena. Bogotá, D.C., 200p.

- IDEAM, 2010. Leyenda Nacional de Coberturas de la Tierra. Metodología CORINE Land Cover adaptada para Colombia Escala 1:100.000. Instituto de Hidrología, Meteorología y Estudios Ambientales. Bogotá, D. C., 72p.
- Nacional, U. (2013). Elaboración Del Mapa De Remoción En Masa Del Suelo Rural De Bogotá D.C., Para Su Incorporación Al Plan De Ordenamiento Territorial POT, A Escala 1:25000.
- BÜRGL, H.1957. Bioestratigrafía de la Sabana de Bogotá y alrededores. Boletín Geológico, Servicio Geológico Nacional: V.3. No.2, Bogotá.
- CARVAJAL, J. H. 2012. Propuesta de Estandarización de la Cartografía Geomorfológica en Colombia, SGC, Bogotá, 2012.
- CARVAJAL, J. H 2005. Zonificación Geomorfológica de la Sabana de Bogotá “Características Geomorfológicas de la Sabana de Bogotá” Volumen I, INGEOMINAS, Bogotá D.C.
- FOPAE-UNAL. 2013, Elaboración del mapa de remoción en masa del suelo rural de Bogotá D.C a escala 1:25.000.
- INGEOMINAS, 1999. Geología de la Plancha 265-Icononzo; Esc. 1:100.000.
- INGEOMINAS, 1999. Memoria explicativa de la Plancha 265 Icononzo.
- INGEOMINAS, 2005. Cartografía Geológica Aplicada a la Zonificación Geomecánica de la Sabana de Bogotá, Volumen II, INGEOMINAS, Bogotá D.C.
- INGEOMINAS, 2016. Guía metodológica para estudios de amenaza, vulnerabilidad y riesgo por movimientos en masa.
- INGEOMINAS, 2017. Guía metodológica para la zonificación de amenaza por movimientos en masa a escala 1:25.000.
- MONTOYA D. y REYES G., 2005. Geología de La Sabana de Bogotá Esc. 1:100.000.
- MONTOYA D. y REYES G., 2005. Memoria explicativa del mapa Geología de la Sabana de Bogotá.
- OPPENHEIM, V., 1940. Glaciaciones Cuaternarias de la Cordillera Oriental de Colombia.
- Informe 276. INGEOMINAS. Bogotá.
- RENZONI, G, 1965. Geología del Cuadrángulo L-11 Villavicencio, escala 1:200.000 Servicio Geológico Nacional e Inventario Minero Nacional, Bogotá.
- STUTZER, O., 1934. Sobre la Geología de la Parte Media del Valle del Magdalena. Compendio de Estudios Geológicos Oficiales de Colombia: t.2, p.183-209. Bogotá.
- Duncan J.M., W. S. (2005). *Soil Strength and Slope Stability*”. John Wiley and Sons, Inc. Hoboken. New Jersey 297p
- Montenegro Padilla, L. F. (2014). Calibración del método de parámetro de resistencia con SPT en suelos de la región llanera colombiana.

15 ANEXOS

- 1 - ESTUDIOS DE GEOLOGIA Y GEOMORFOLOGIA
- 3 – SISMOLOGIA
- 4 ANEXO COBERTURAS Y USOS DEL SUELO (GENERAL)
- 5 - HIDROLOGIA Y DRENAJE SUP
- 6 - GEOTECNIA
- ANEXO REGISTROS FOTOGRAFICOS
- GIS
- PLANOS VEGAS
- RASTER
- INFORME EJECUTIVO
- INFORME FINAL
- PRESENTACIÓN NODO VEGAS